

Fig. 1 A

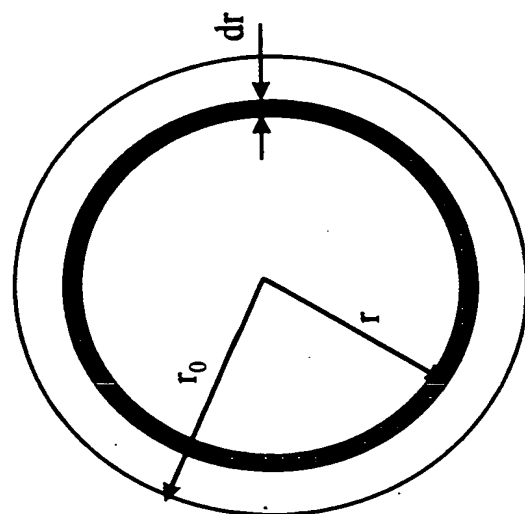


Fig. 1 B

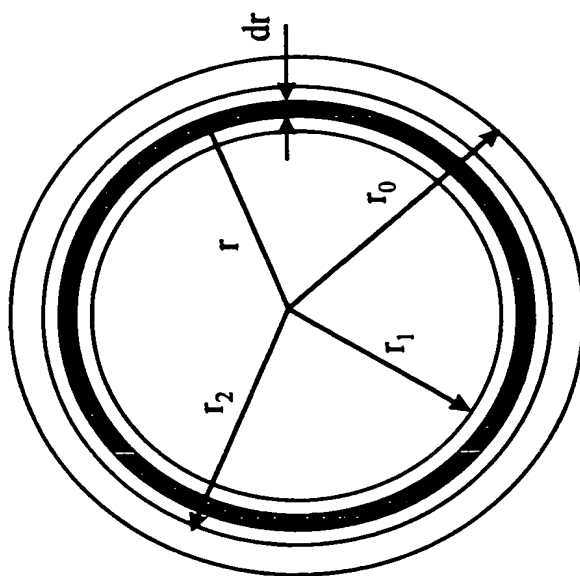
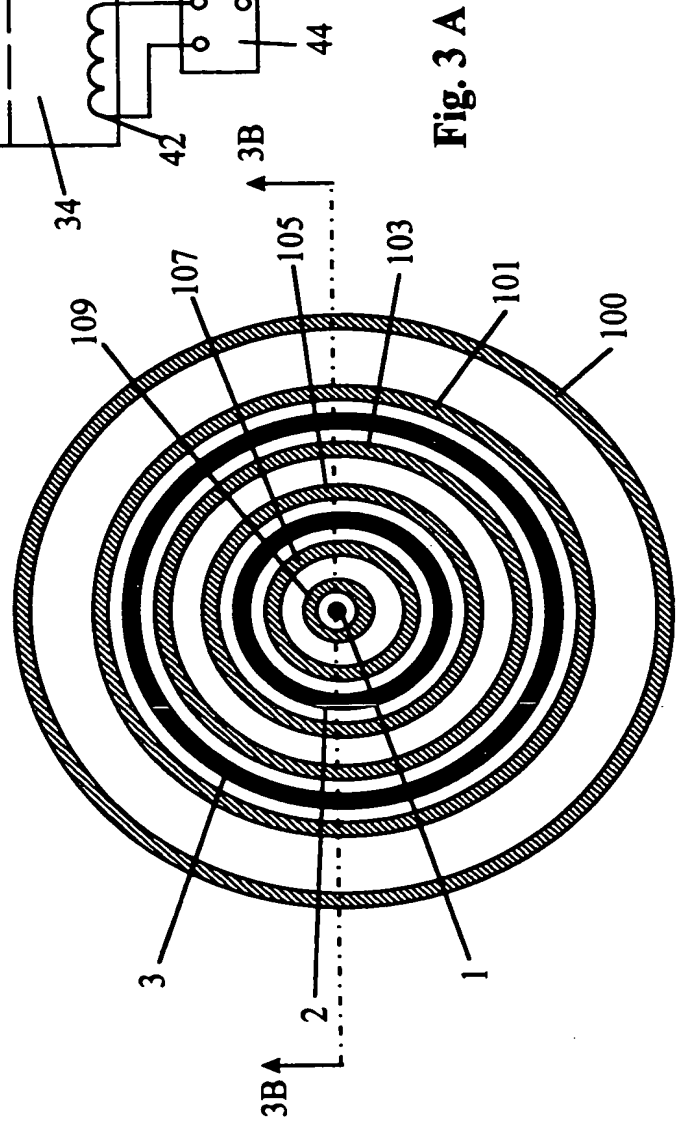
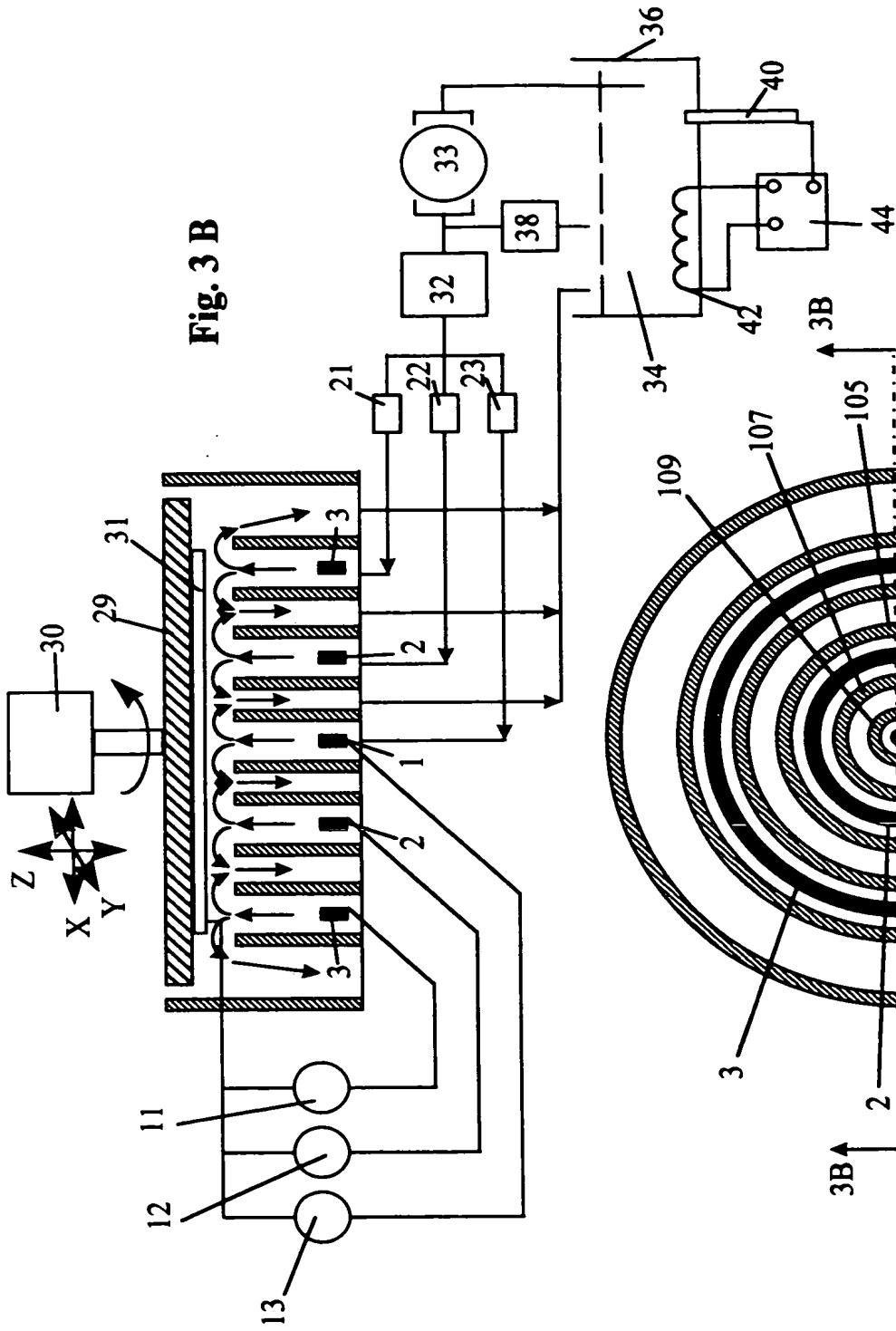


Fig. 2



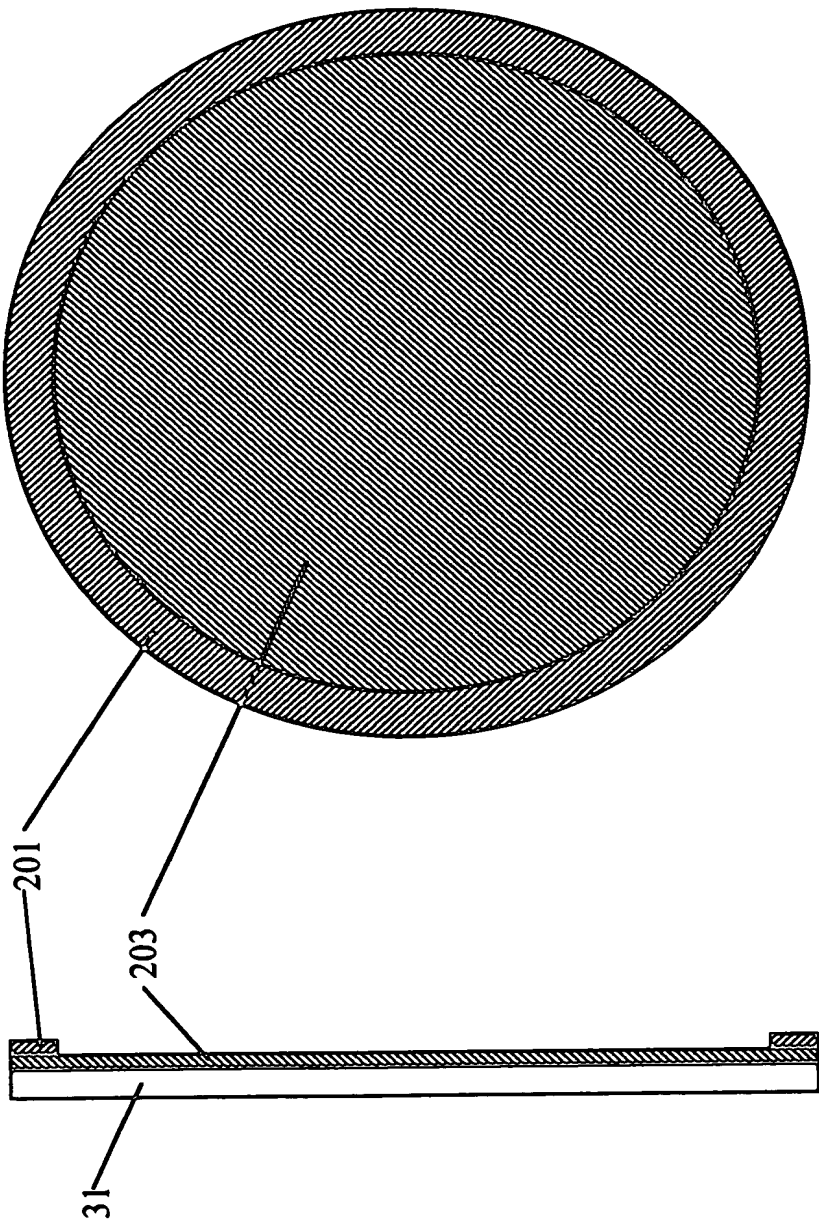


Fig. 4 B

Fig. 4 A

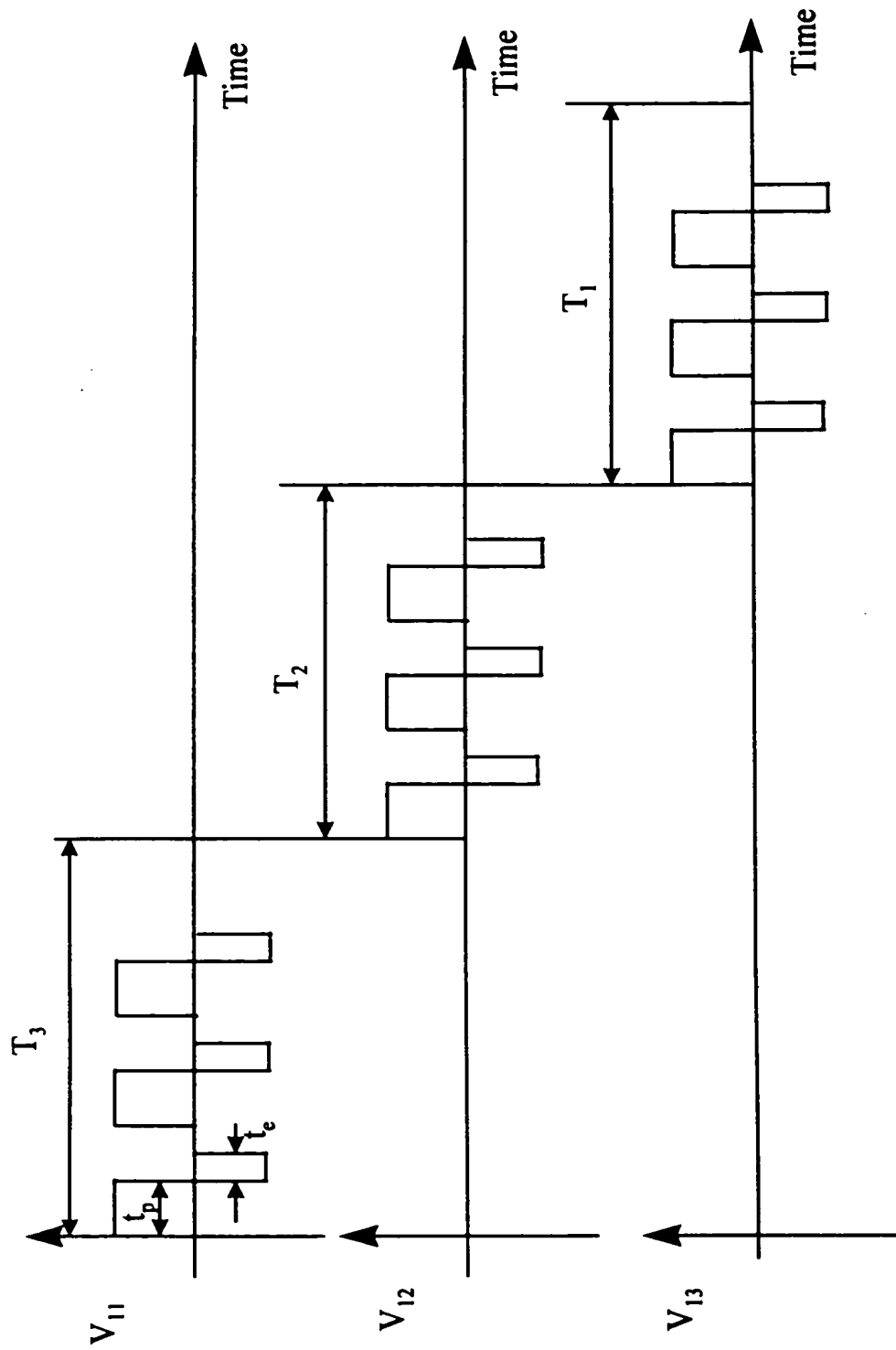


Fig. 5

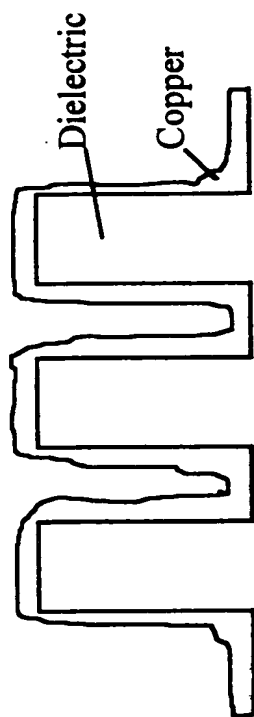


Fig. 6 A Large Ratio of t_e/t_p

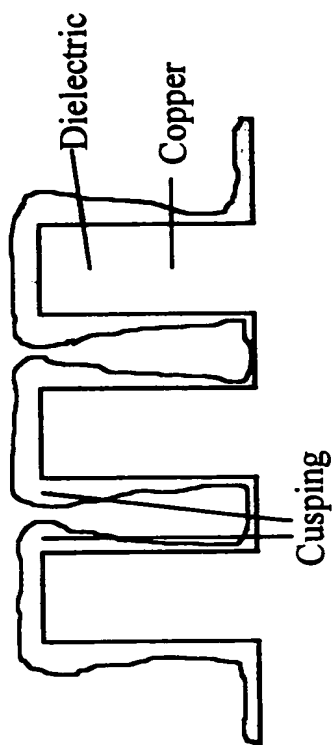


Fig. 6 B Small Ratio of t_e/t_p

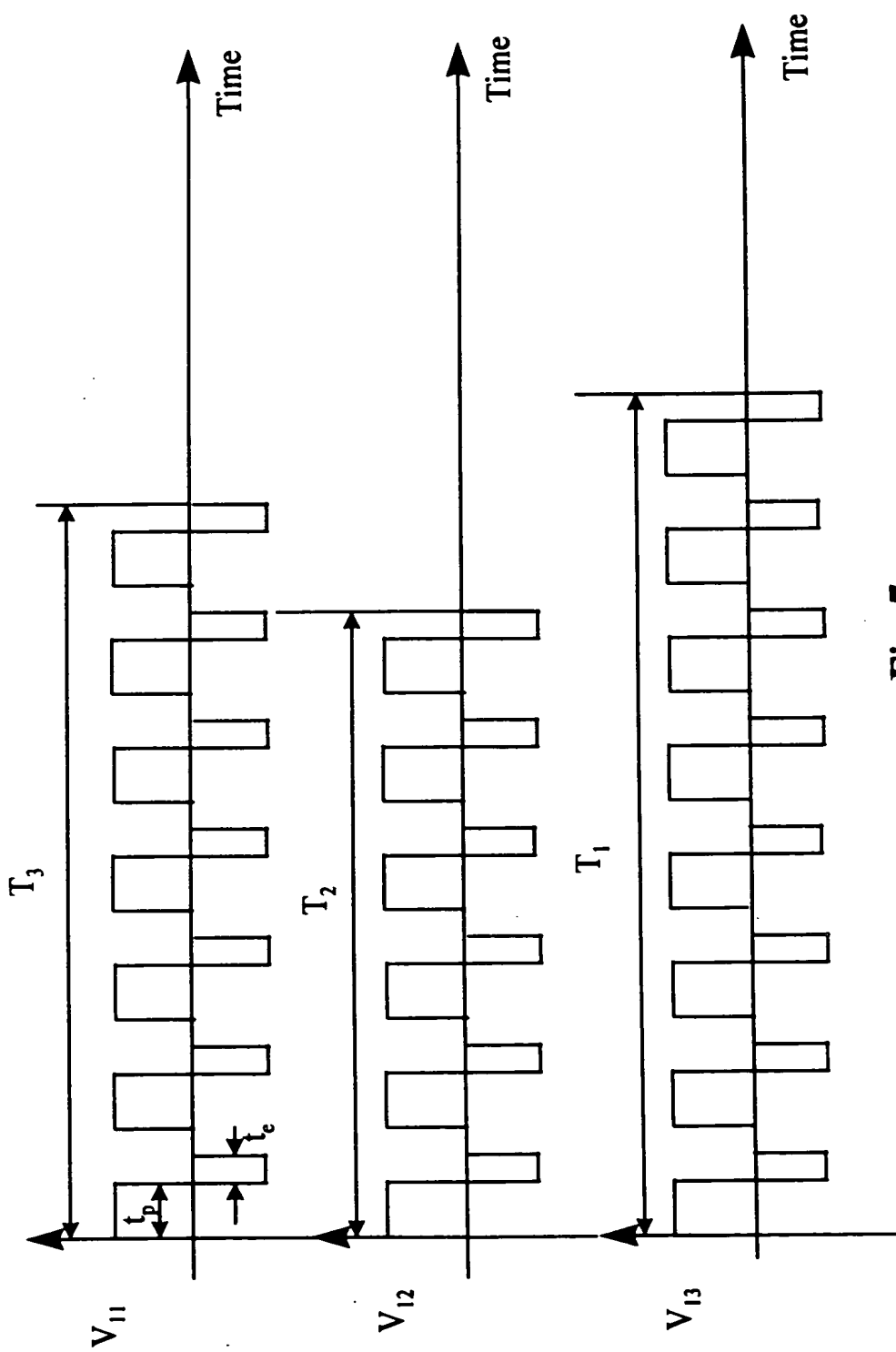
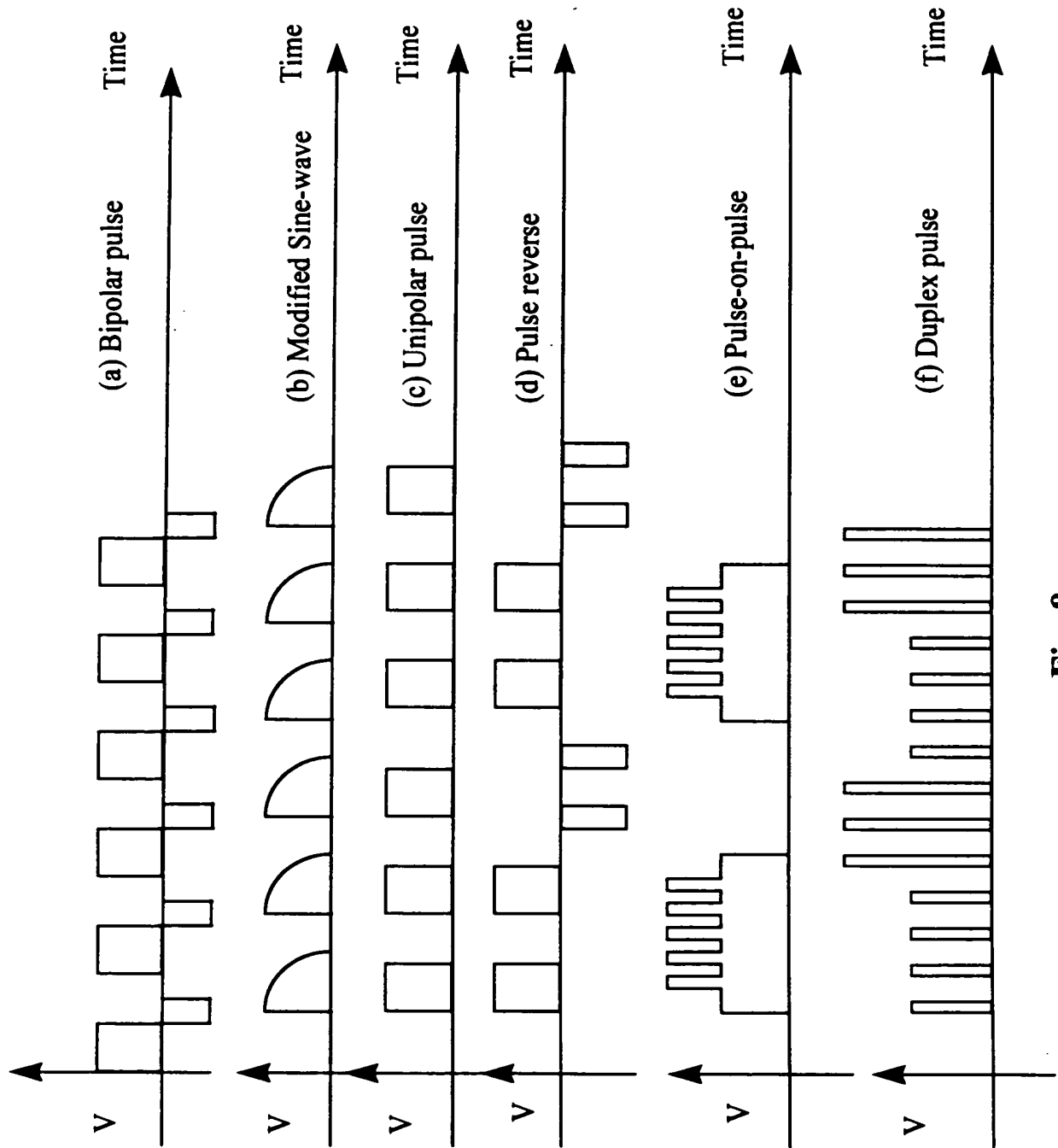


Fig. 7

TABLE 2042667

**Fig. 8**

T03110-2002E01

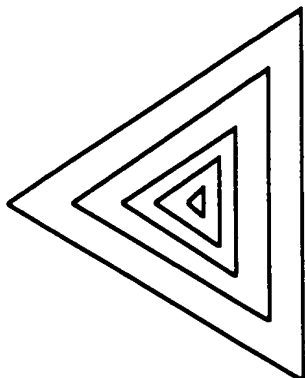


Fig. 9 A

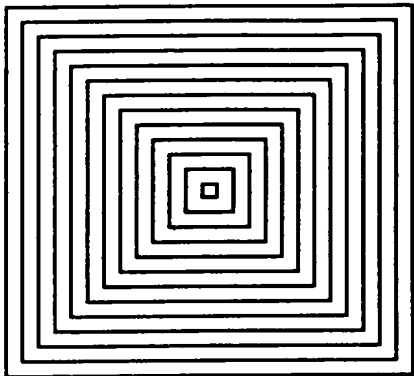


Fig. 9 B

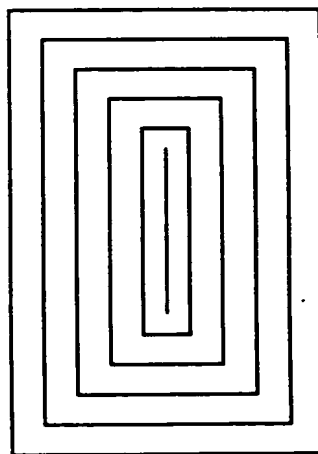


Fig. 9 C

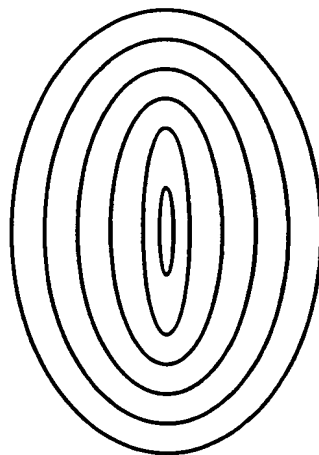


Fig. 9 D

10/65

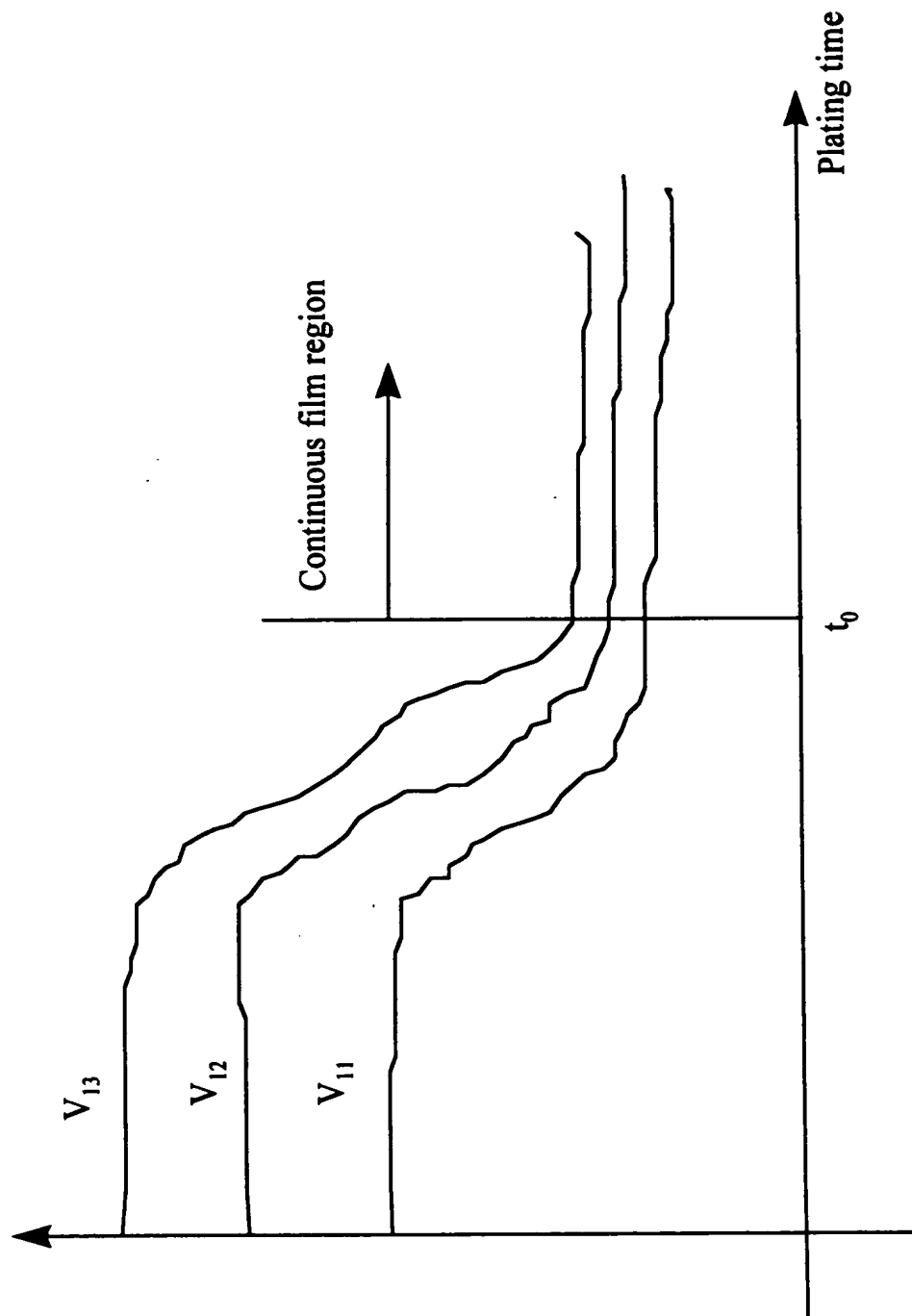


Fig. 10

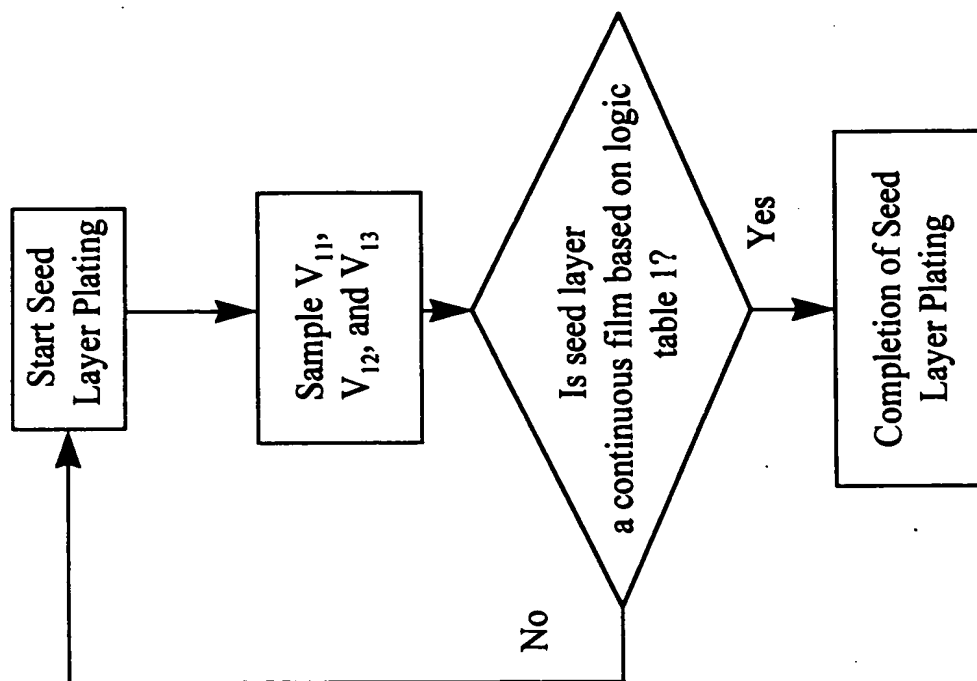


Fig. 11

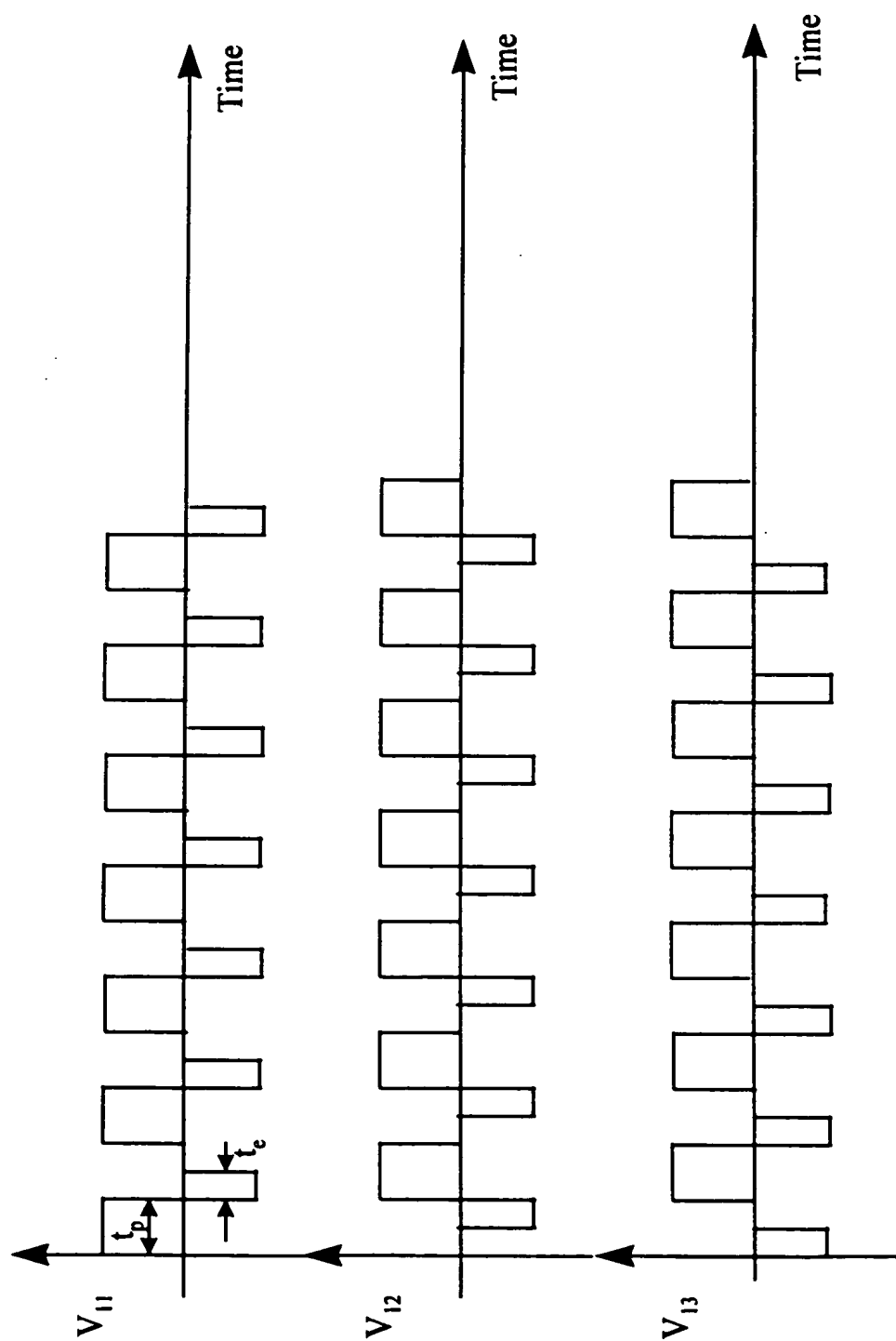


Fig.12

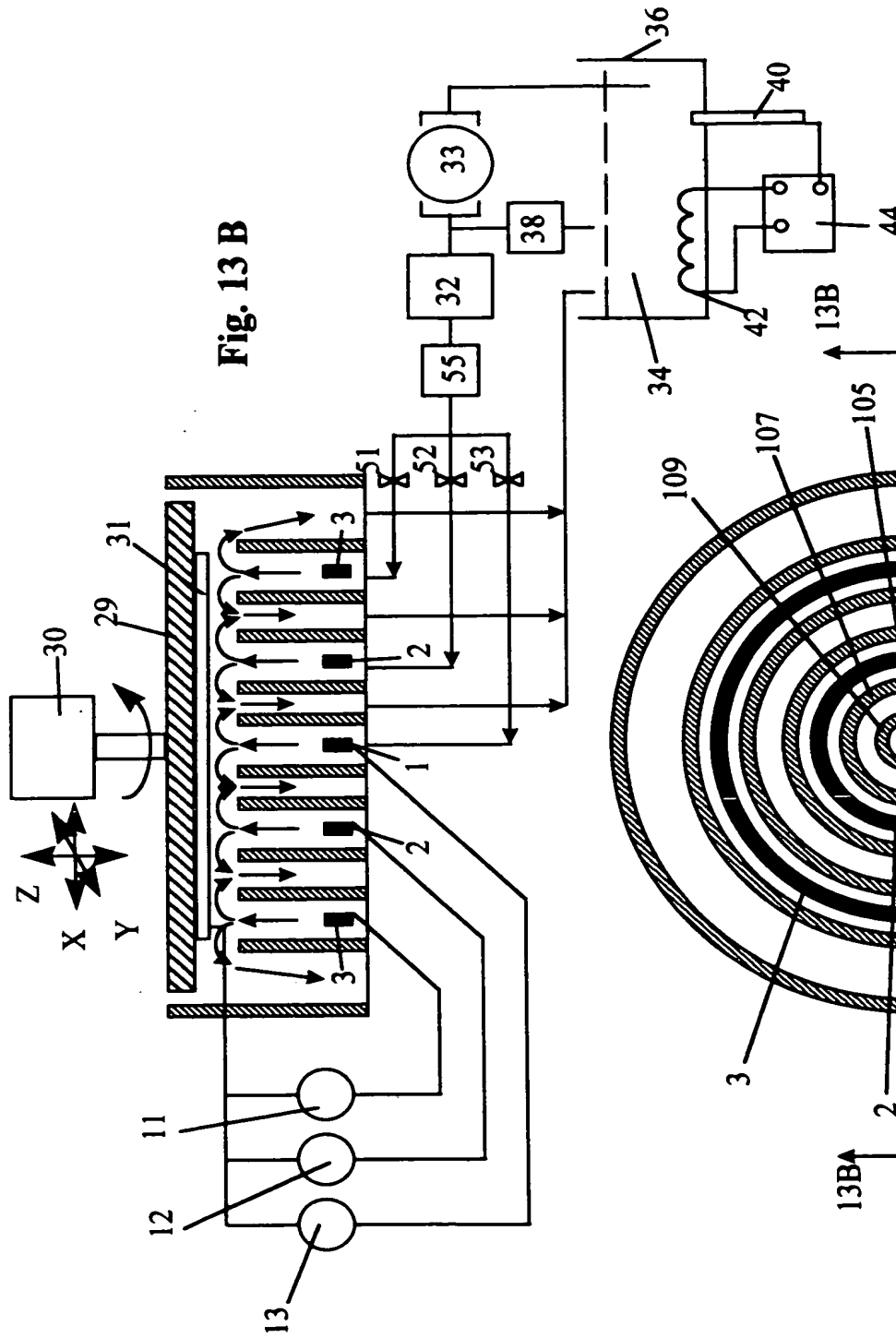


Fig. 13 B

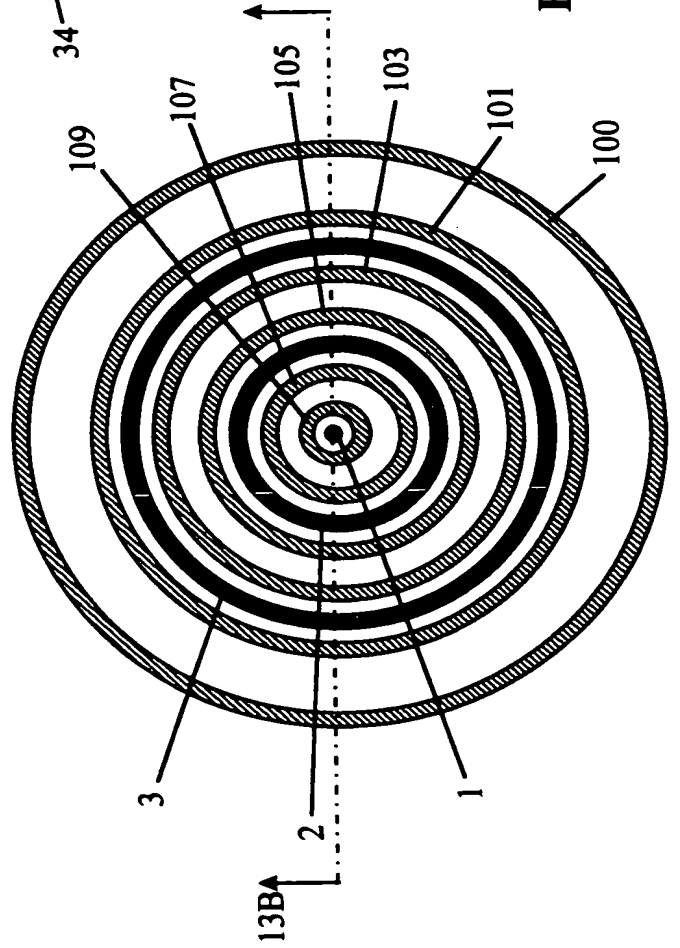


Fig. 13 A

FIG. 14B

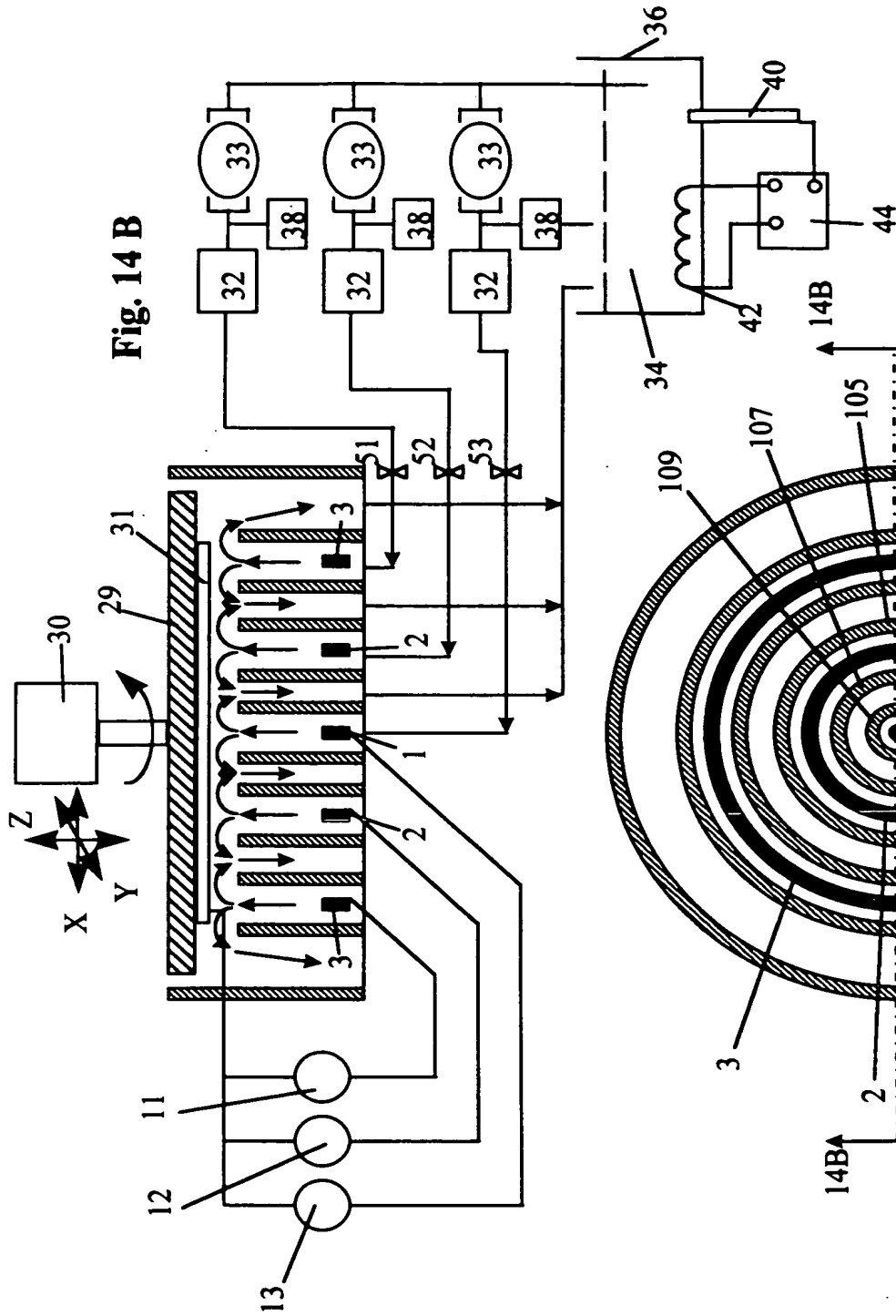
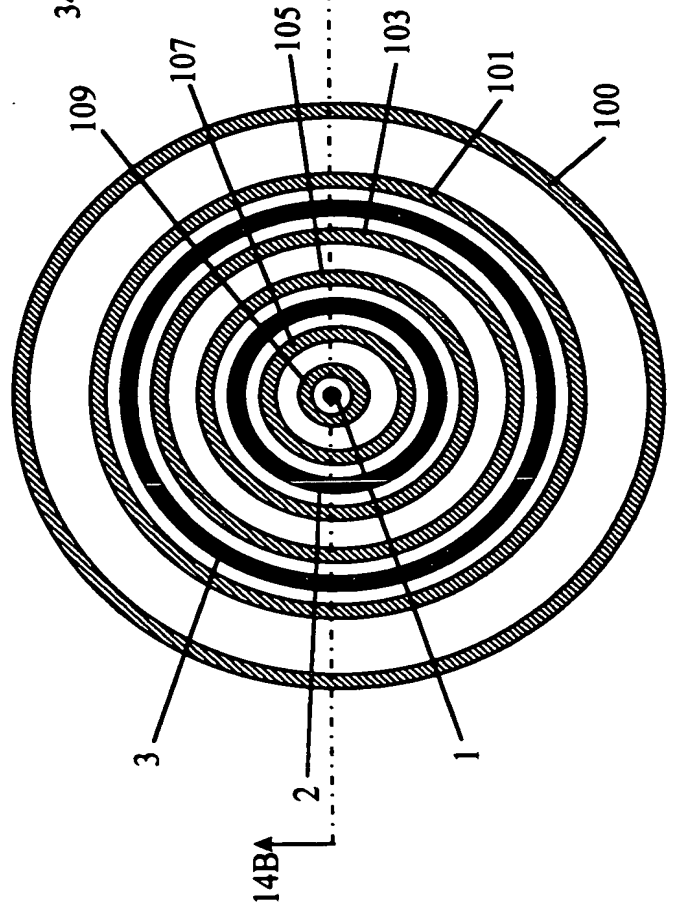
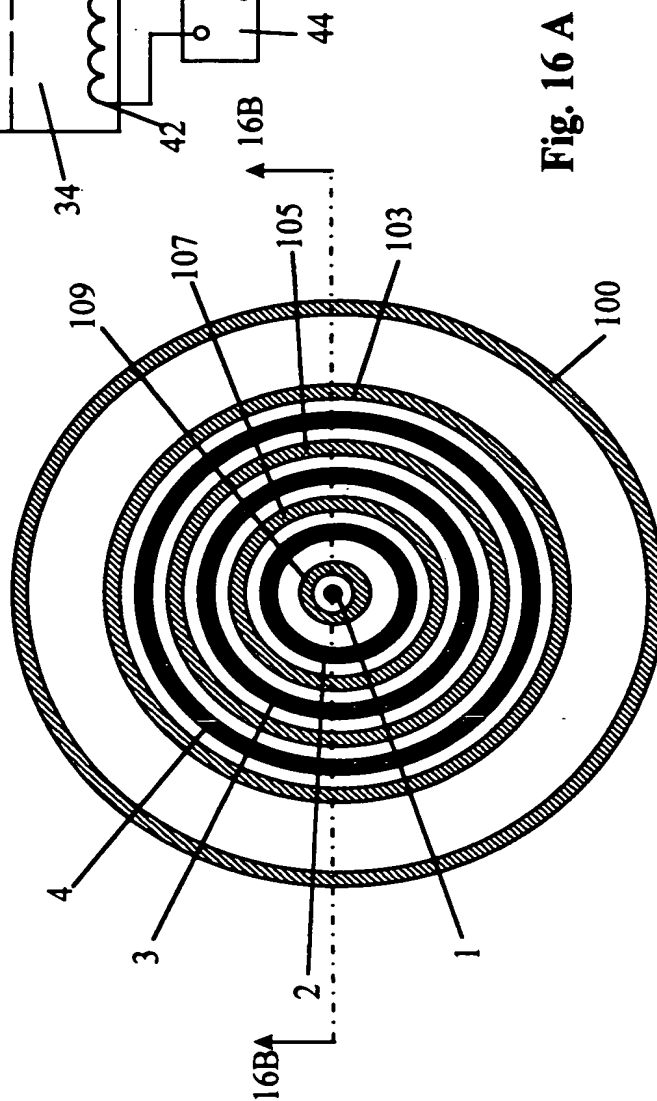
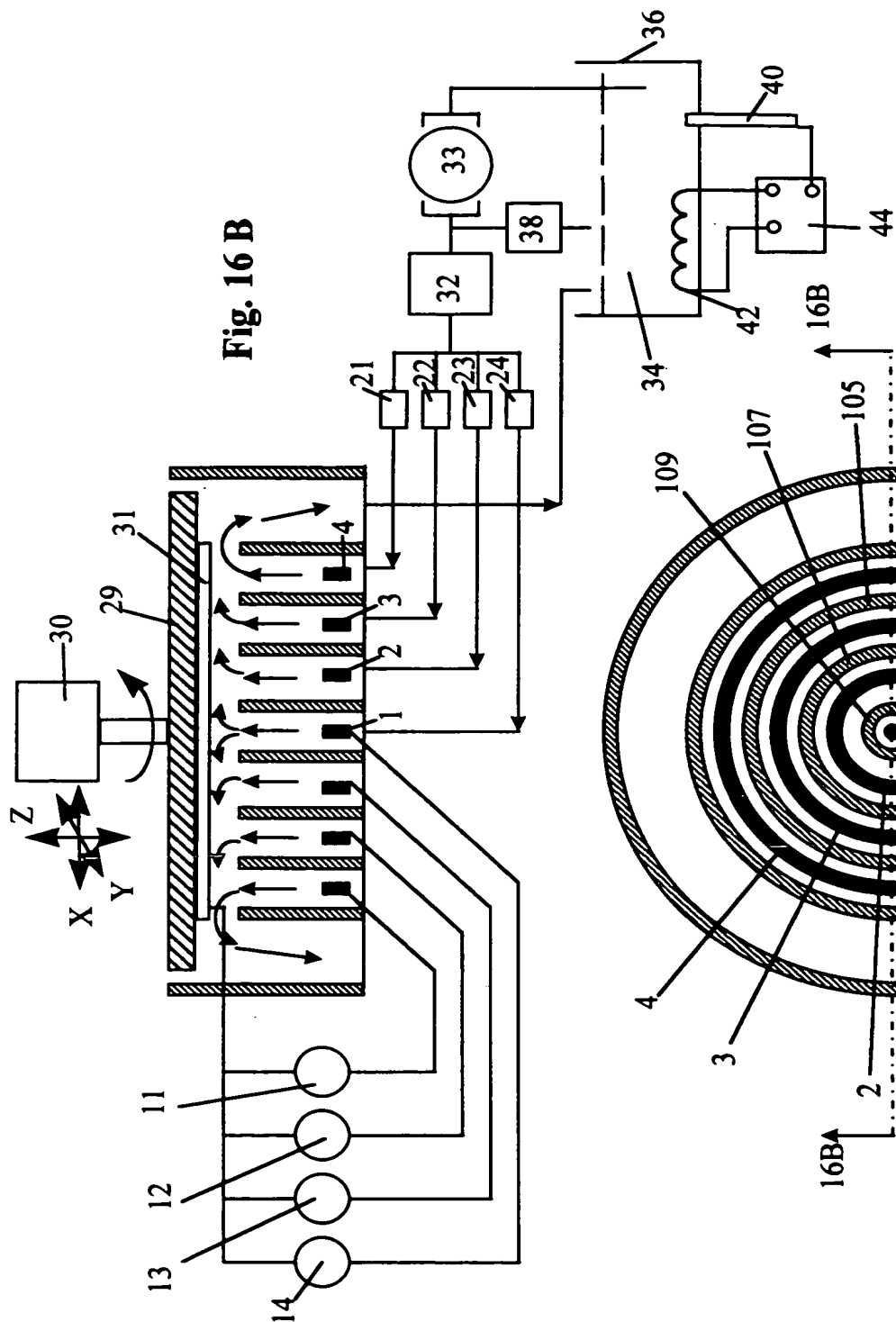


Fig. 14 A





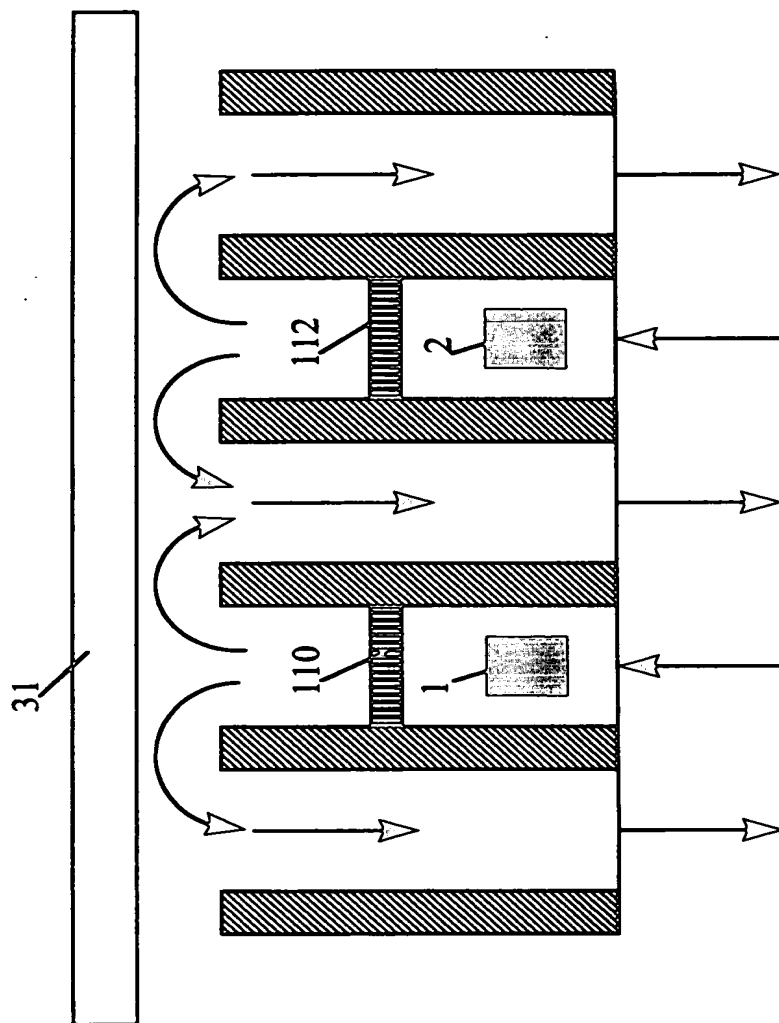


Fig. 17

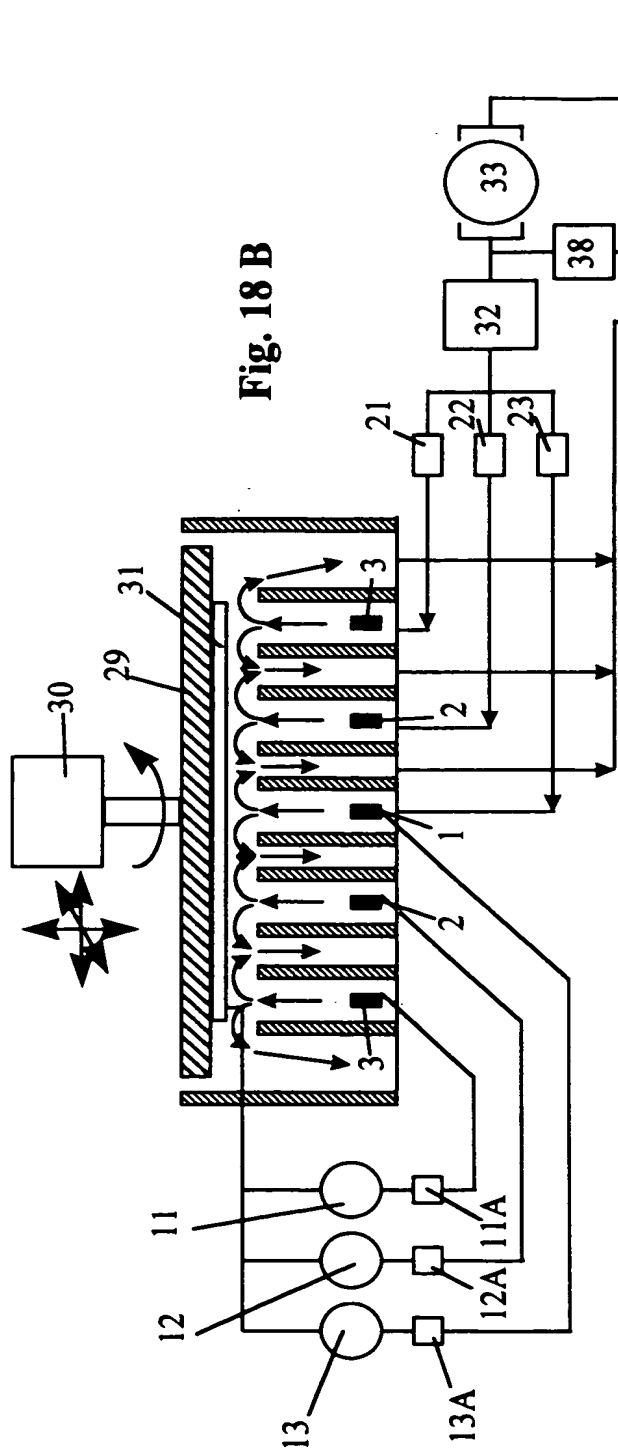


Fig. 18 B

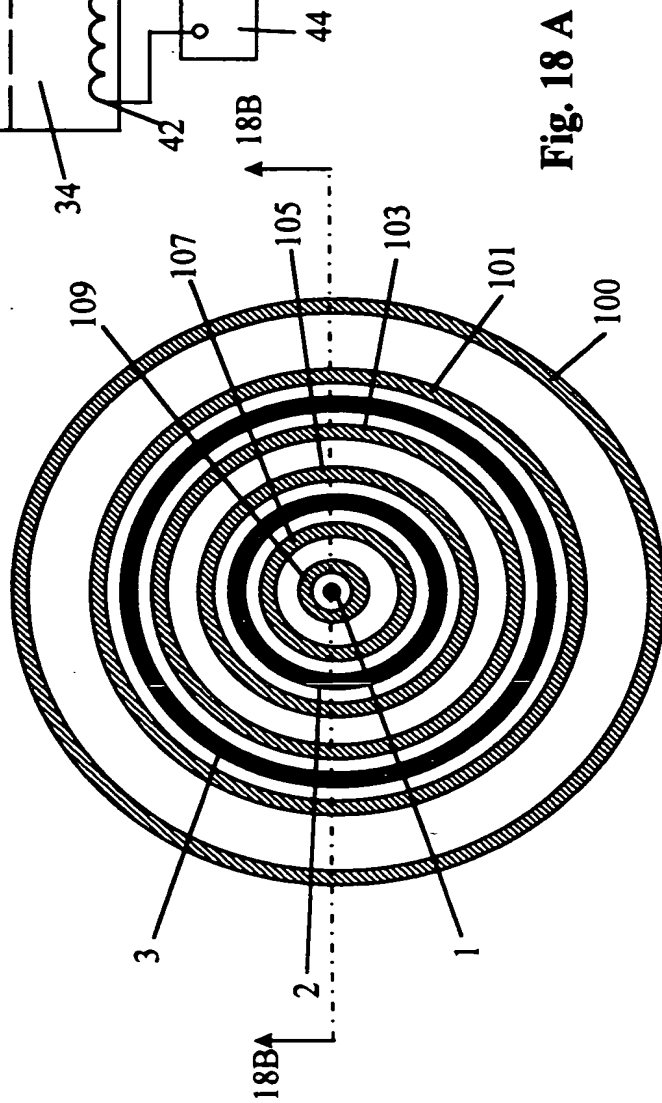


Fig. 18 A

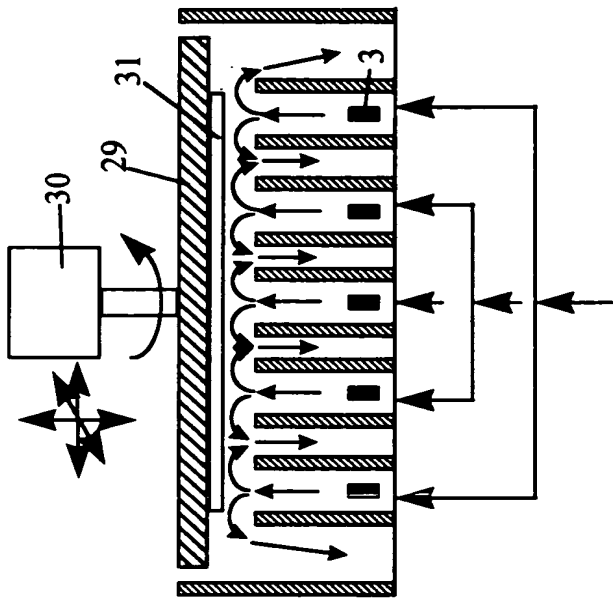


Fig. 19 B

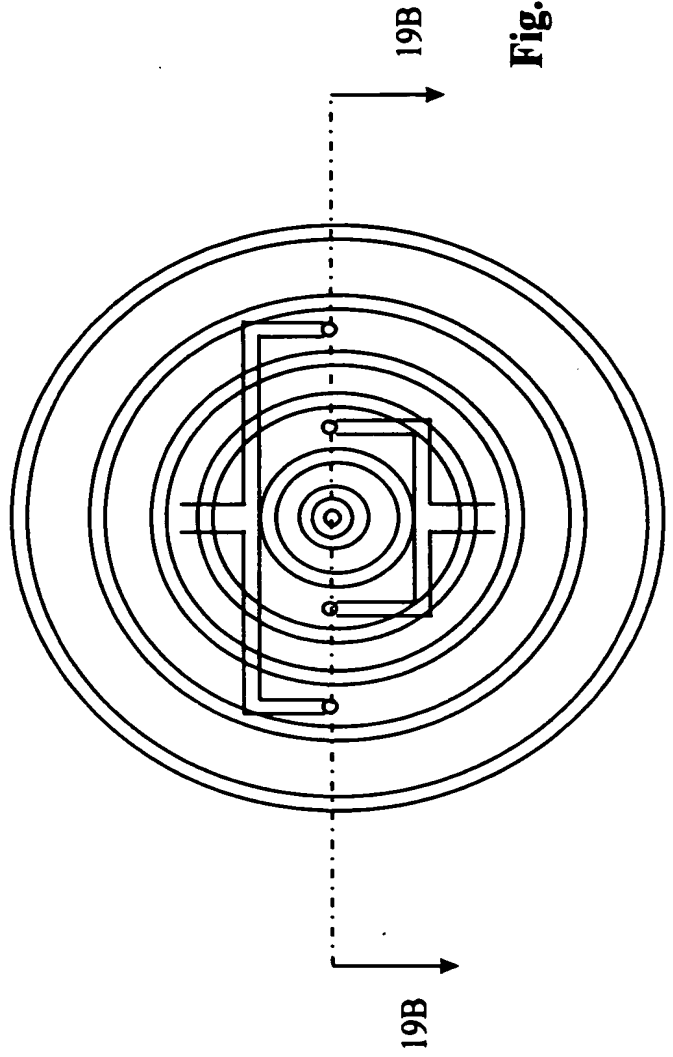


Fig. 19 A

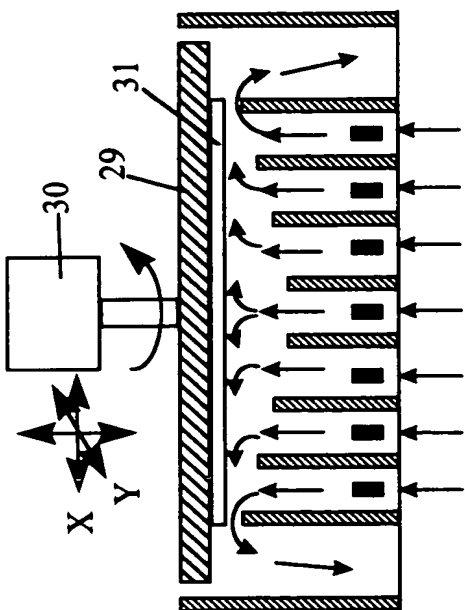


Fig. 20 A

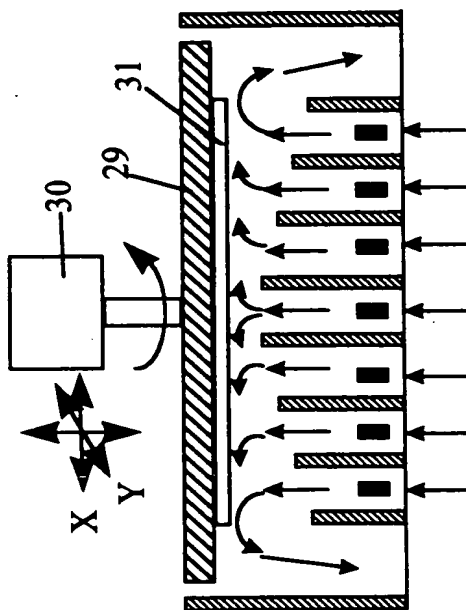


Fig. 20 B

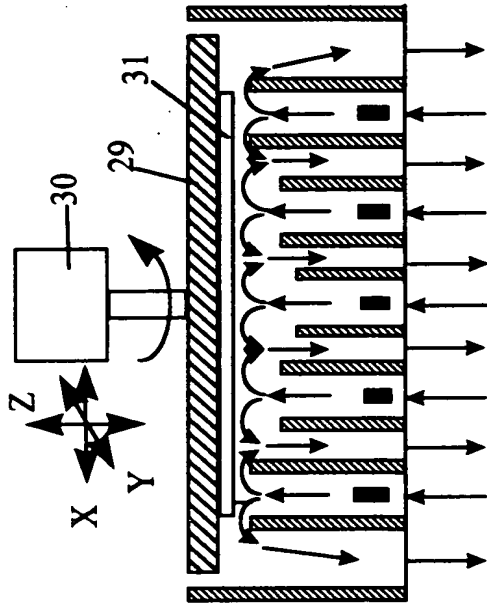


Fig. 21 A

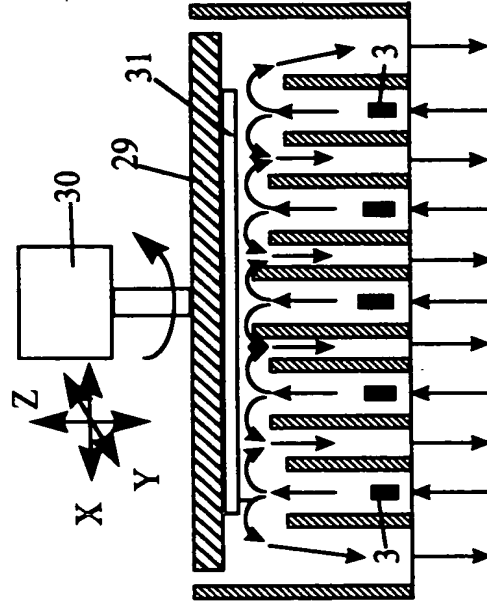
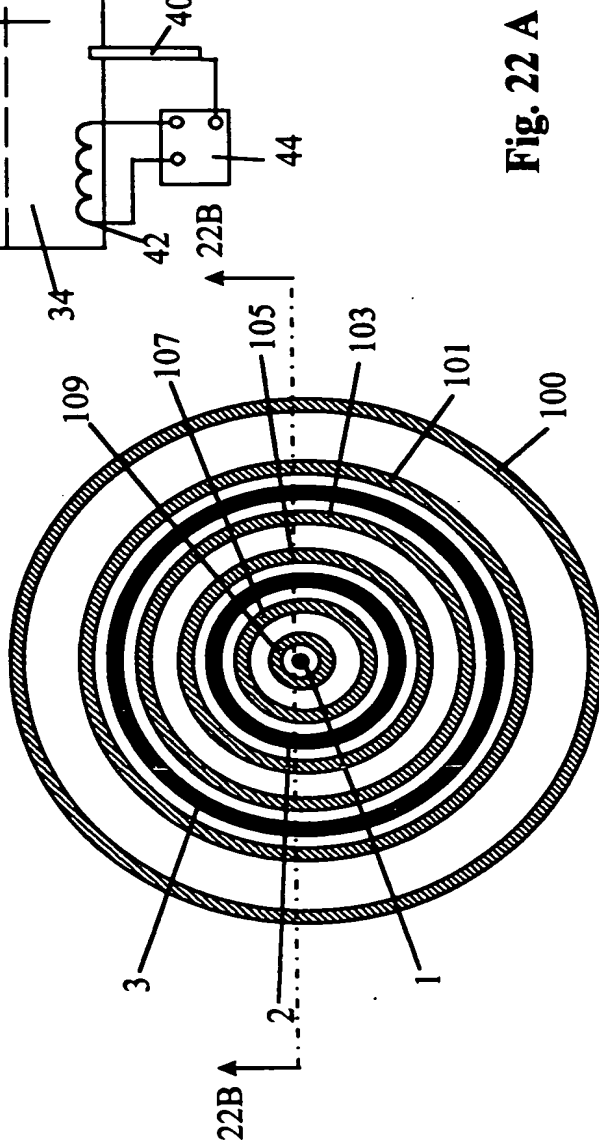
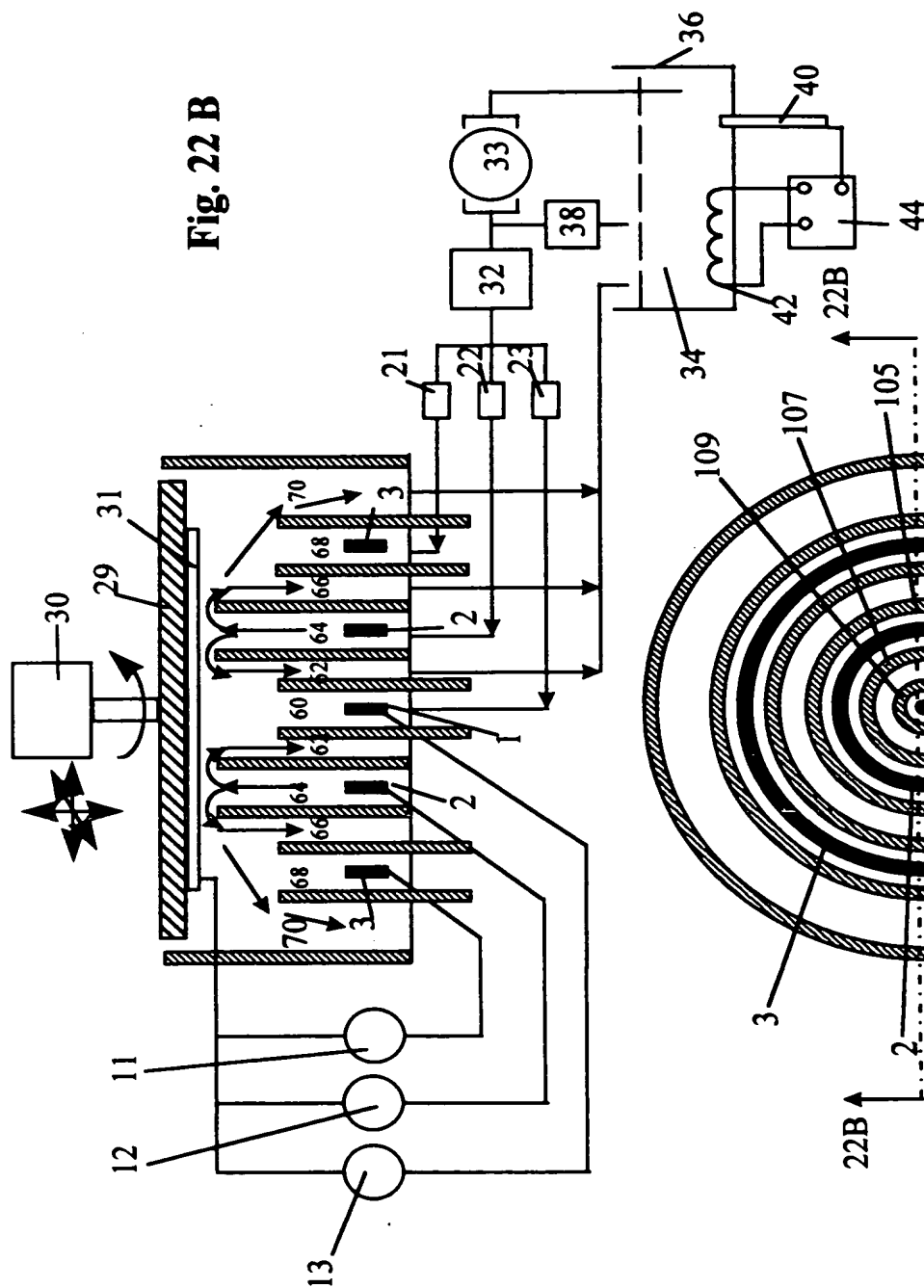


Fig. 21 B



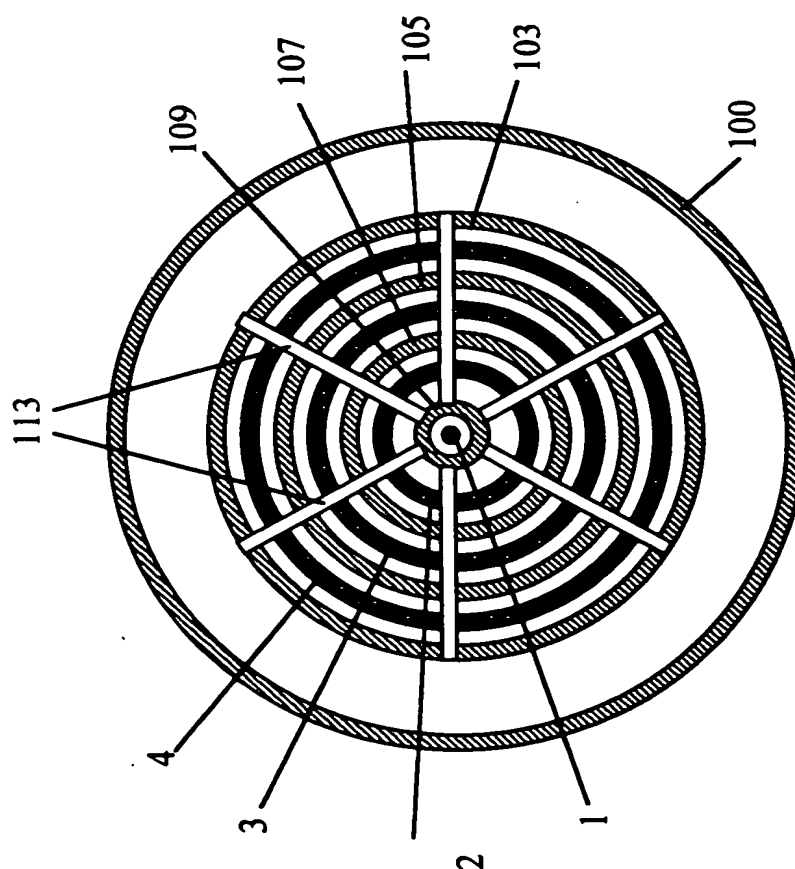


Fig. 23 A

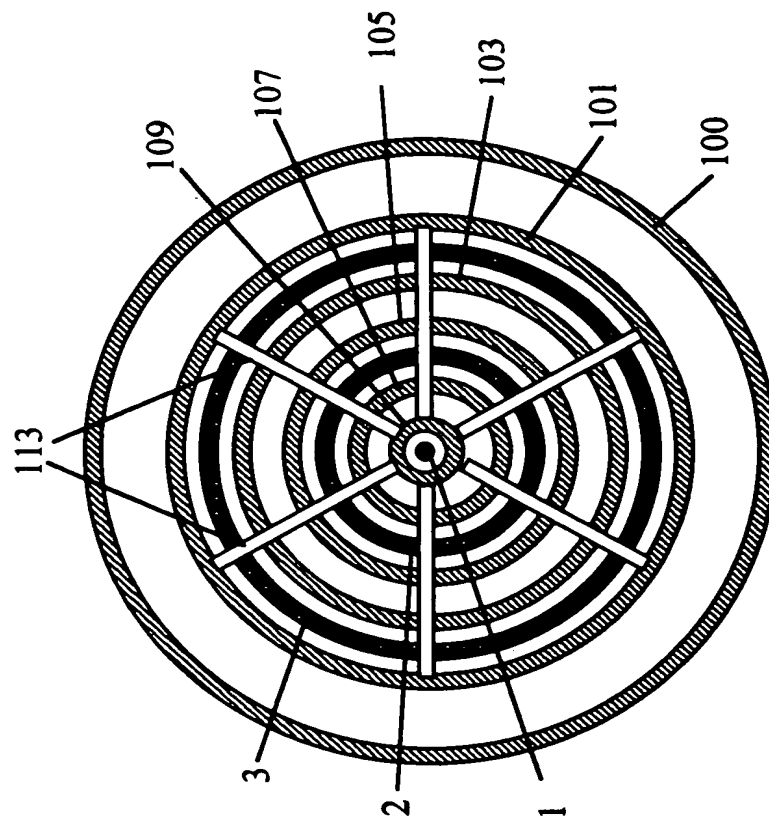


Fig. 23B

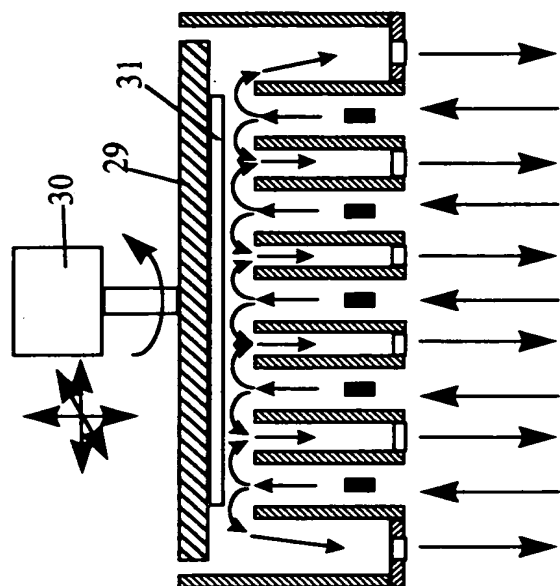


Fig. 24 B

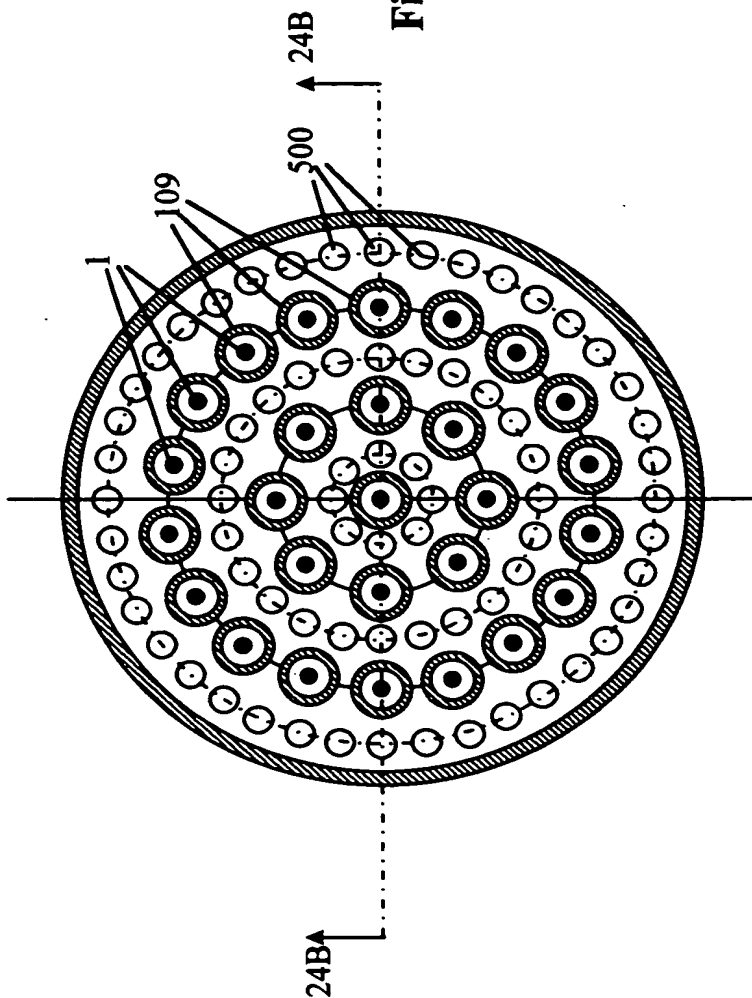


Fig. 24 A

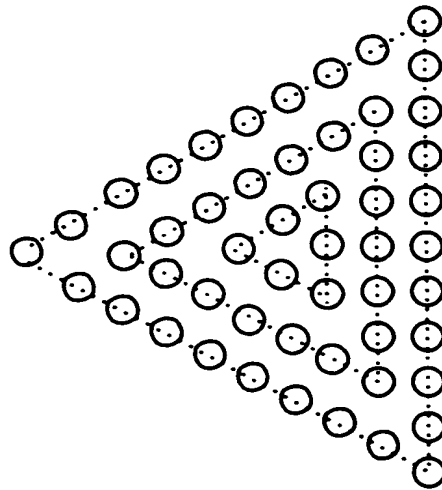


Fig. 25 A

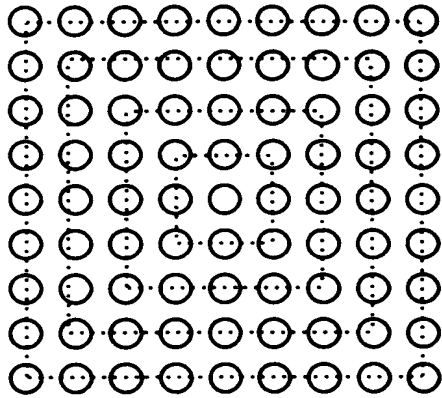


Fig. 25 B

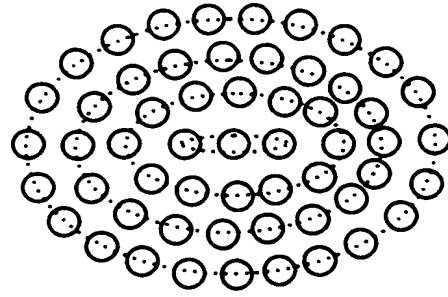


Fig. 25C

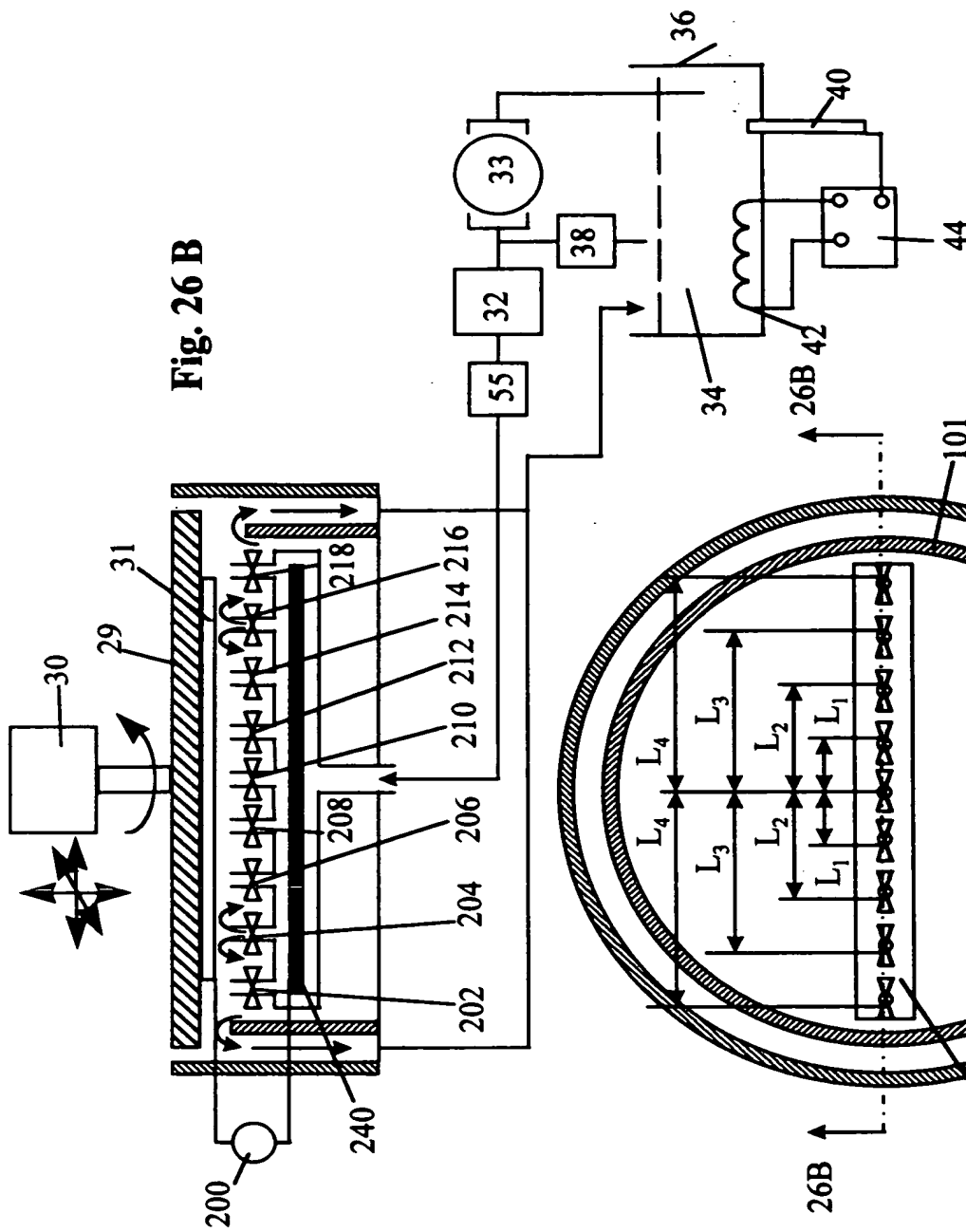
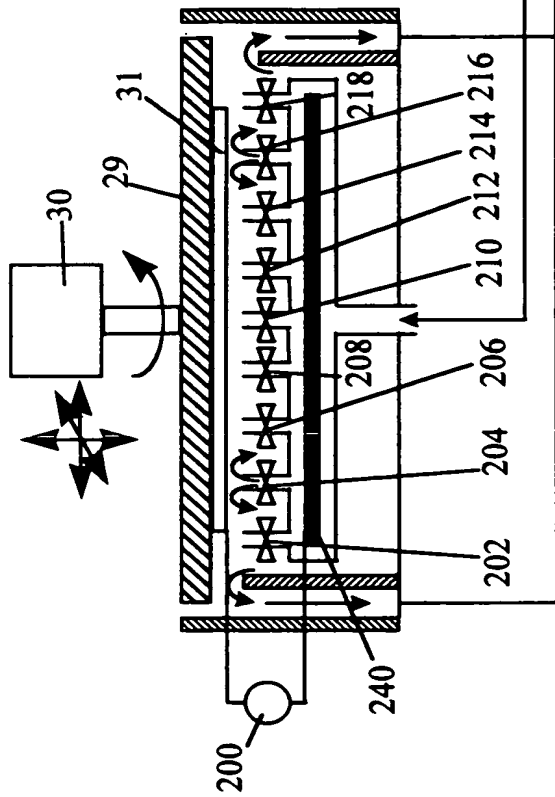


Fig. 26A

Fig. 26 B



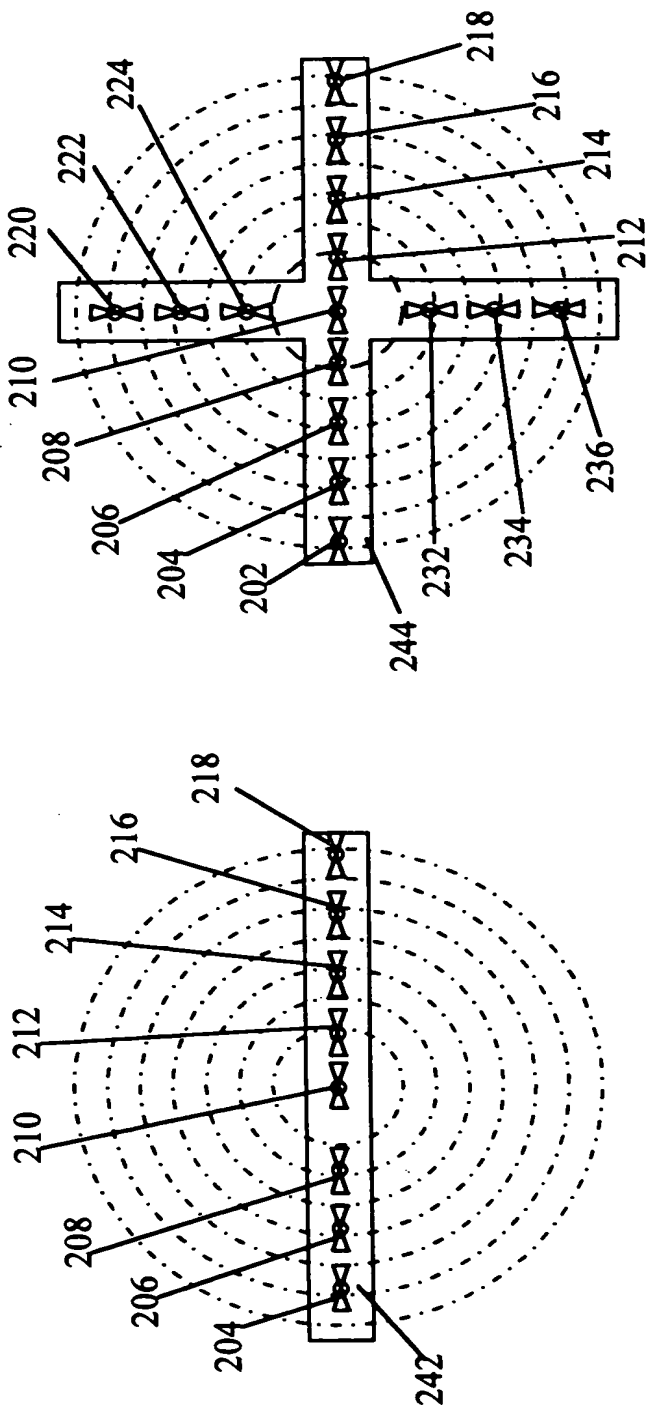


Fig. 27

Fig. 28

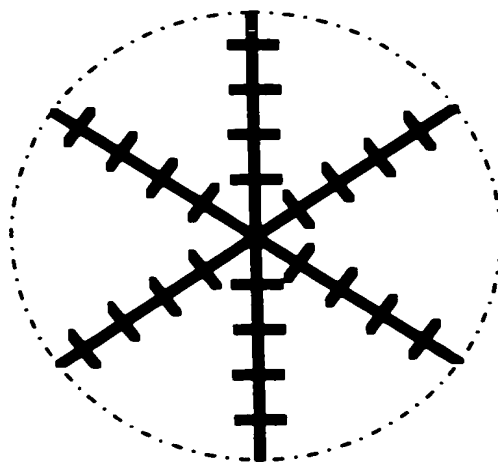


Fig. 29A

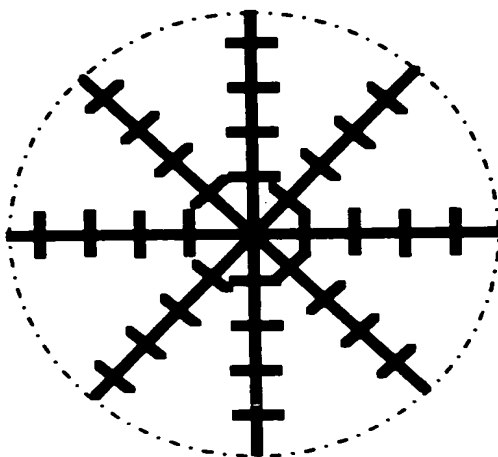


Fig. 29B

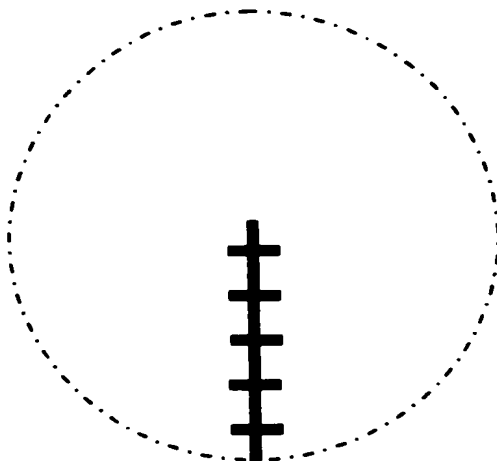


Fig. 29C

FIG. 30B

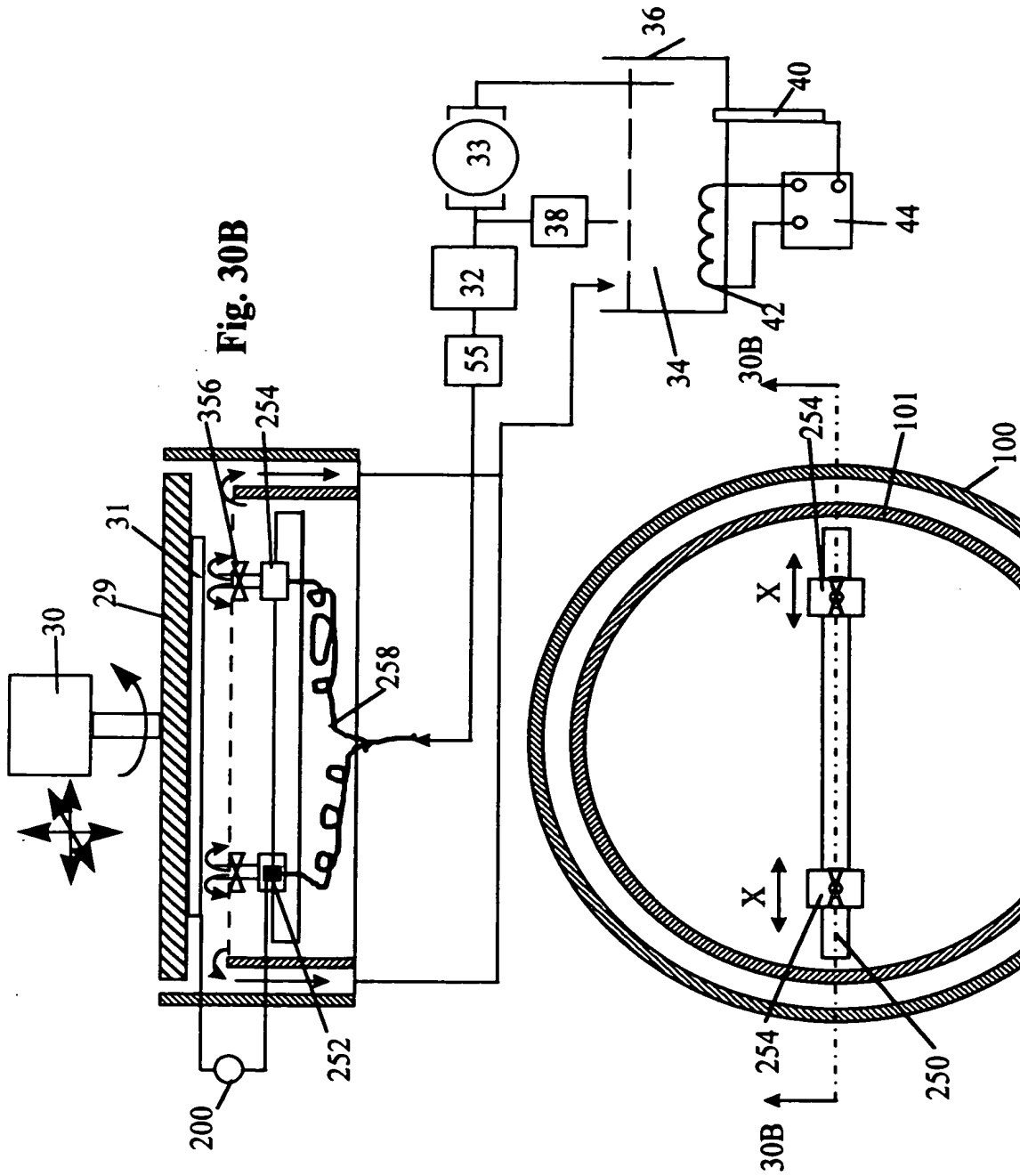


Fig. 30A

FIG. 31B

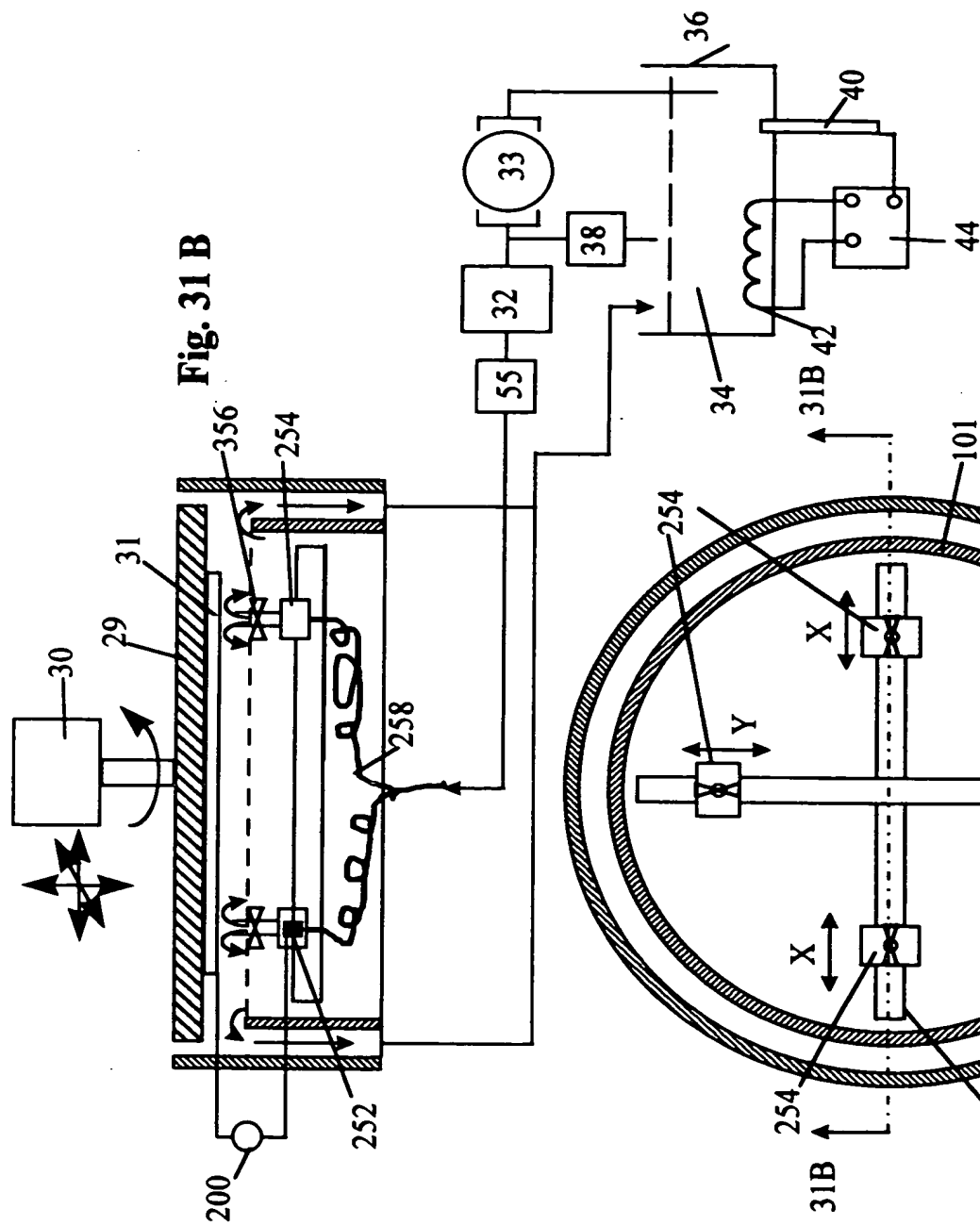
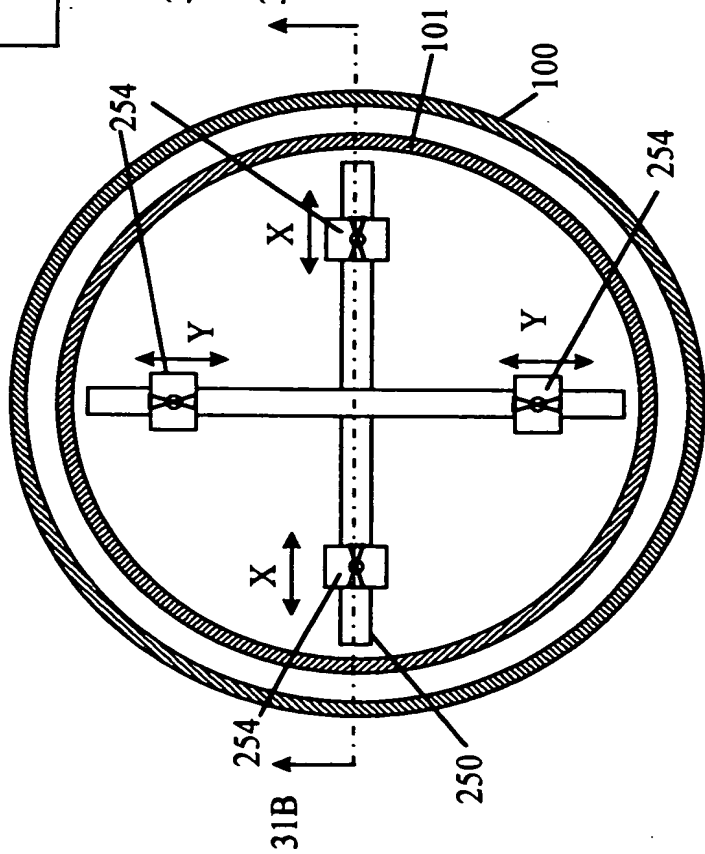


Fig. 31A



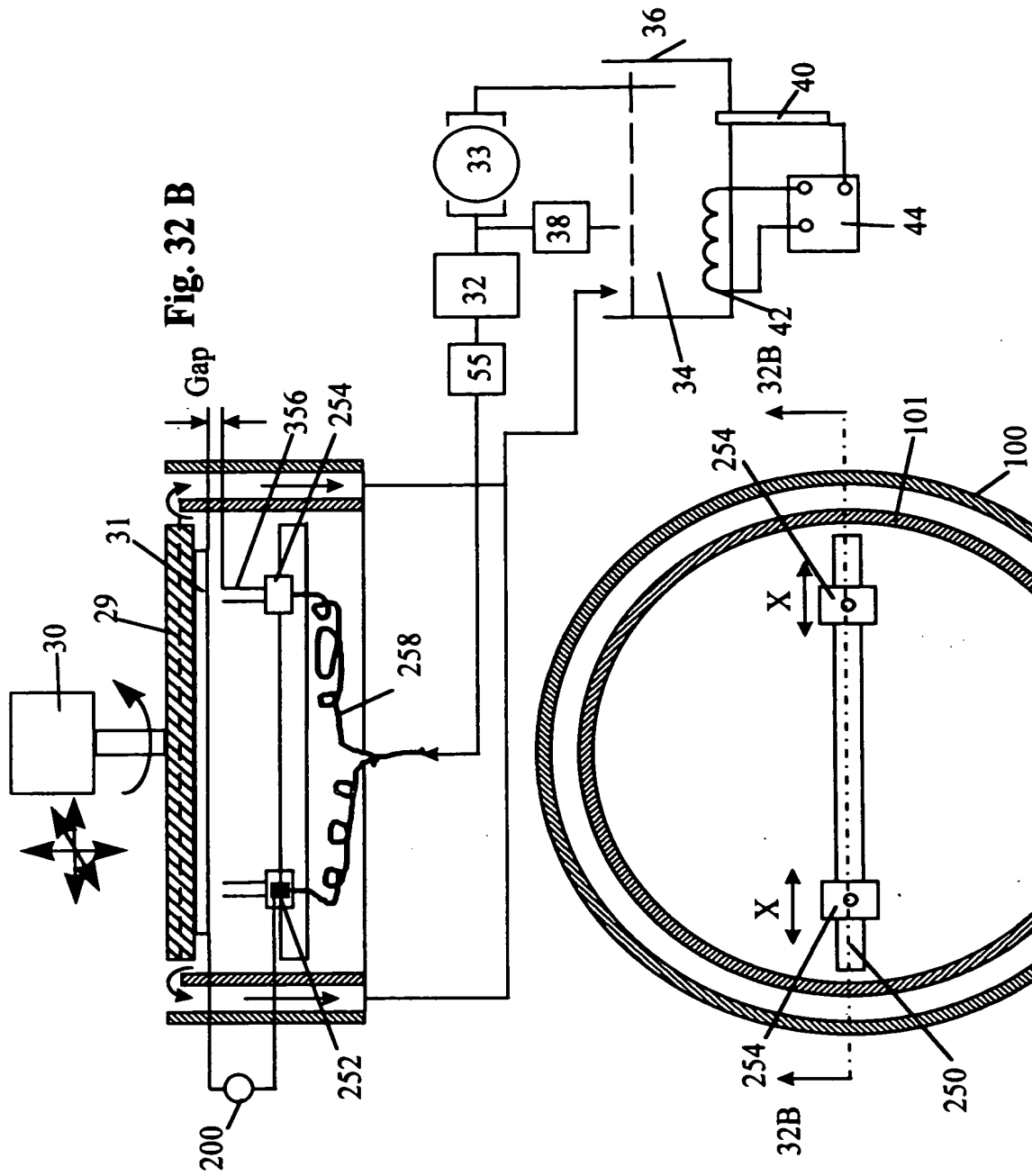


Fig. 32A

Fig. 32 B

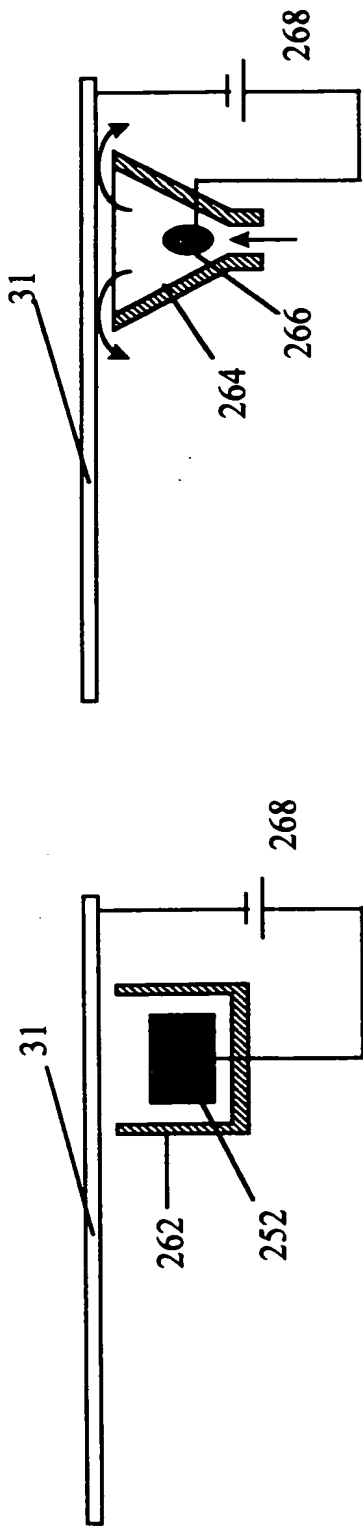


Fig. 34 A

Fig. 34 B

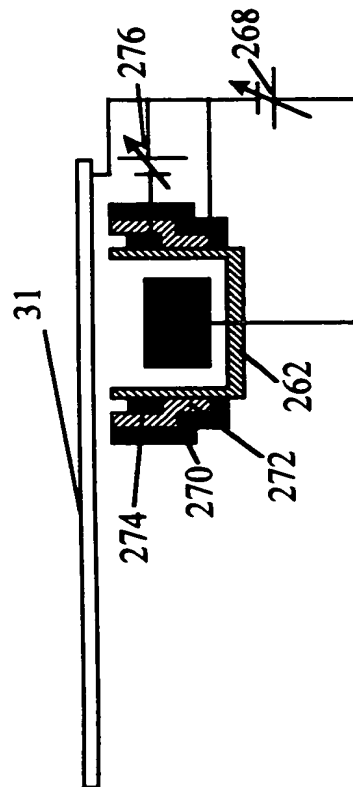


Fig. 34 C

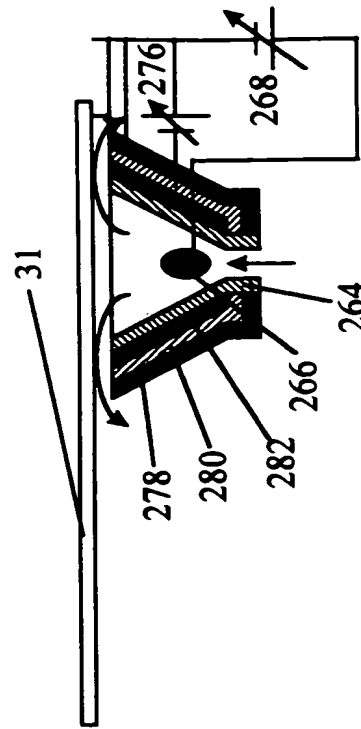


Fig. 34 D

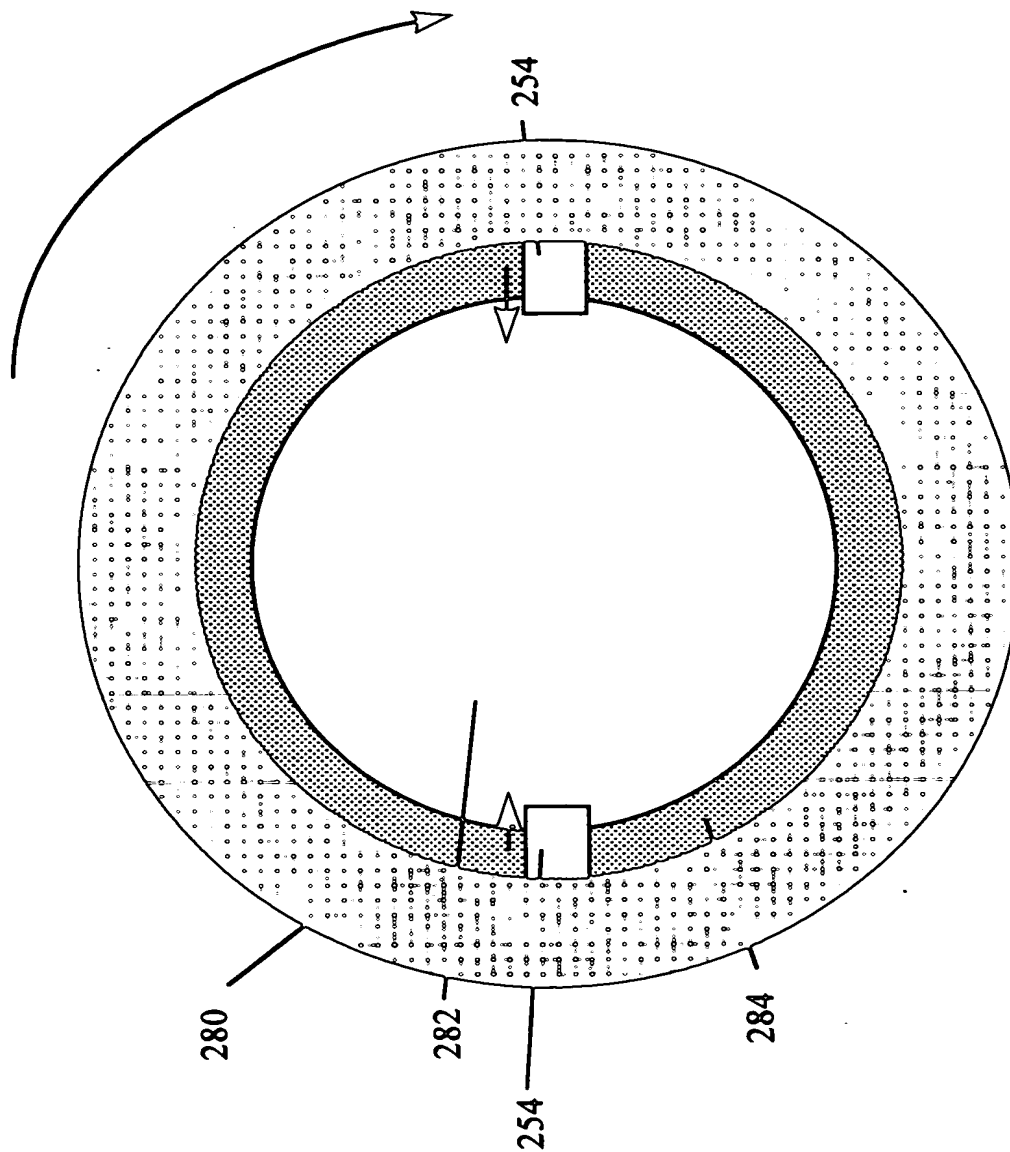


Fig. 35

TEST NO. 20042800

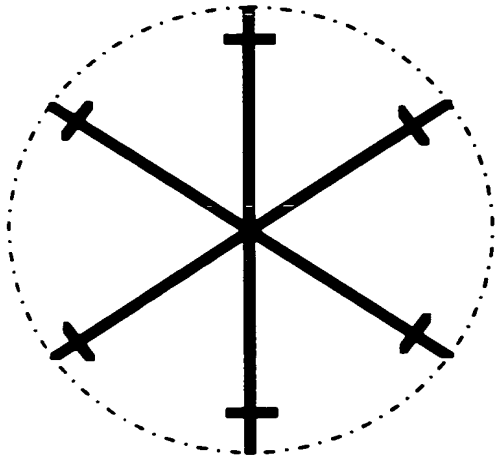


Fig. 36 A

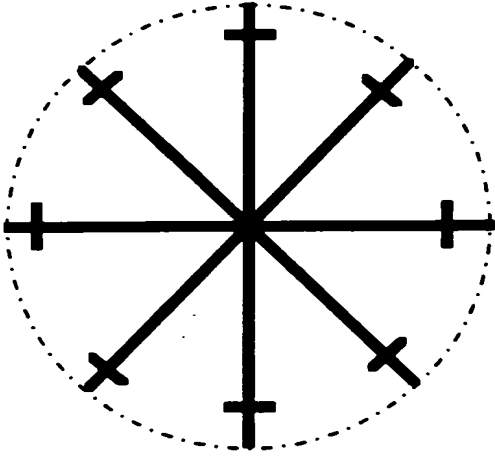


Fig. 36 B

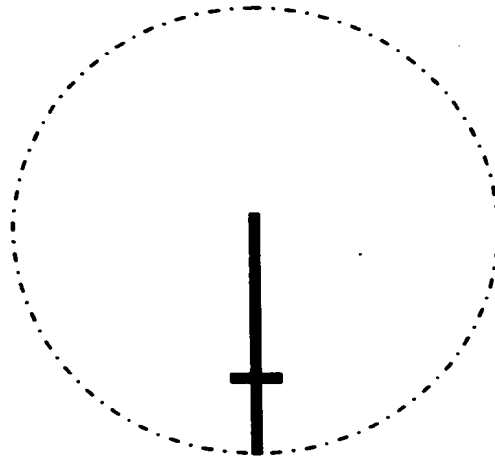


Fig. 36 C

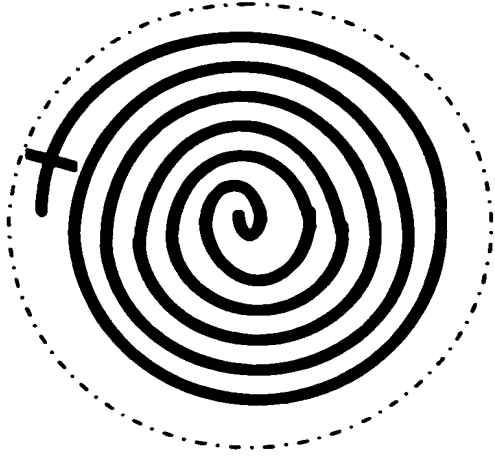


Fig. 36 D

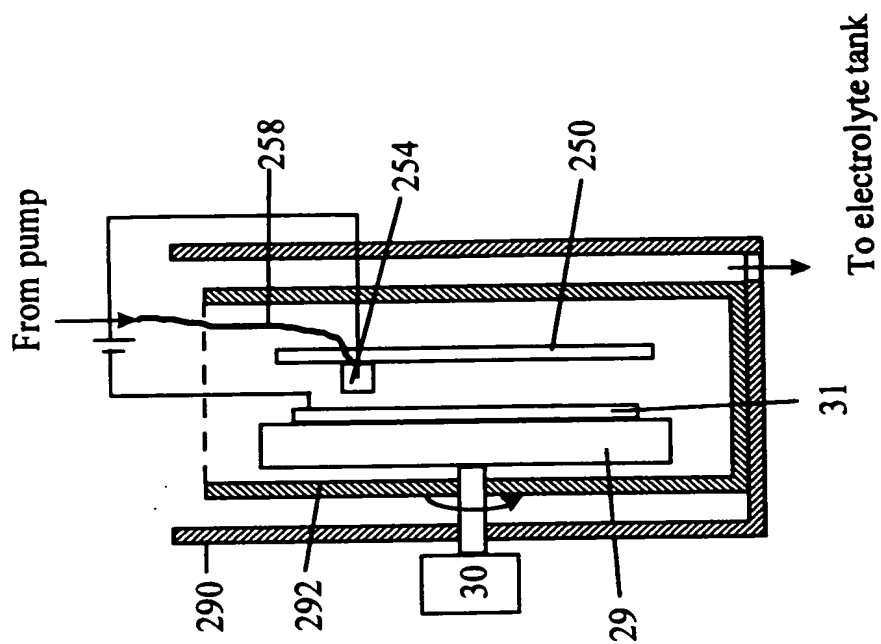


Fig. 37 A

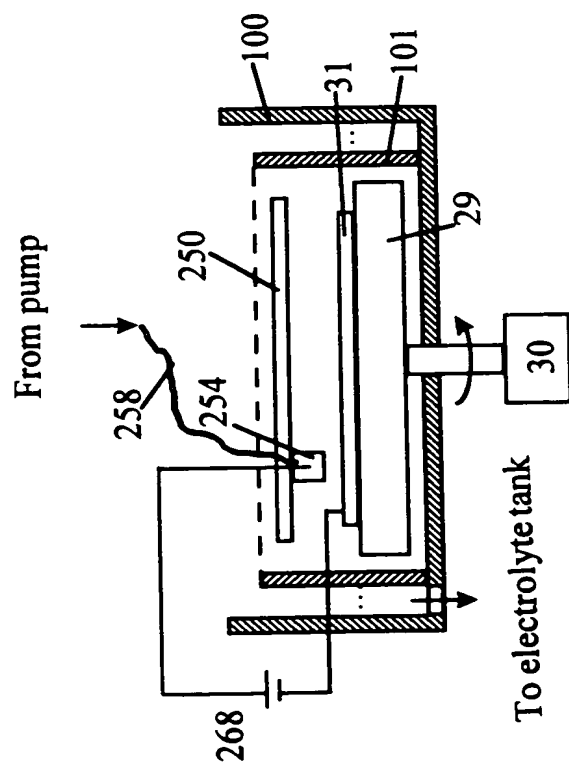


Fig. 37 B

FIG. 38A

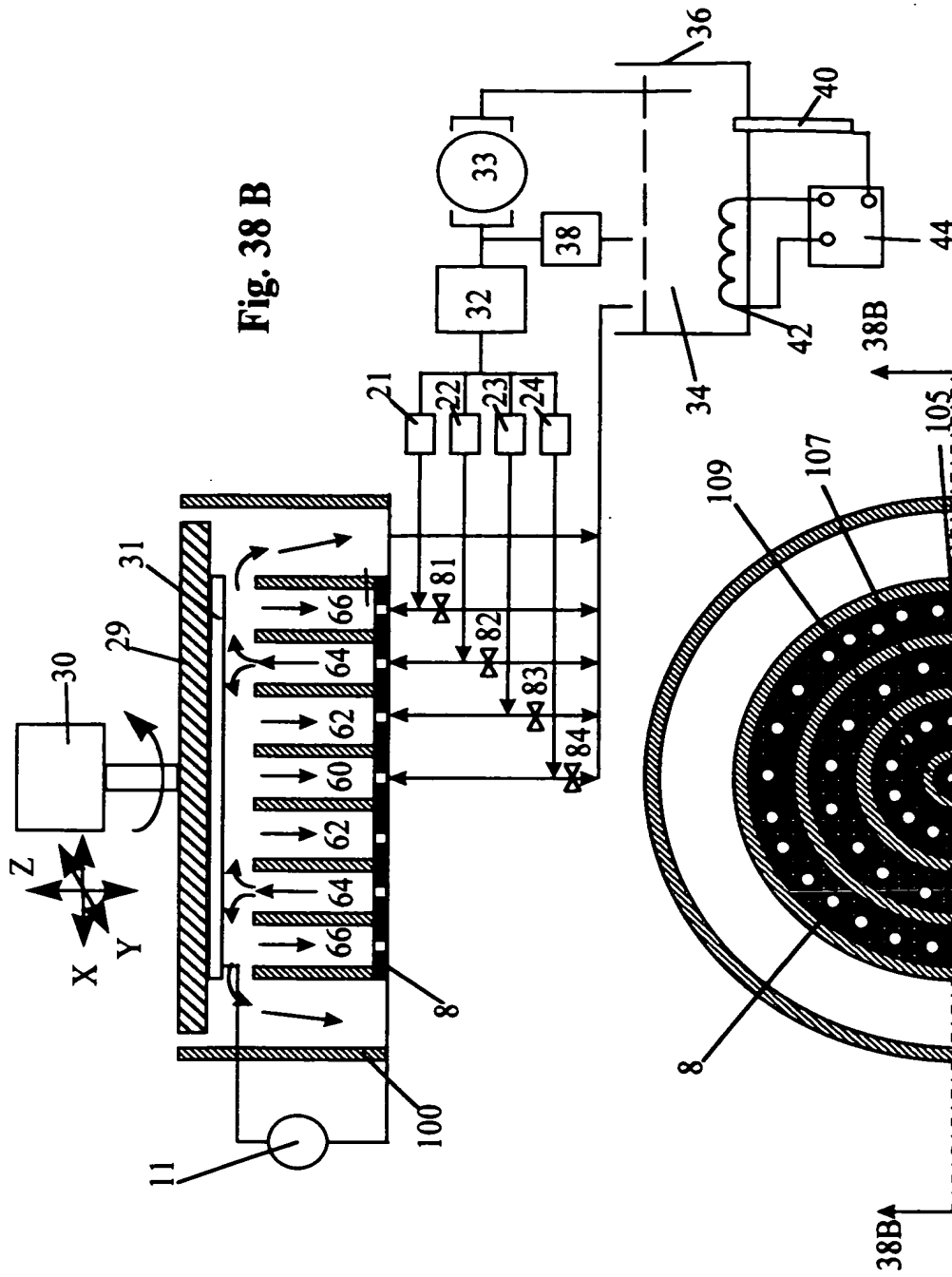
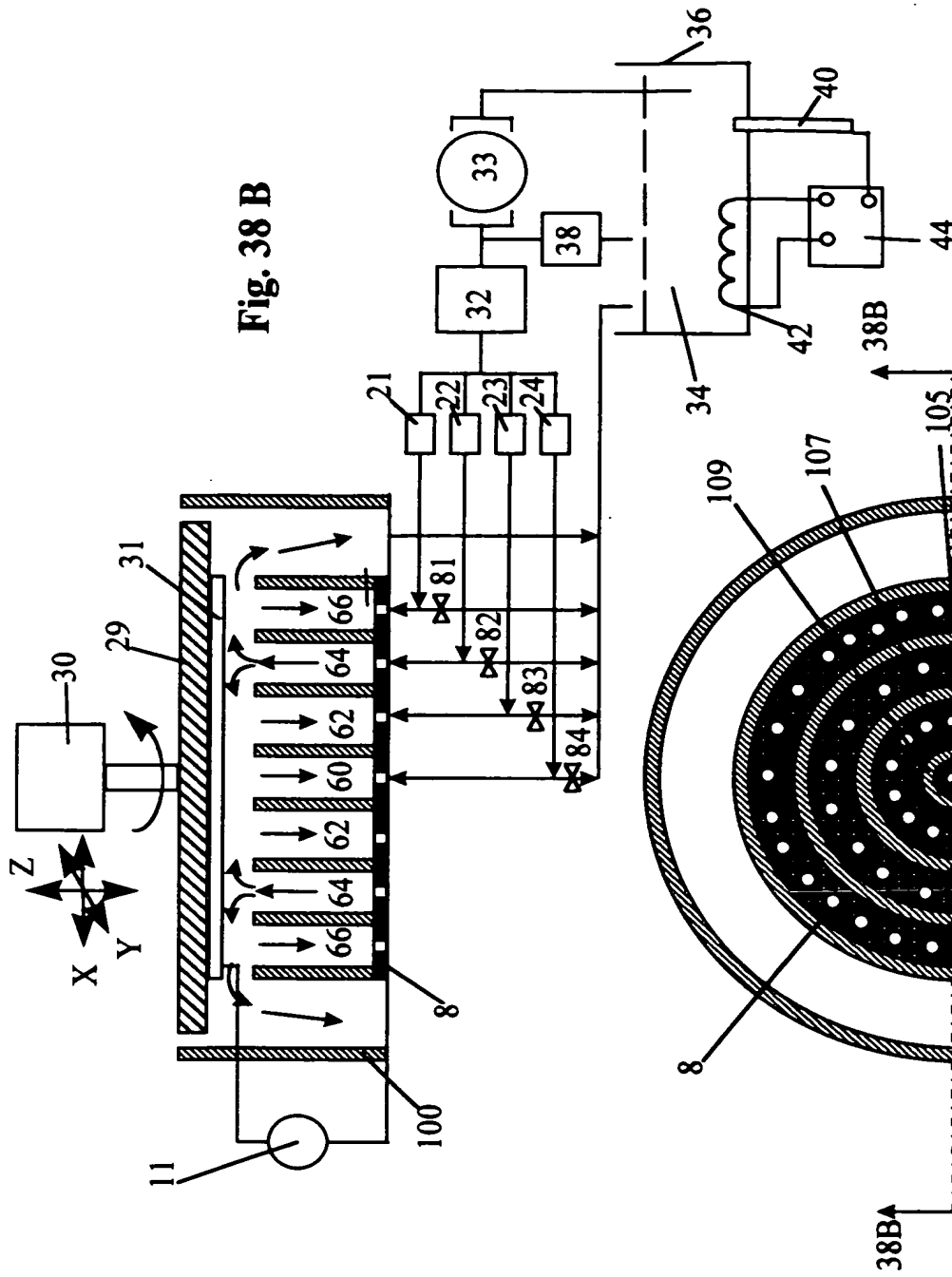


Fig. 38 A

Fig. 38 B



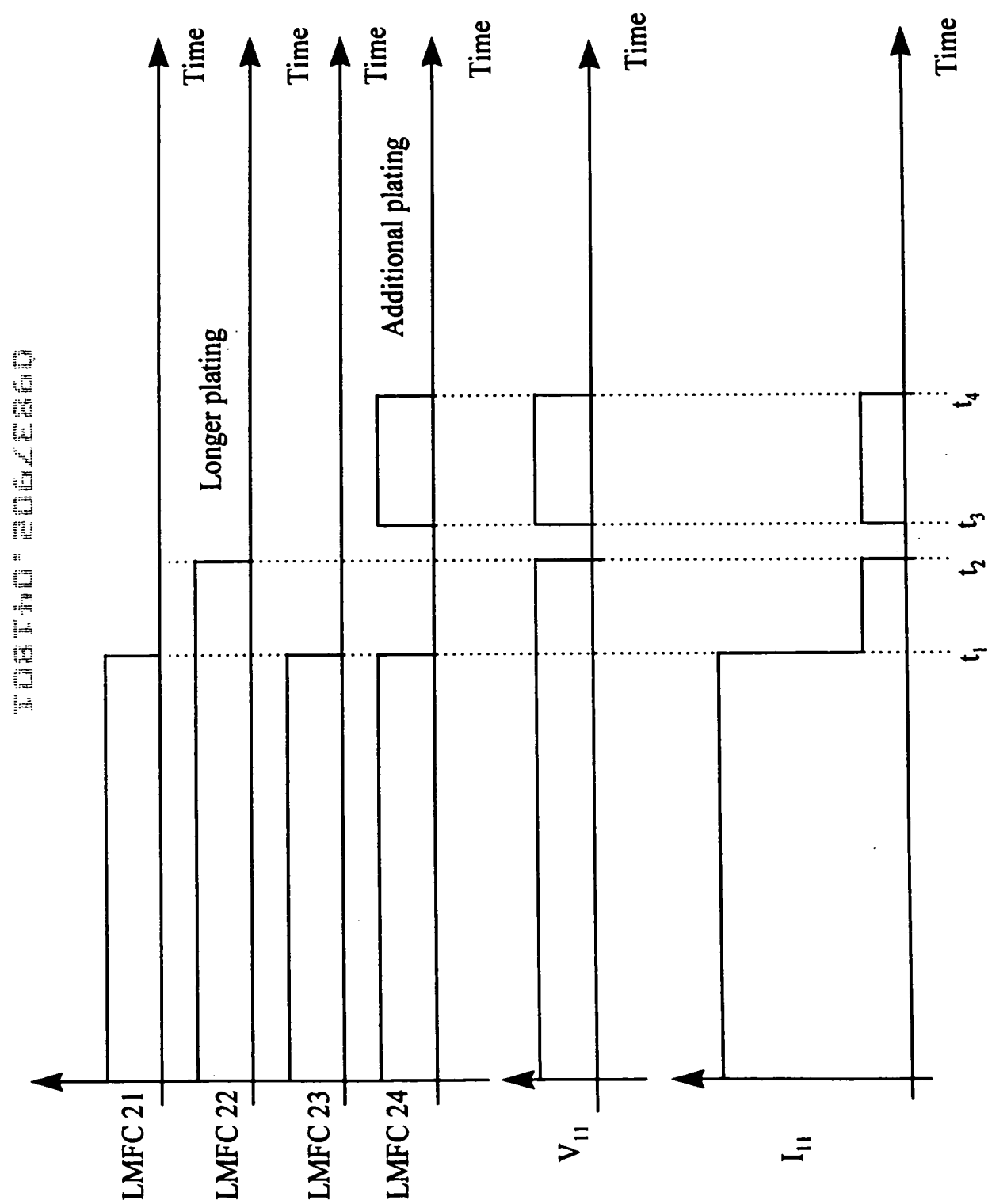


Fig. 39

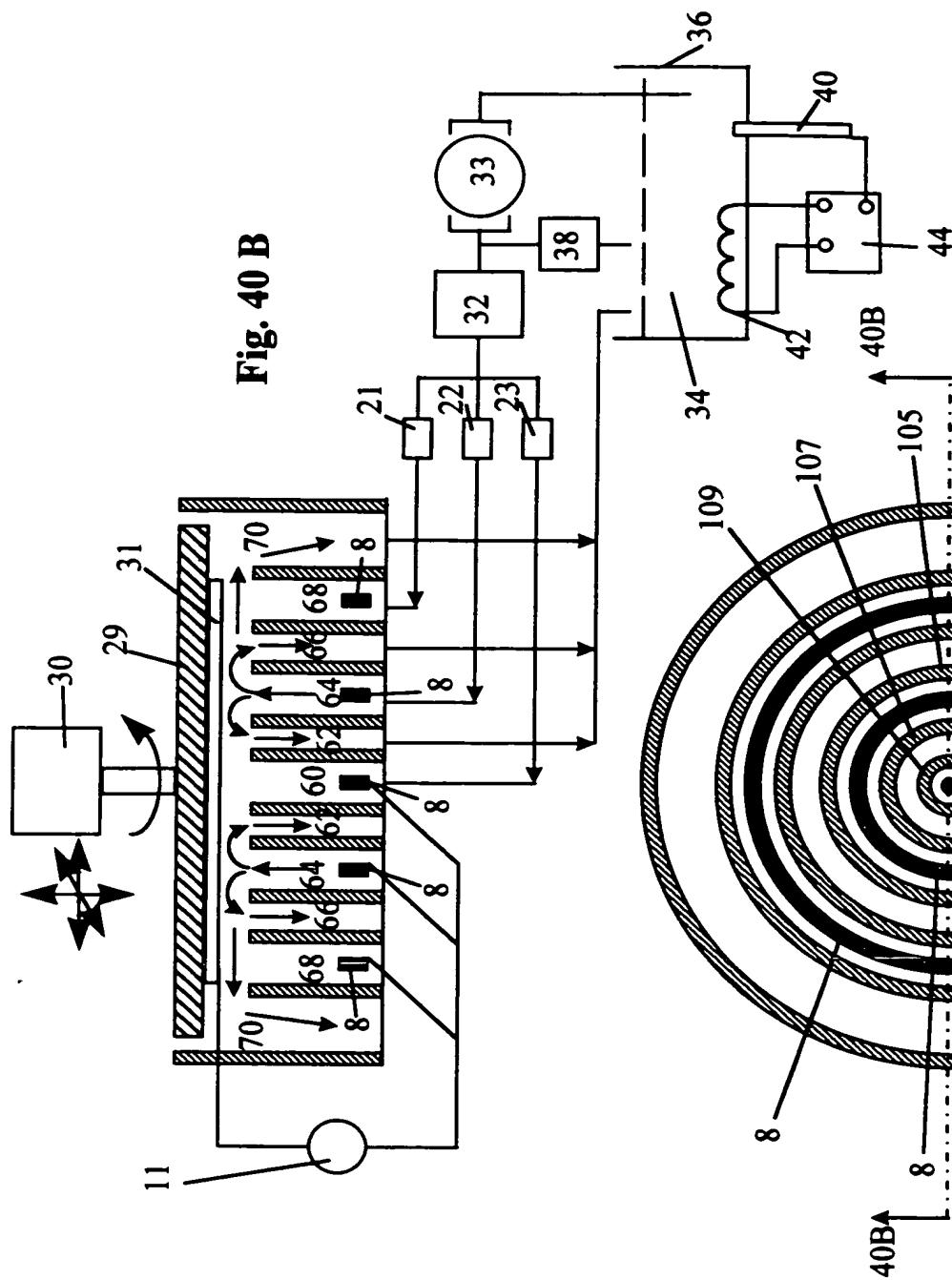


Fig. 40 B

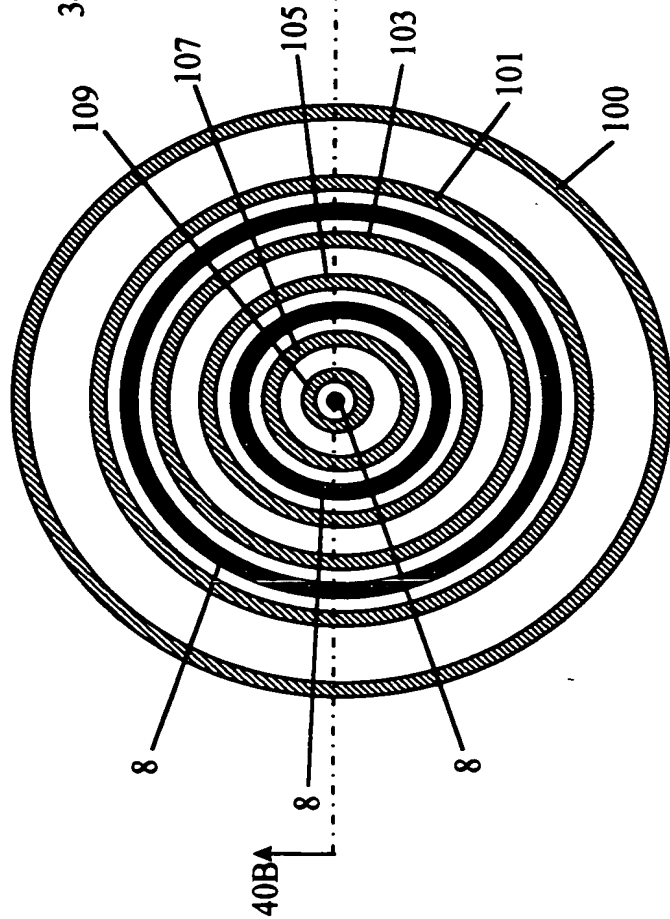


Fig. 40 A

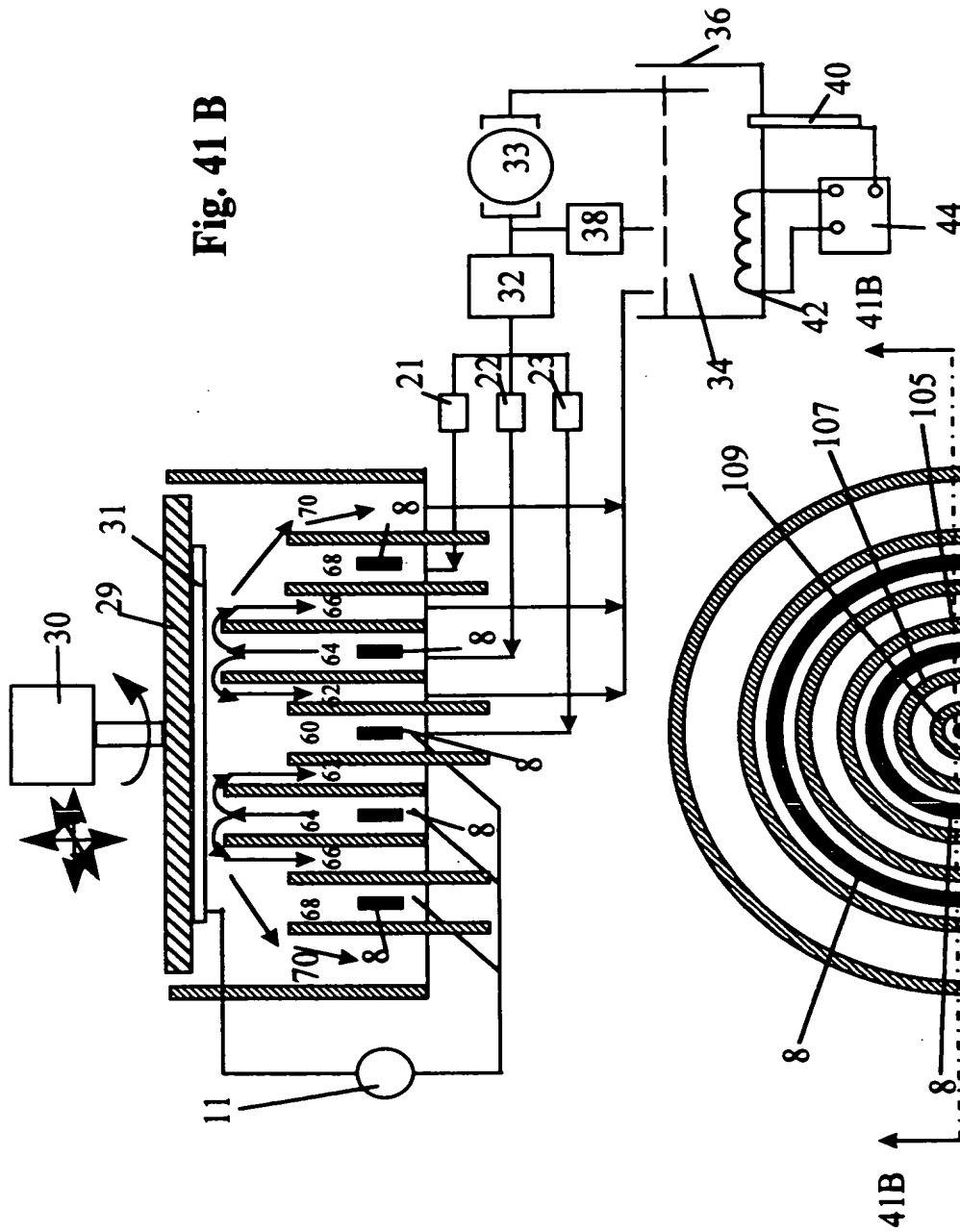


Fig. 41 B

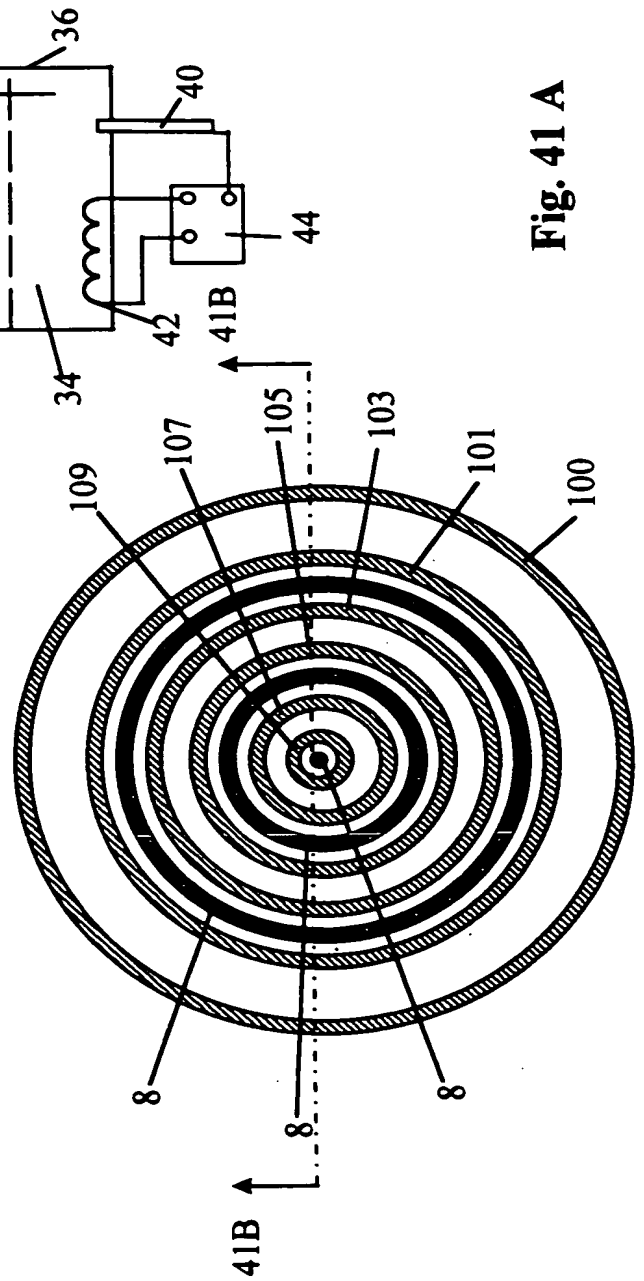
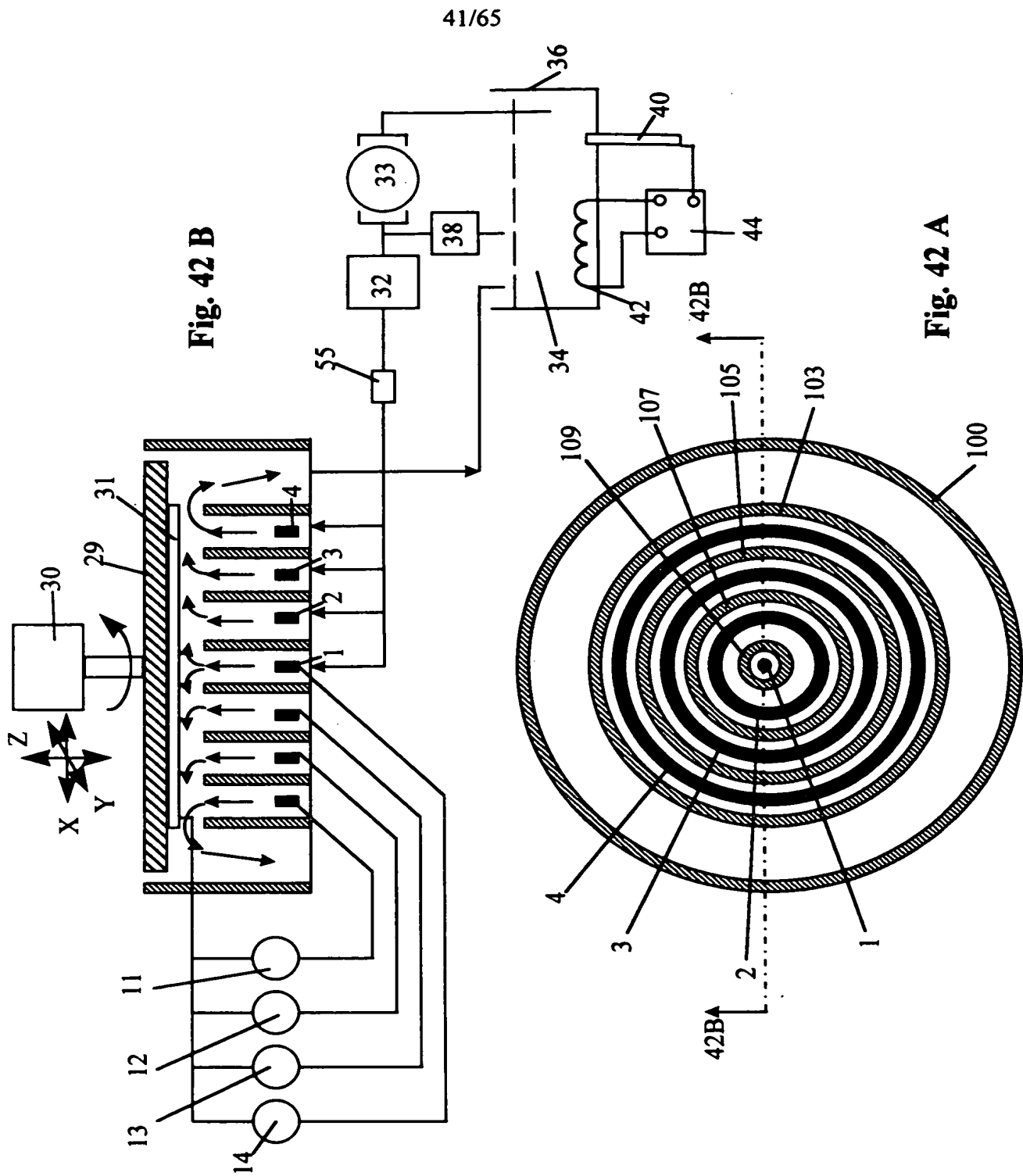


Fig. 41 A



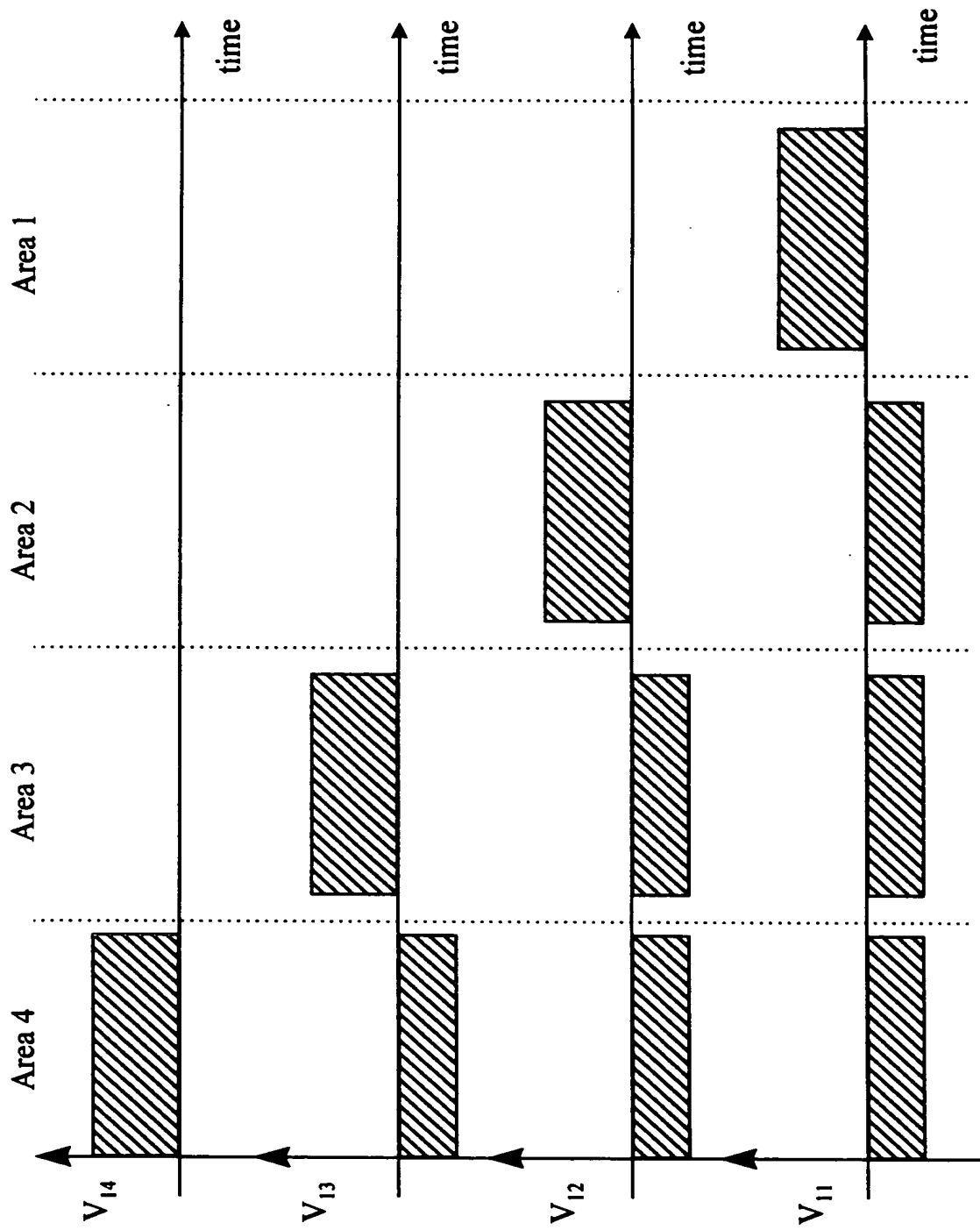


Fig. 43

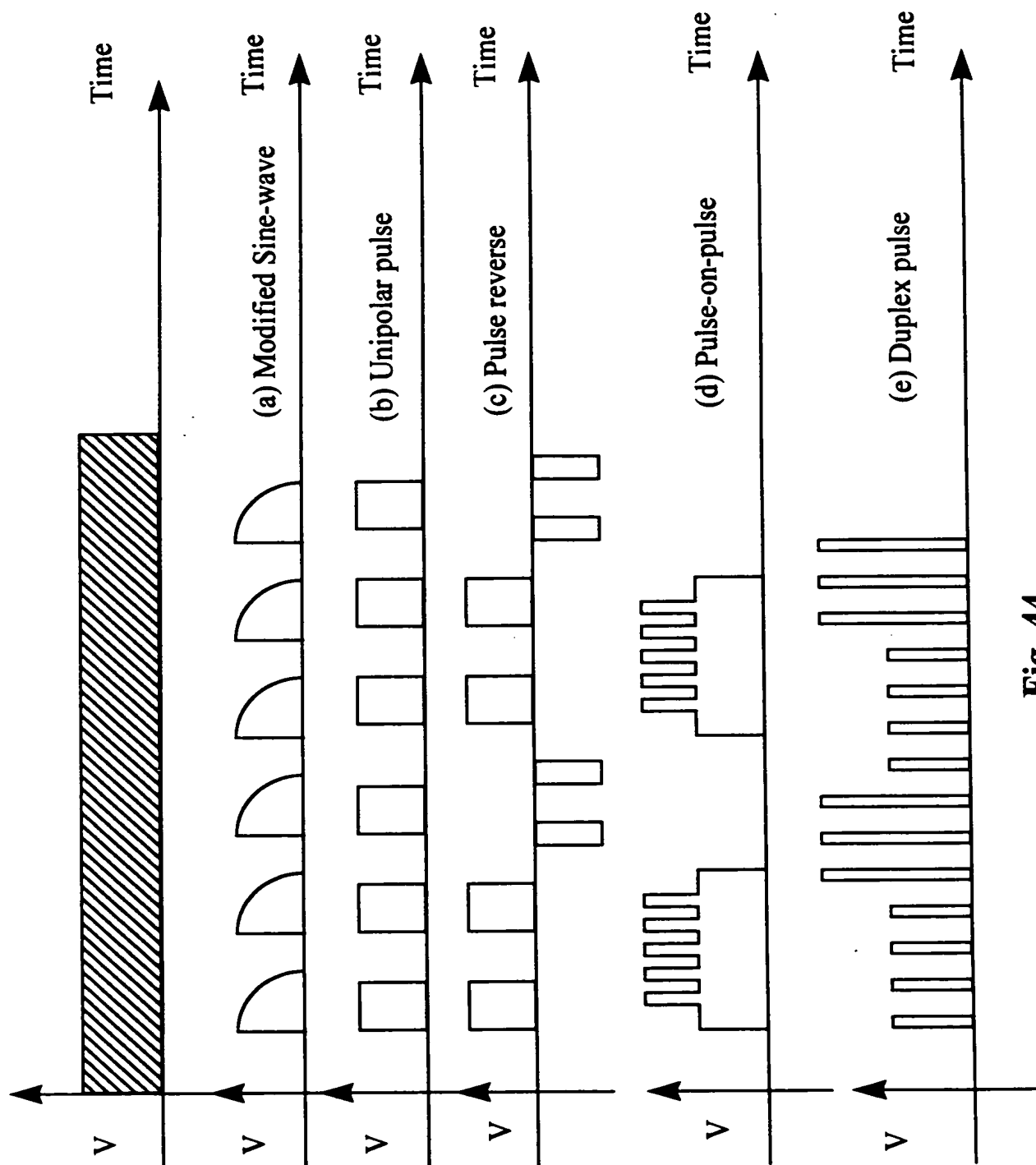


Fig. 44

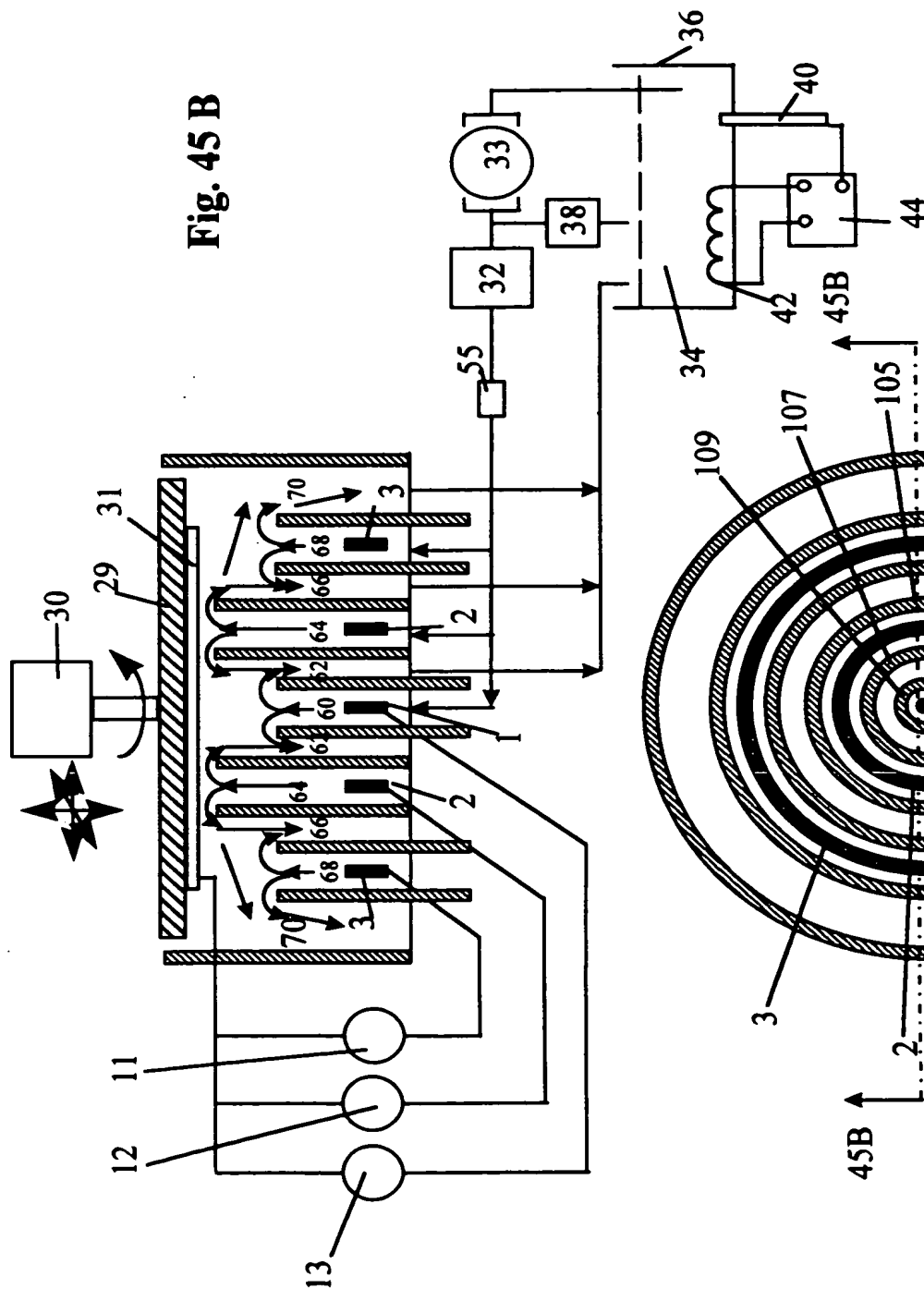


Fig. 45 B

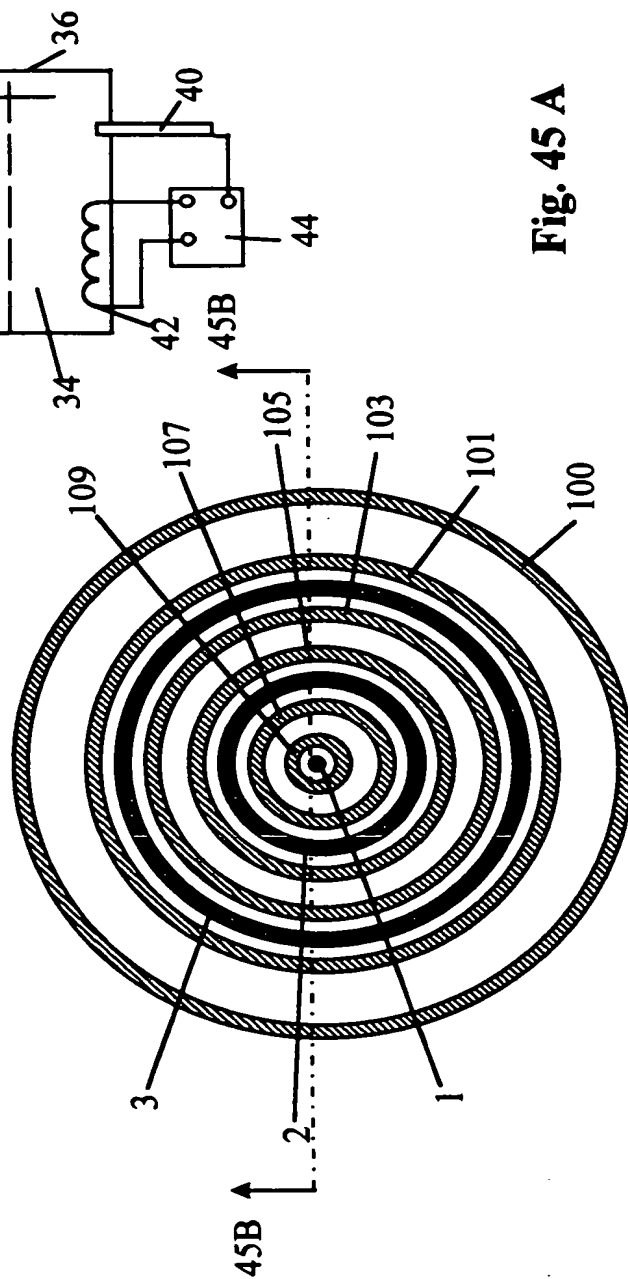


Fig. 45 A

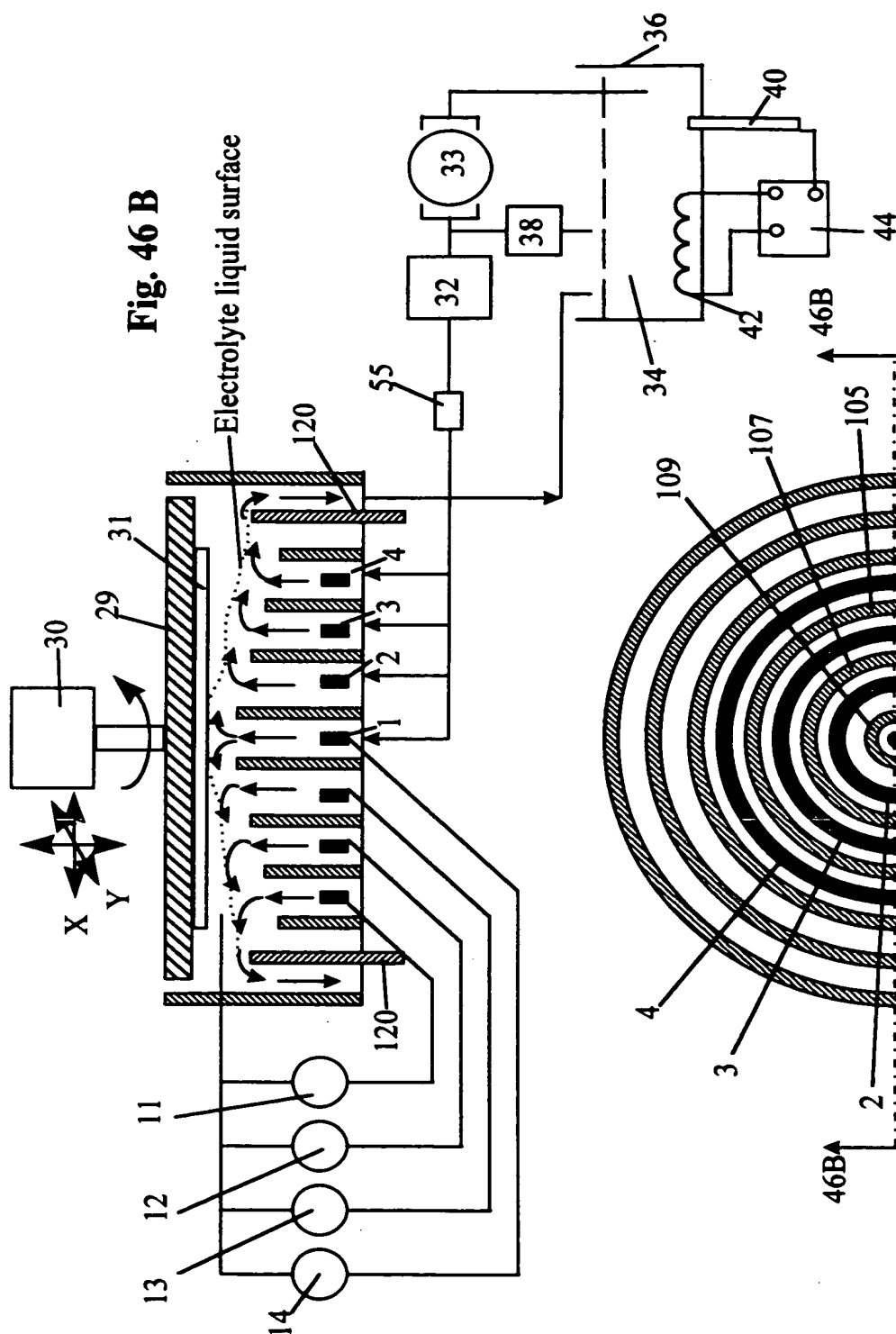


Fig. 46 B

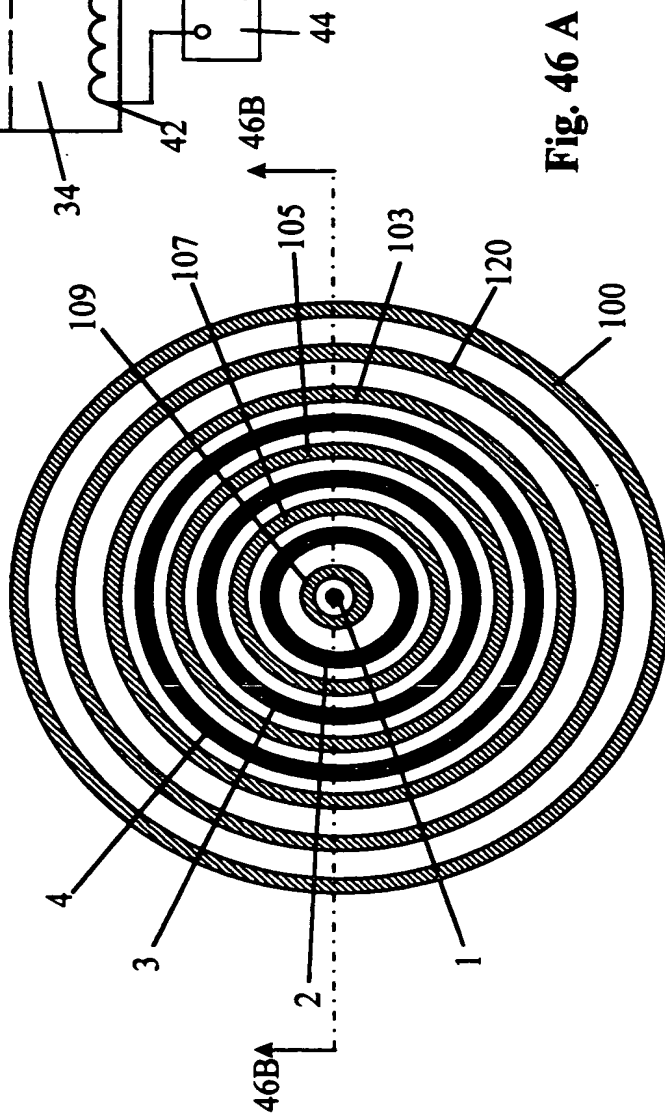


Fig. 46 A

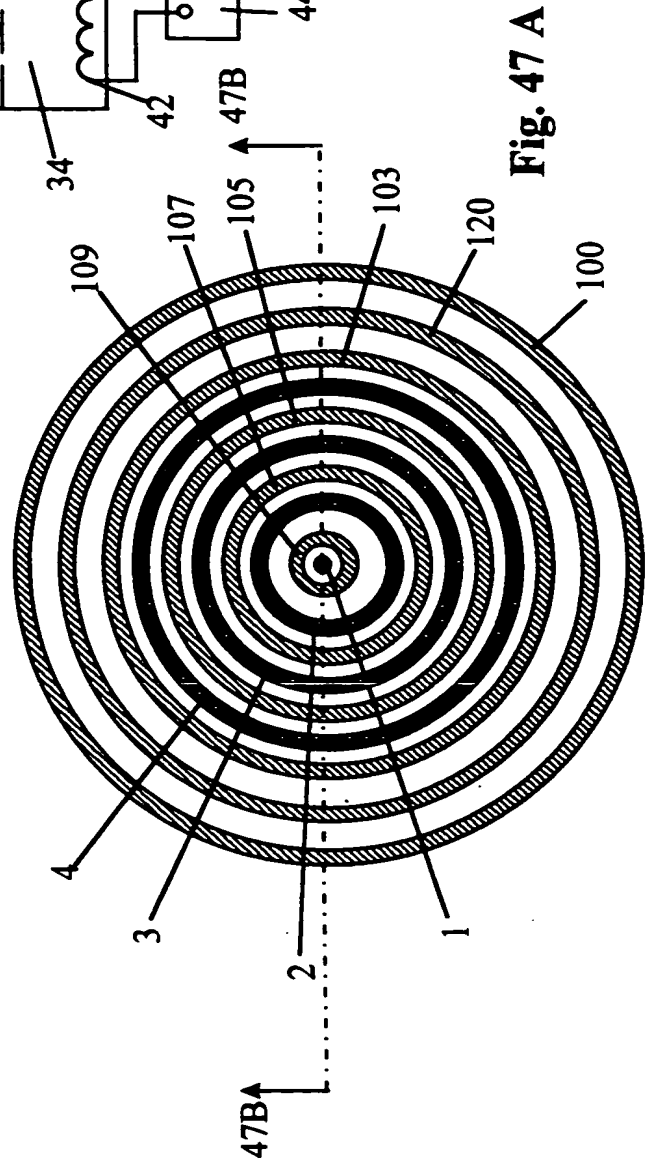
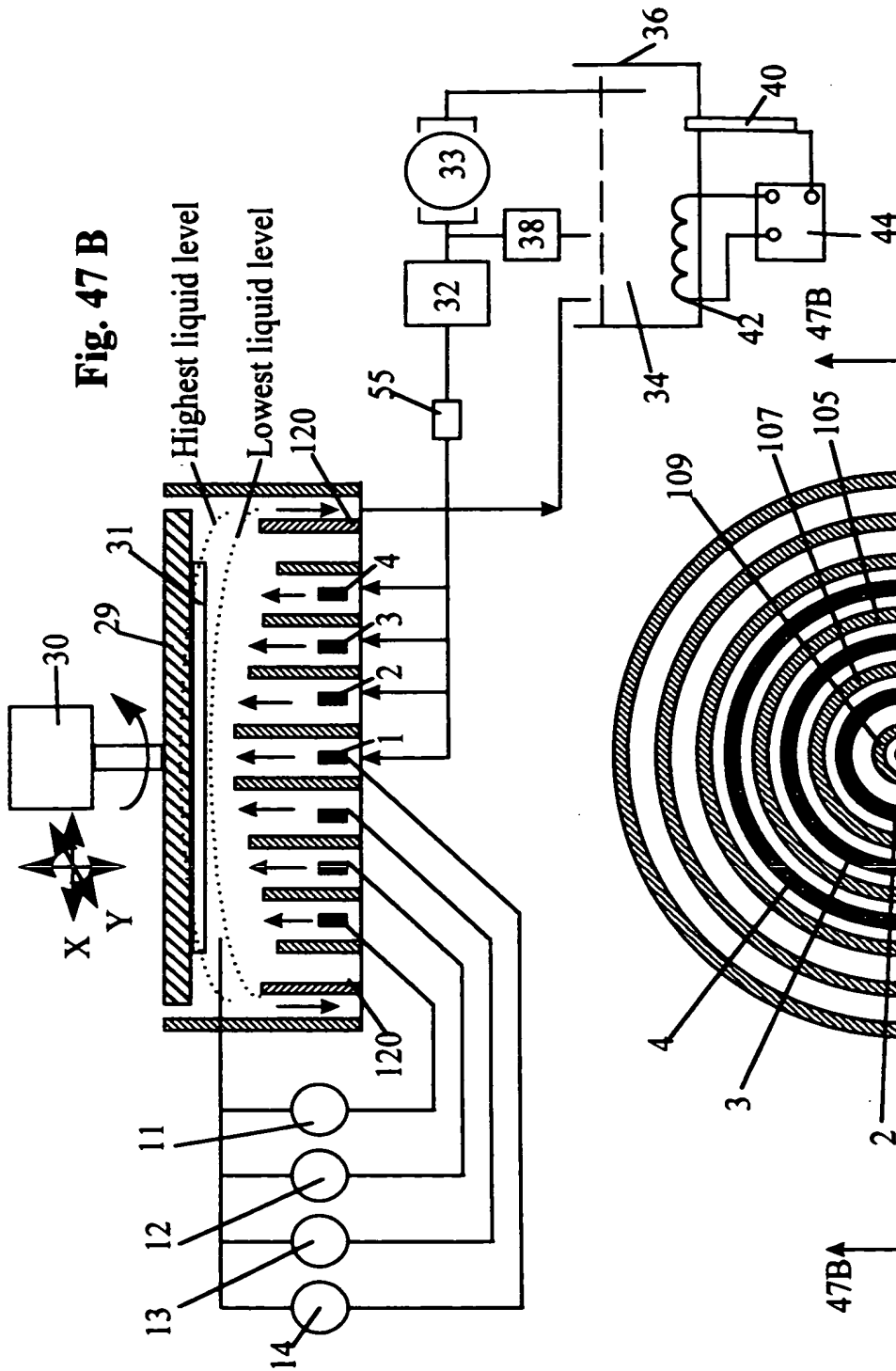


Fig. 48 B

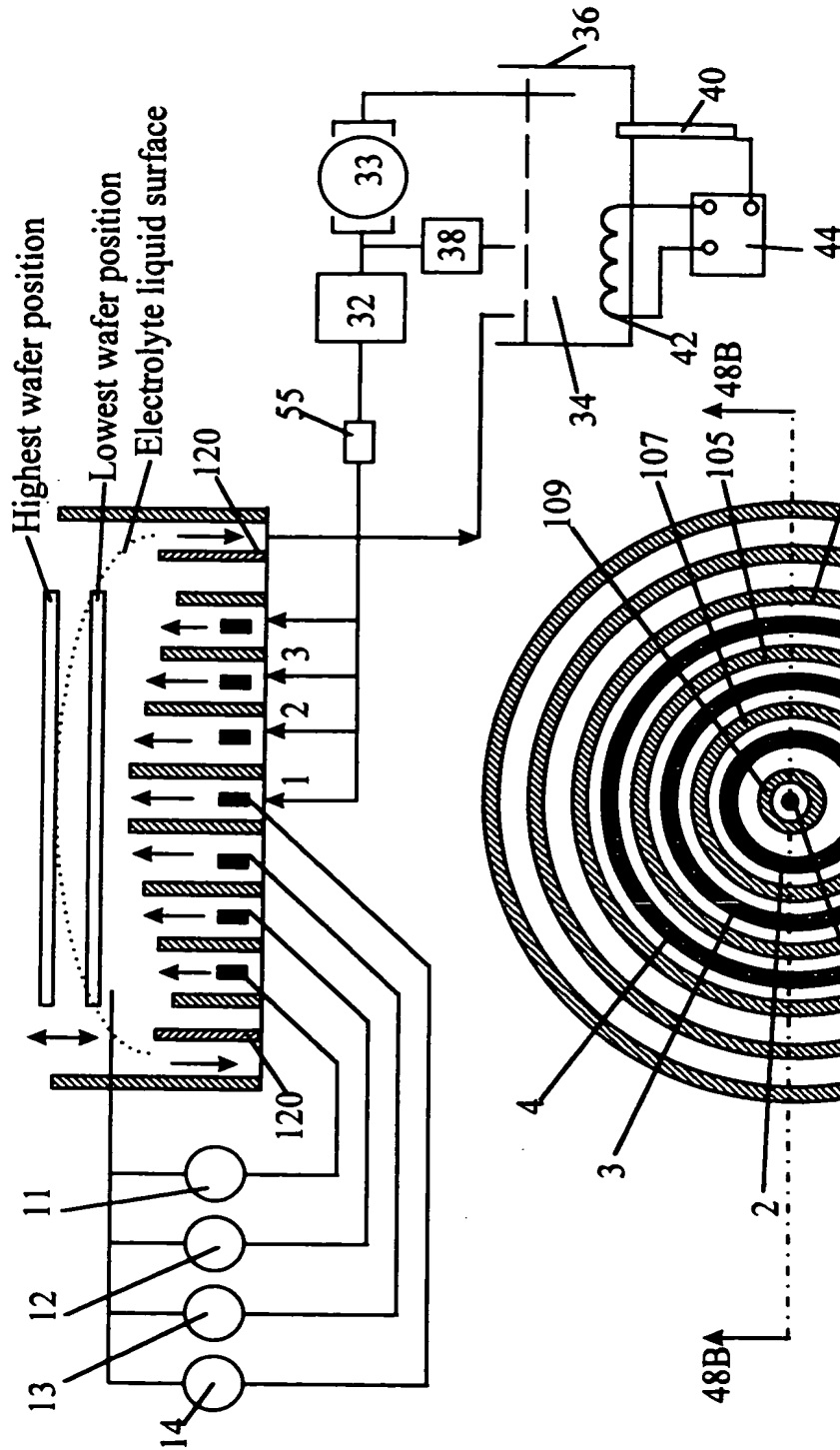


Fig. 48 A

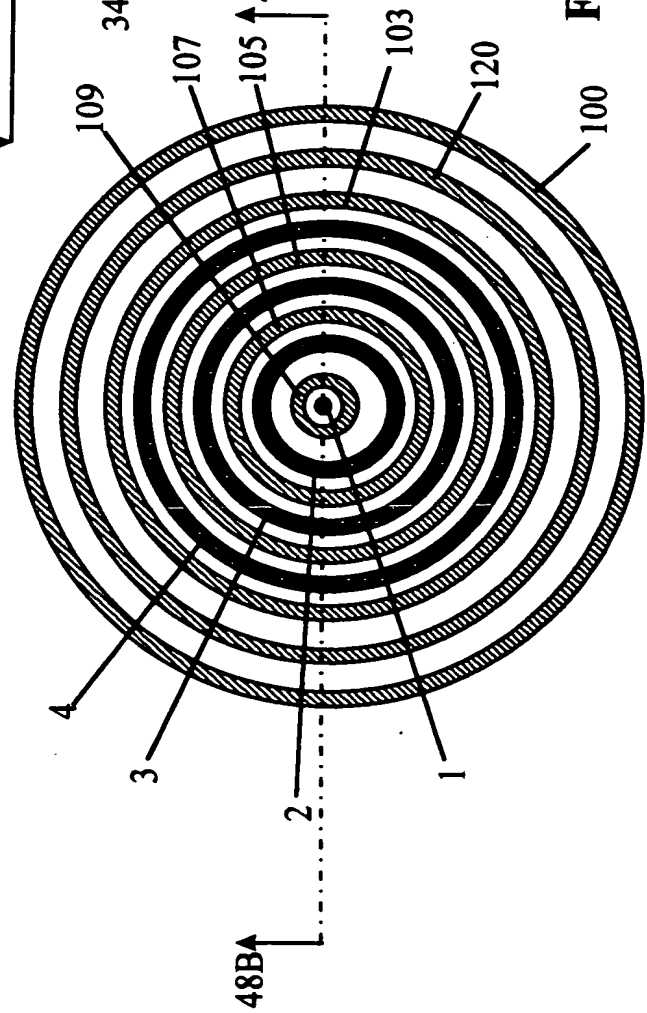
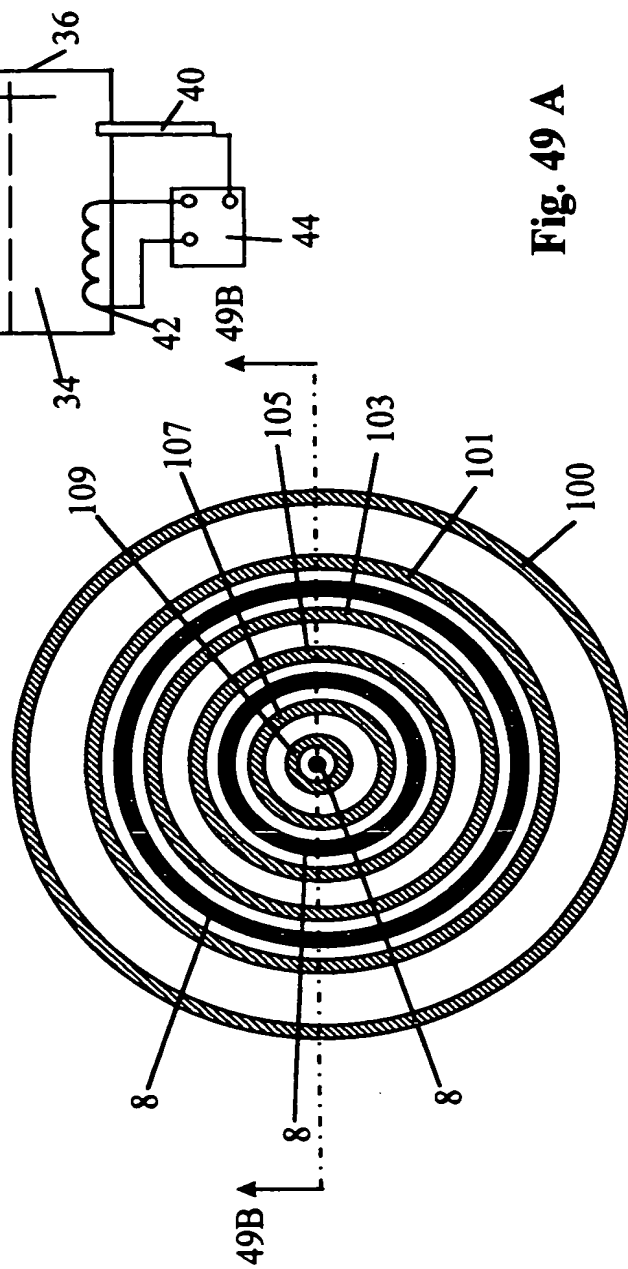
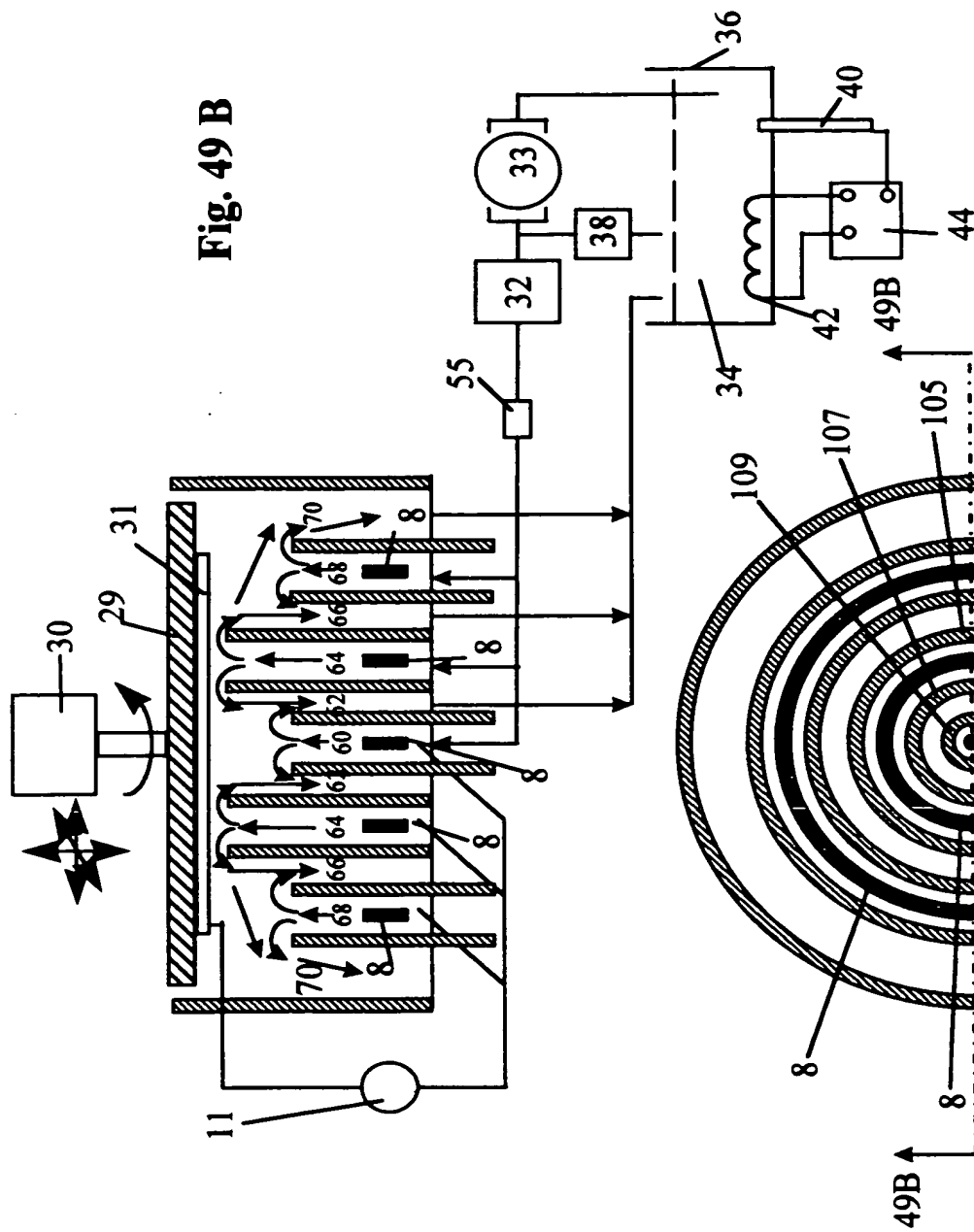


FIG. 49A



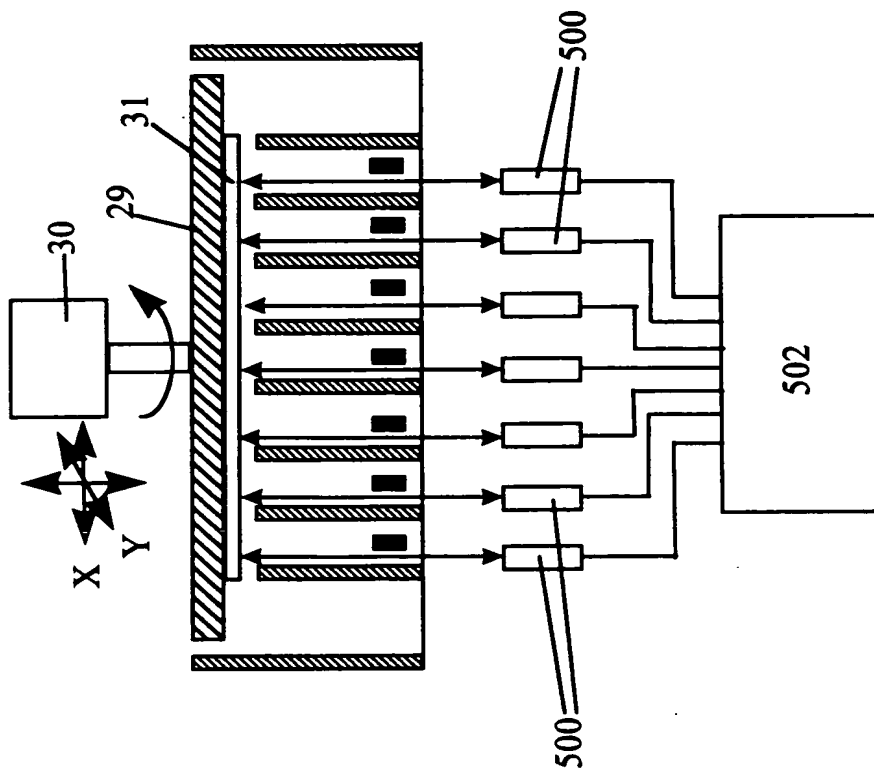


Fig. 50

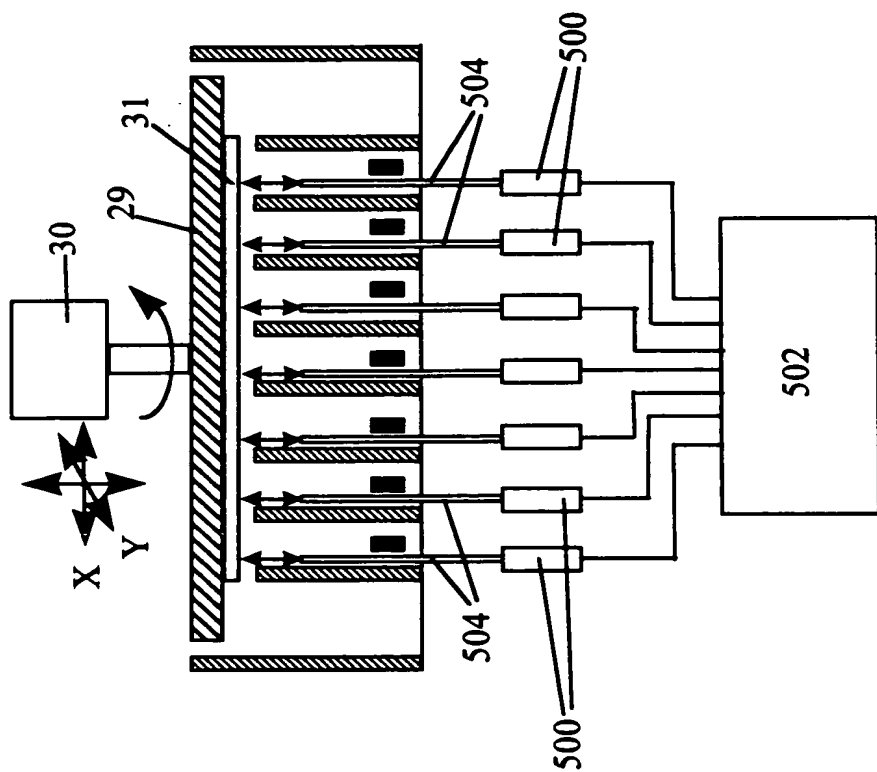
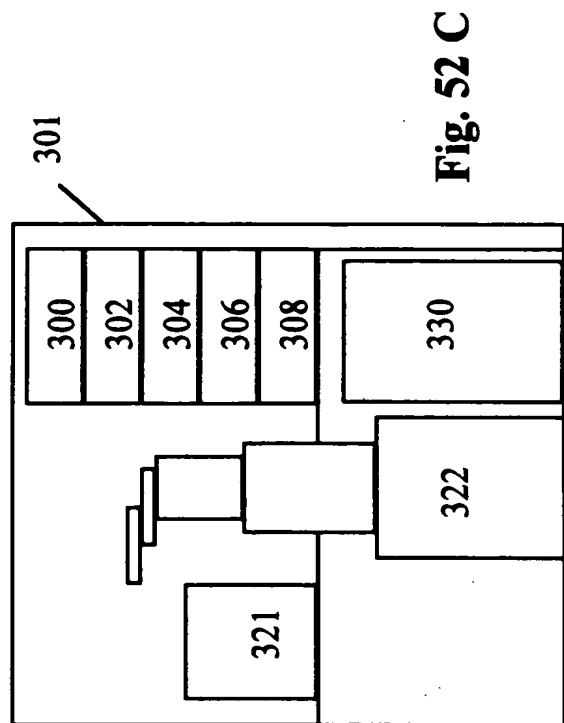
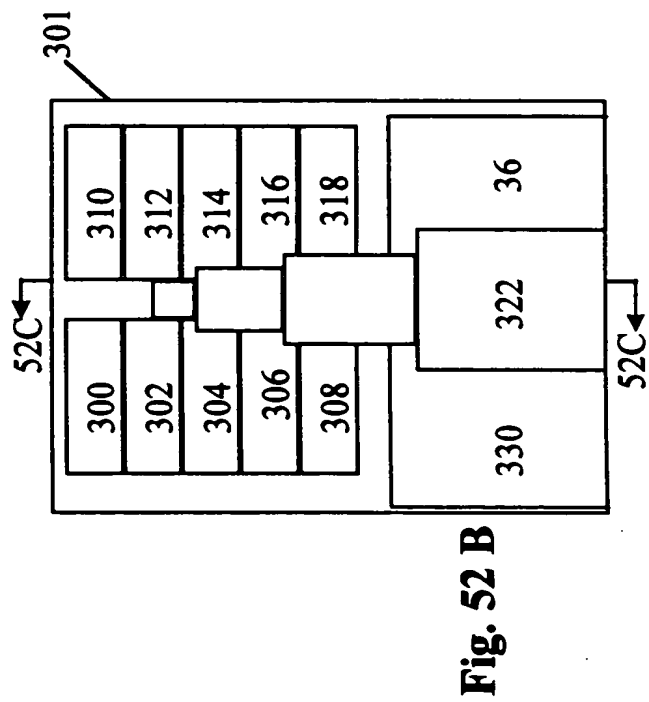
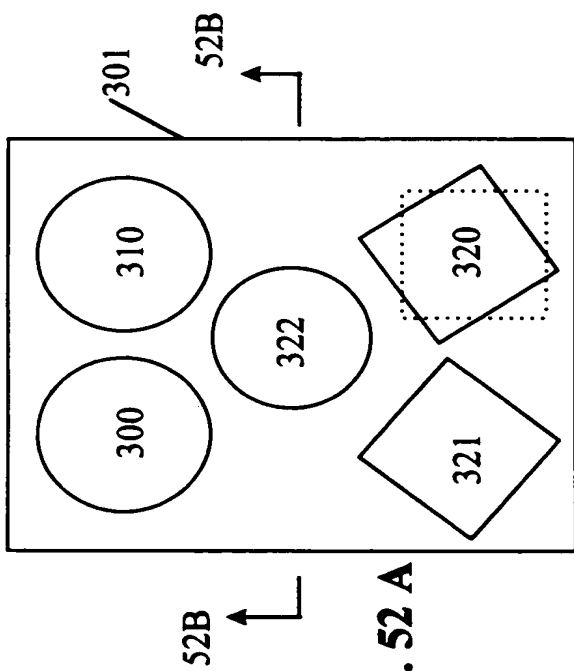


Fig. 51



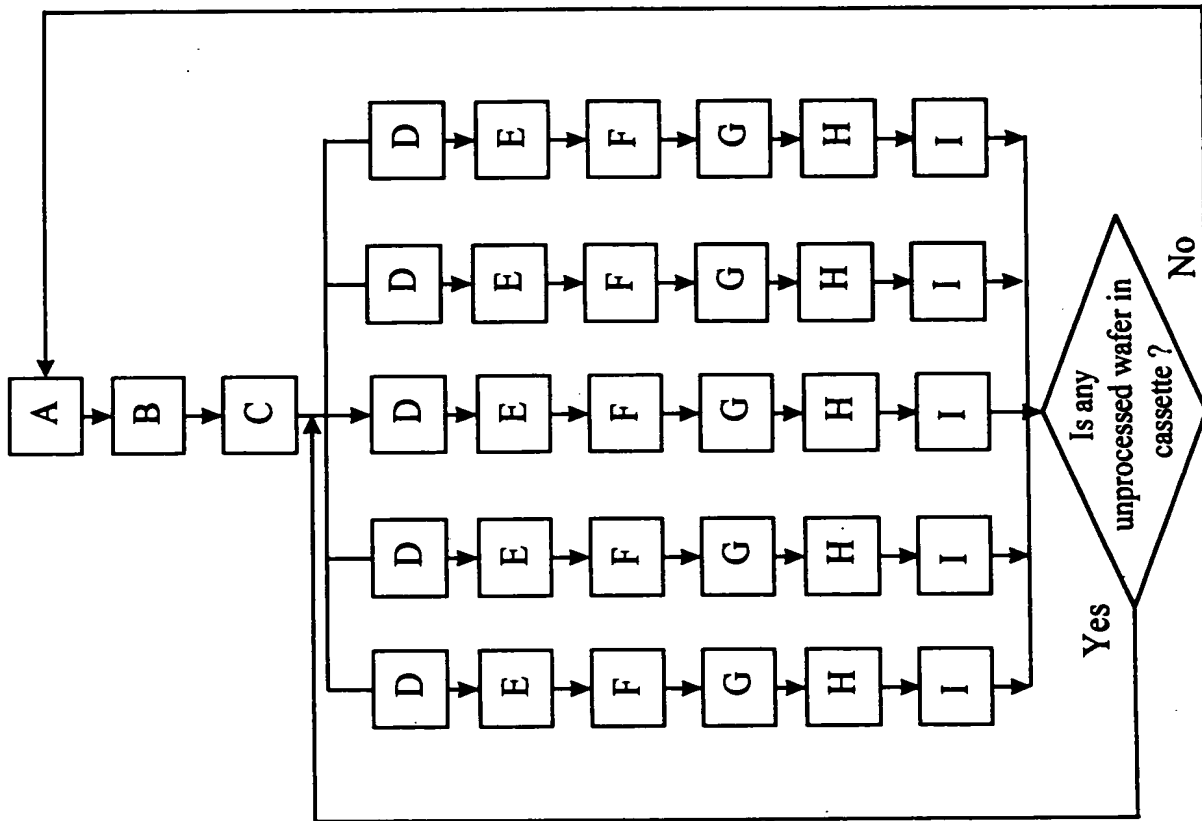
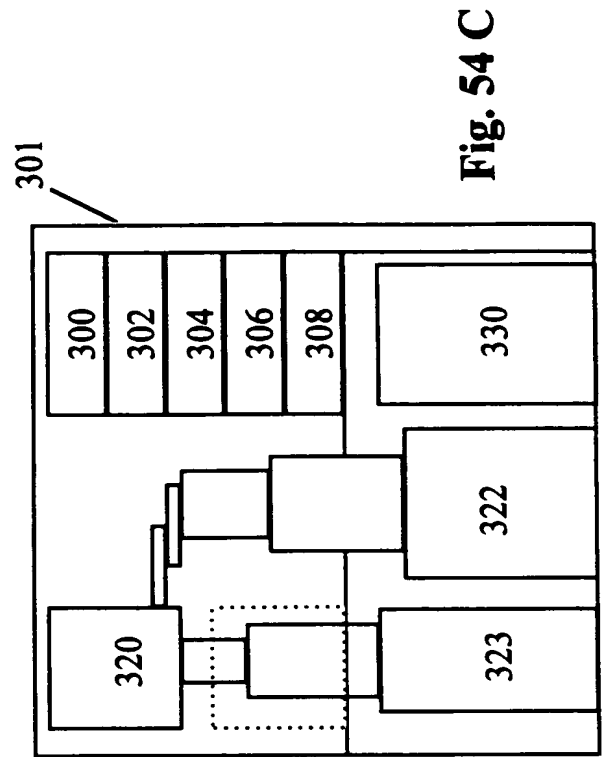
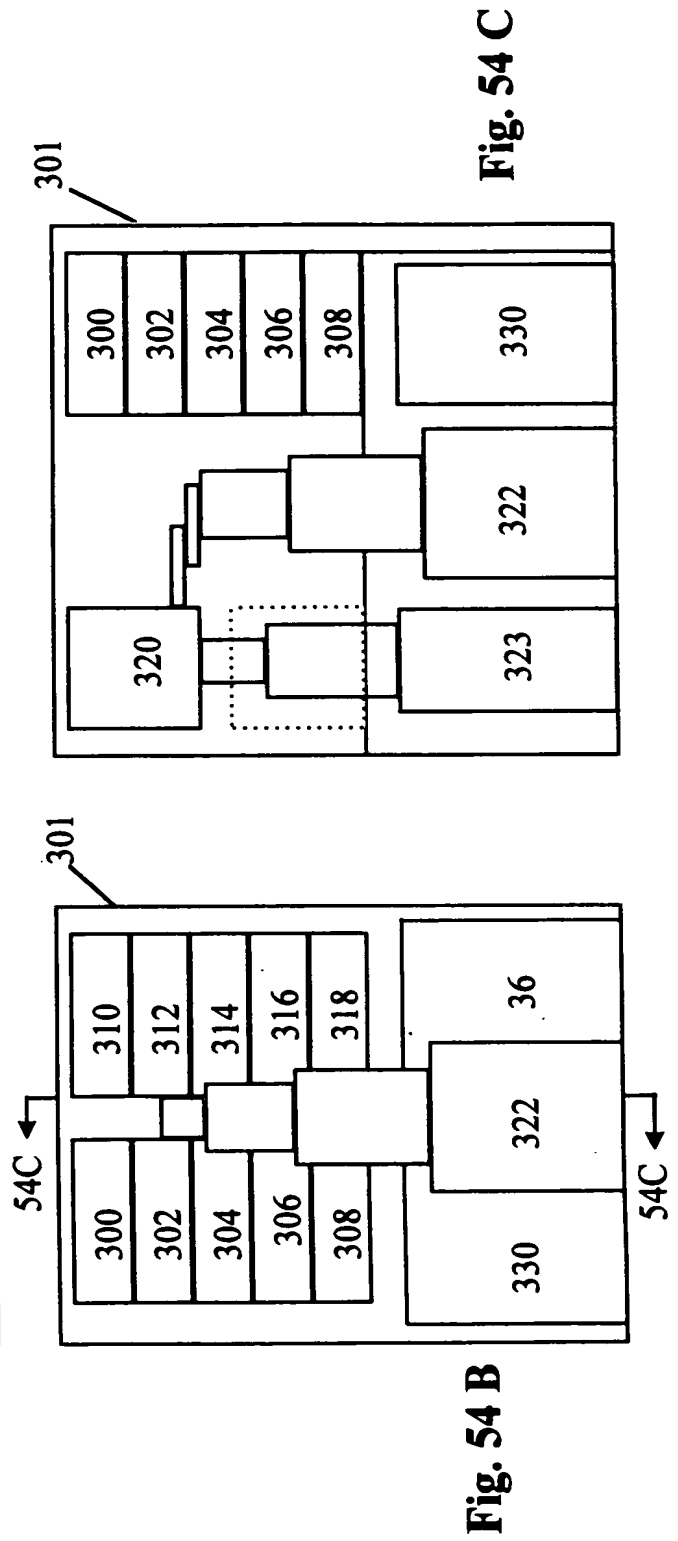
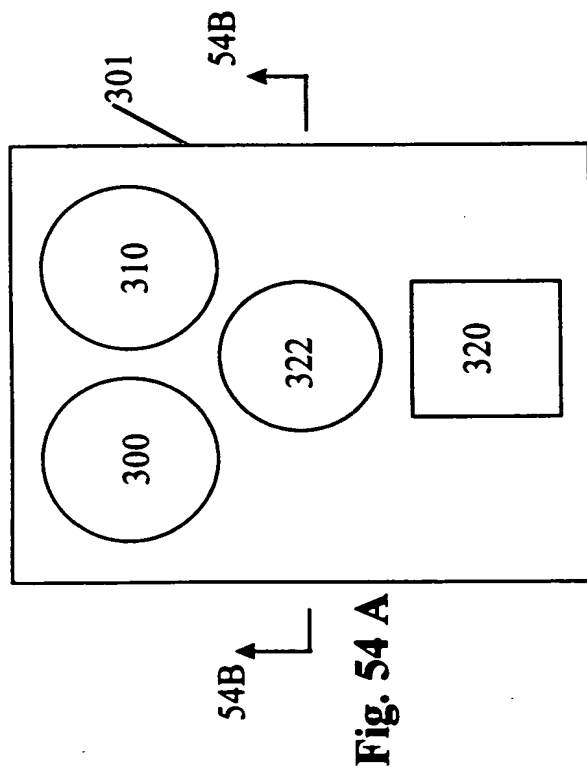


Fig. 53

US 2002/0026600



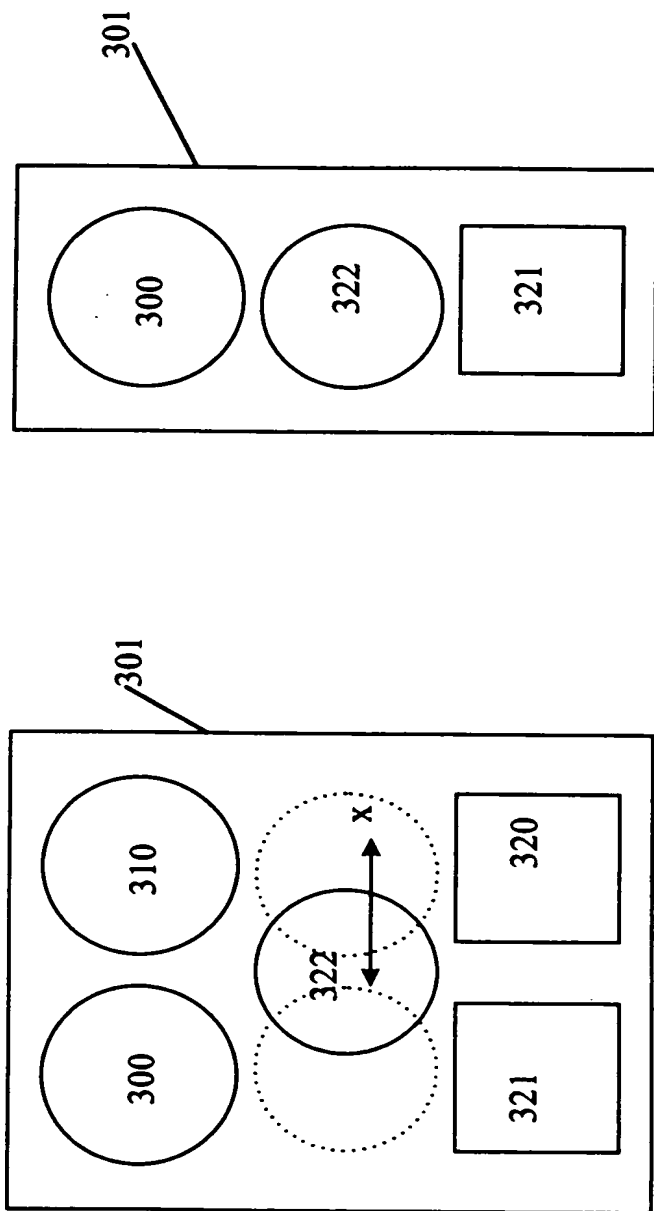
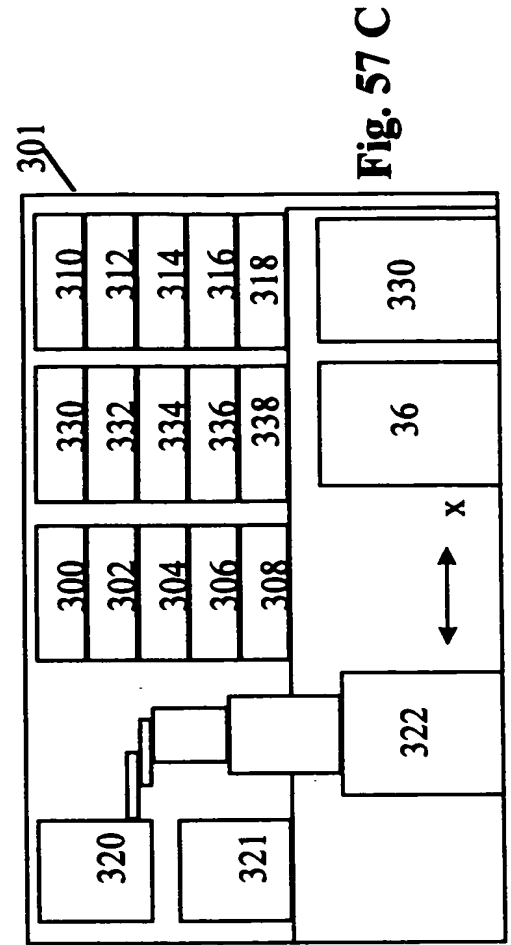
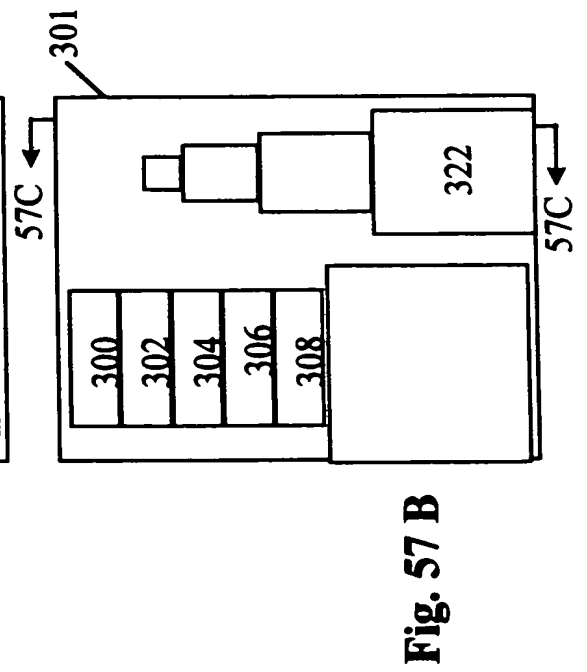
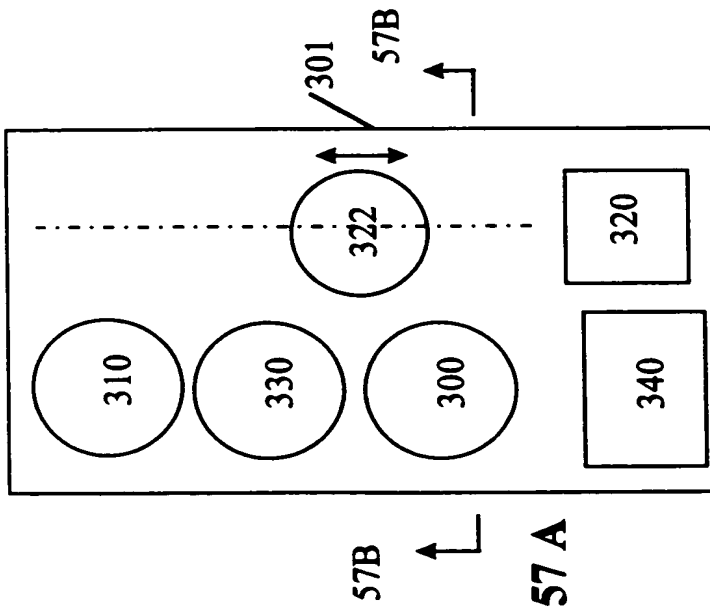


Fig. 55

Fig. 56



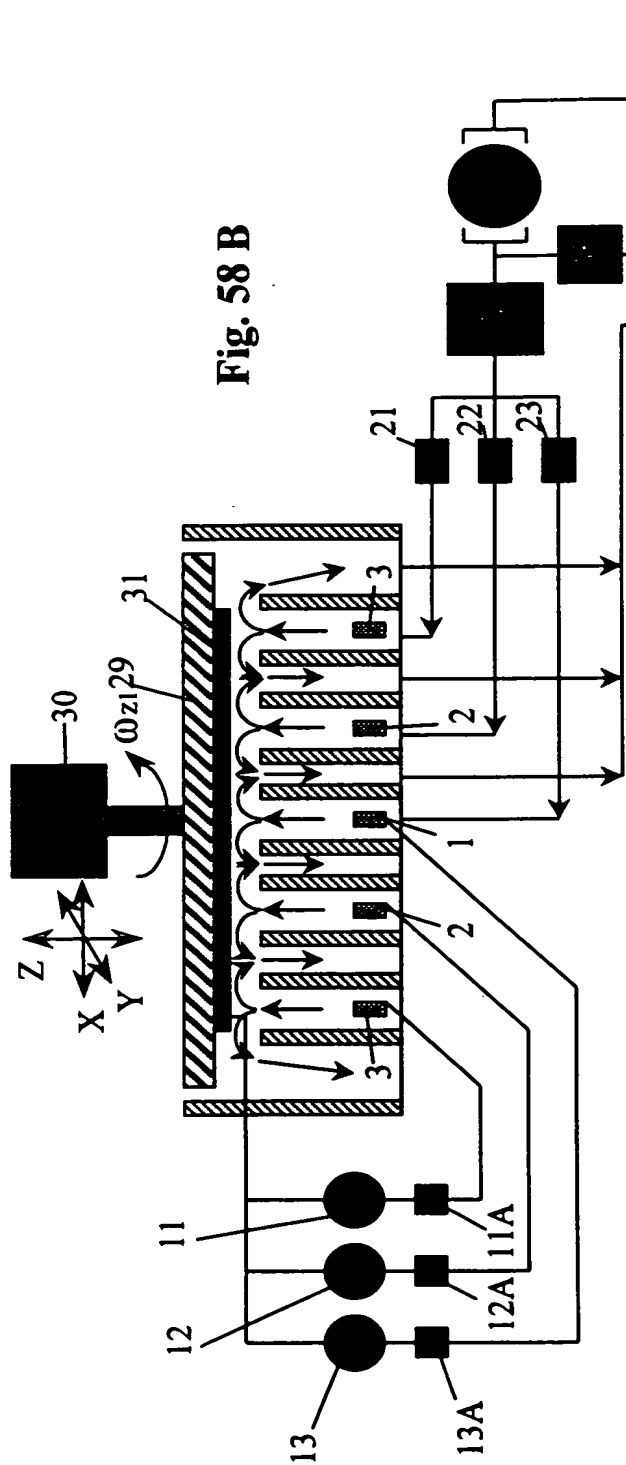


Fig. 58 B

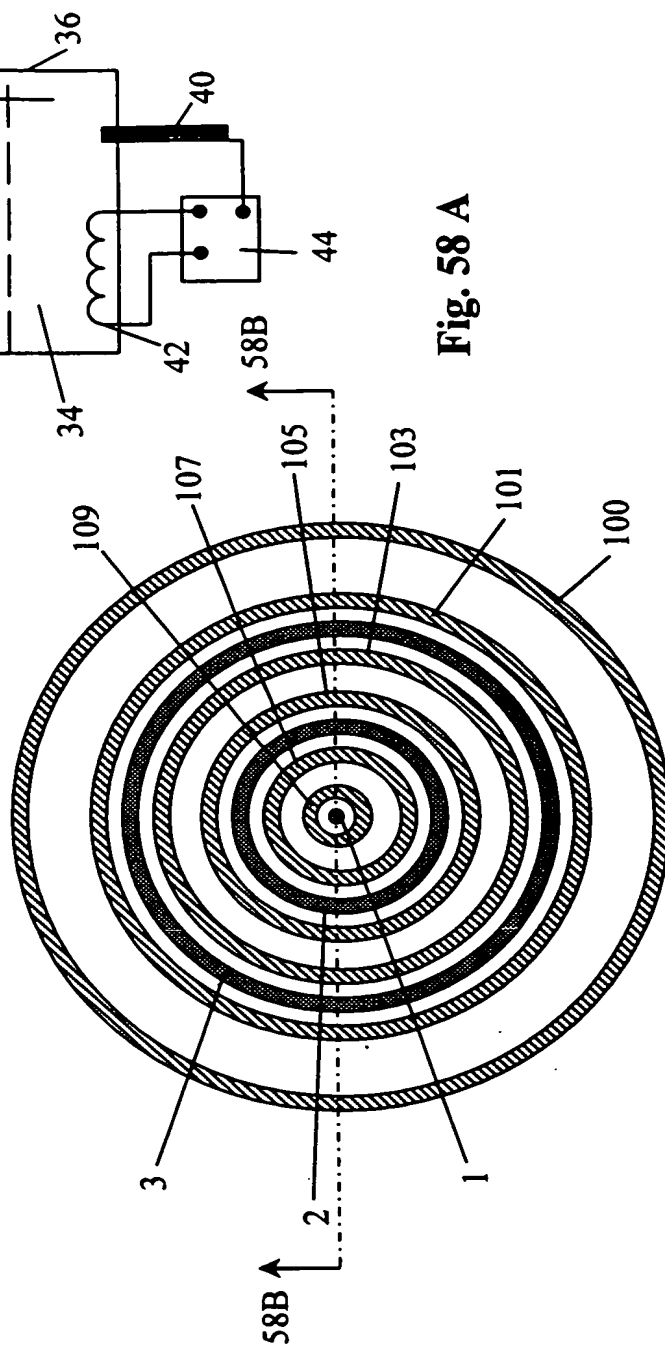


Fig. 58 A

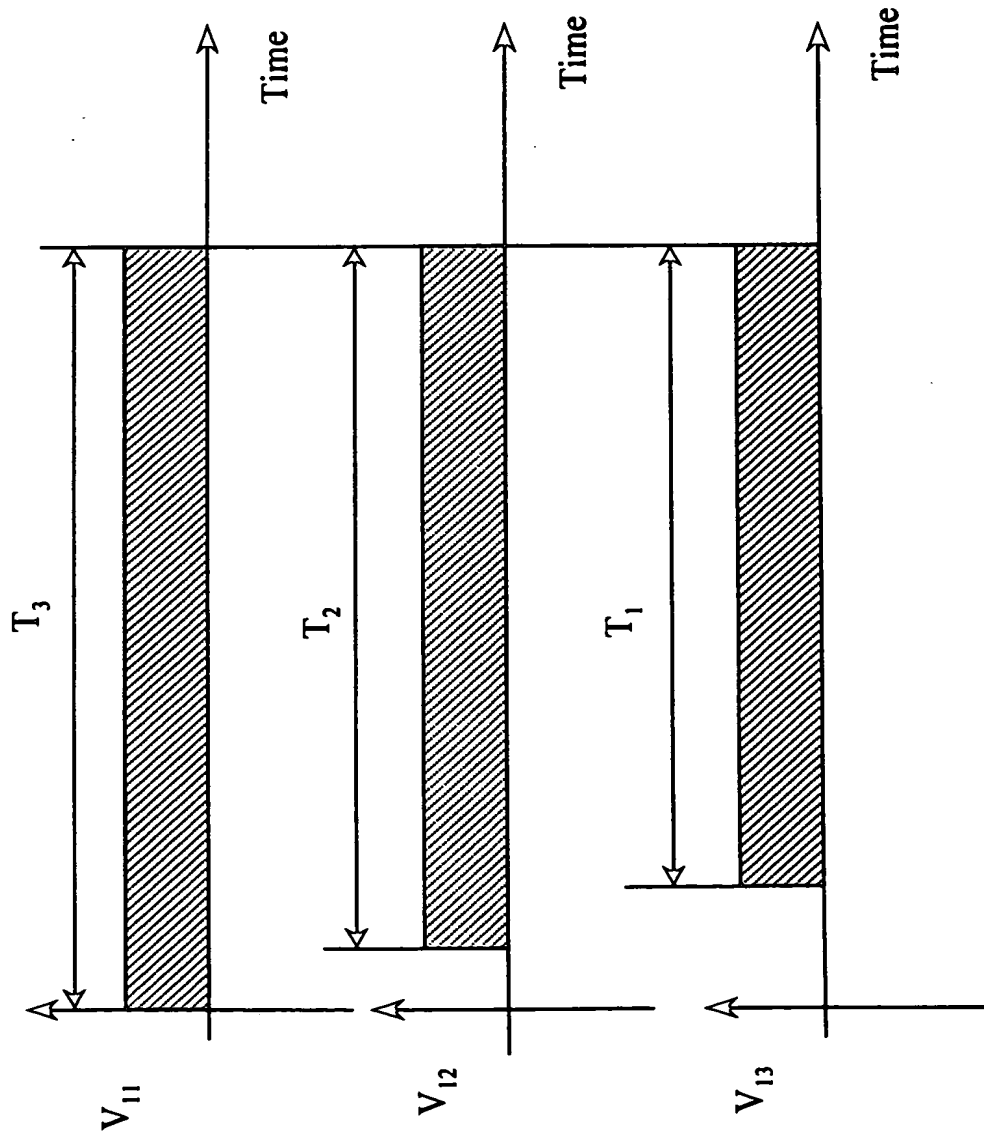


Fig. 59

FIG. 60A

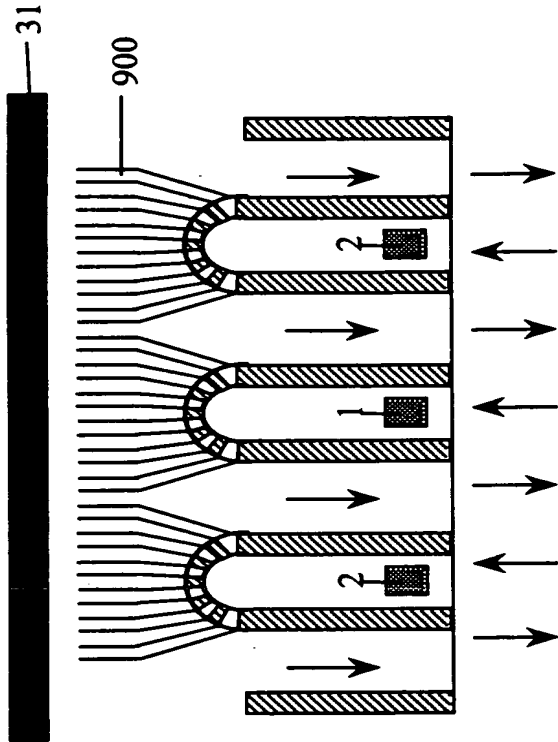


Fig. 60 B

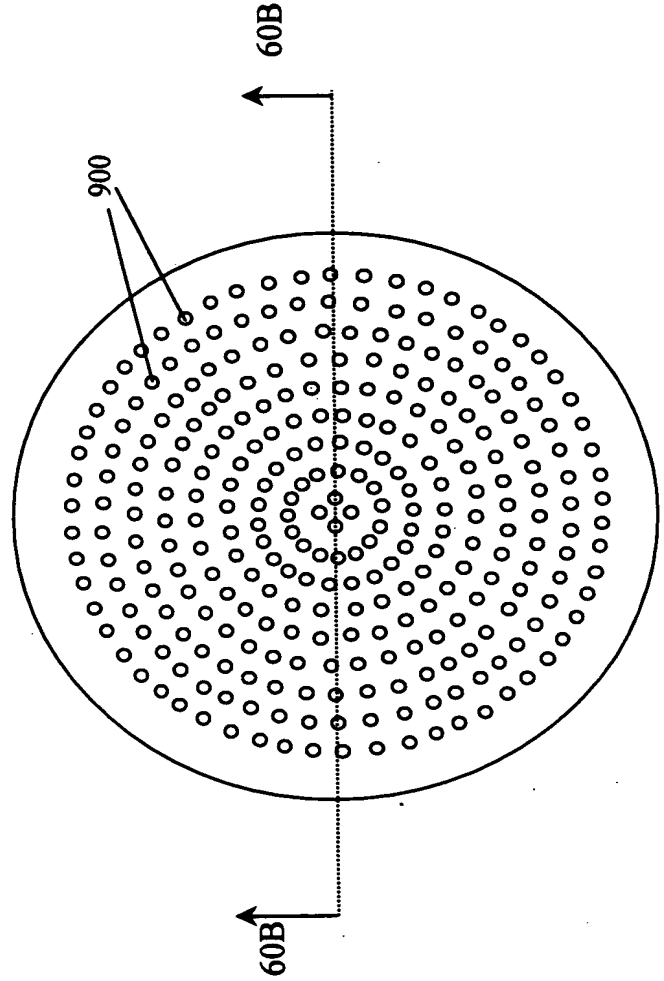


Fig. 60 A

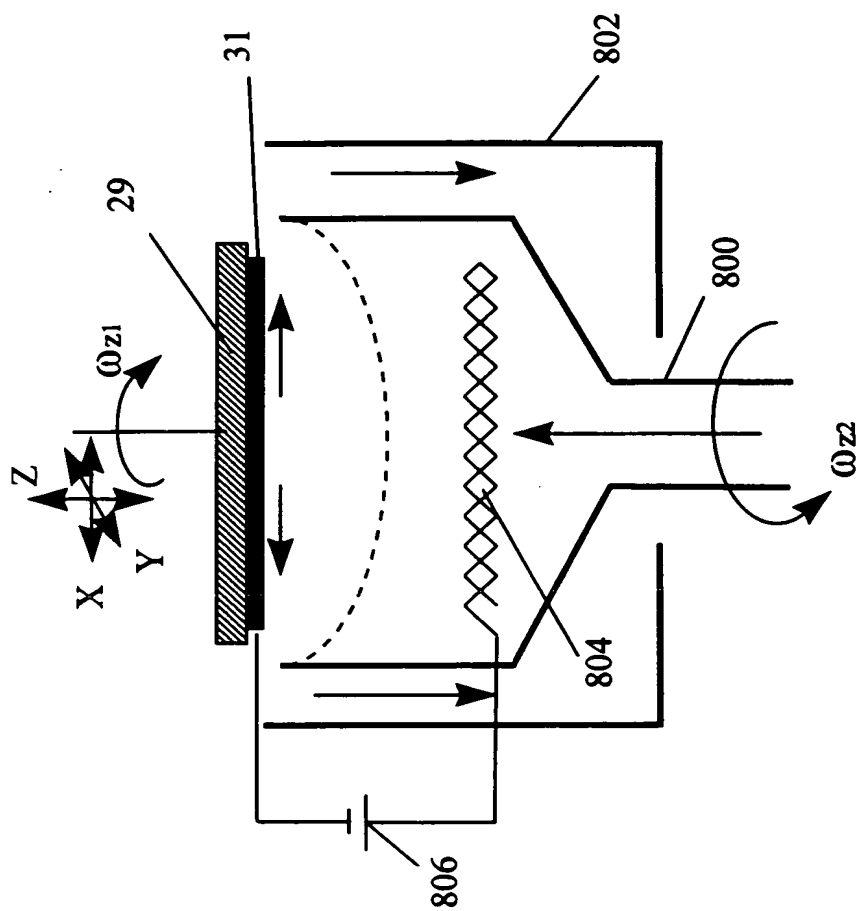


Fig. 61

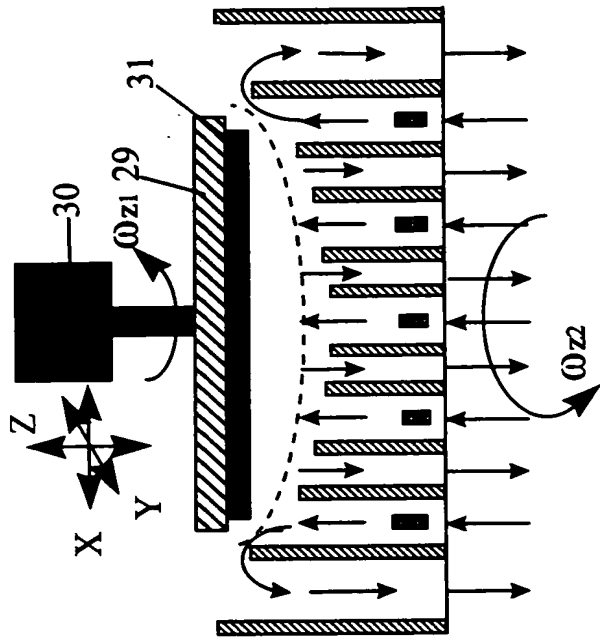


Fig. 62

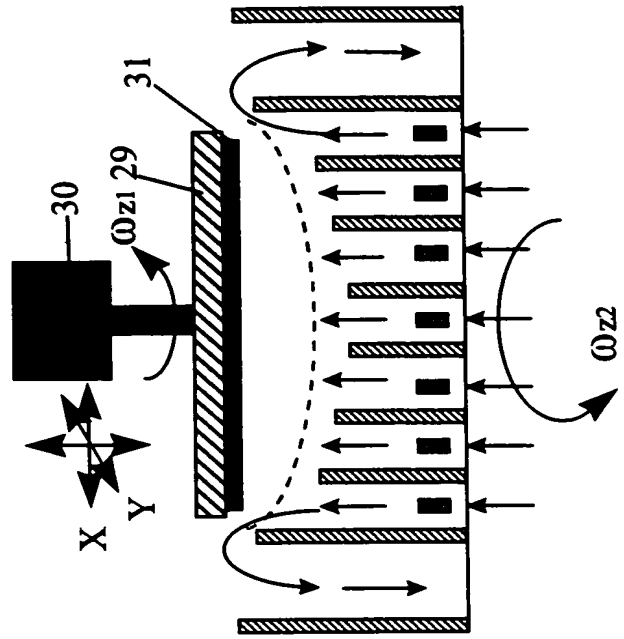
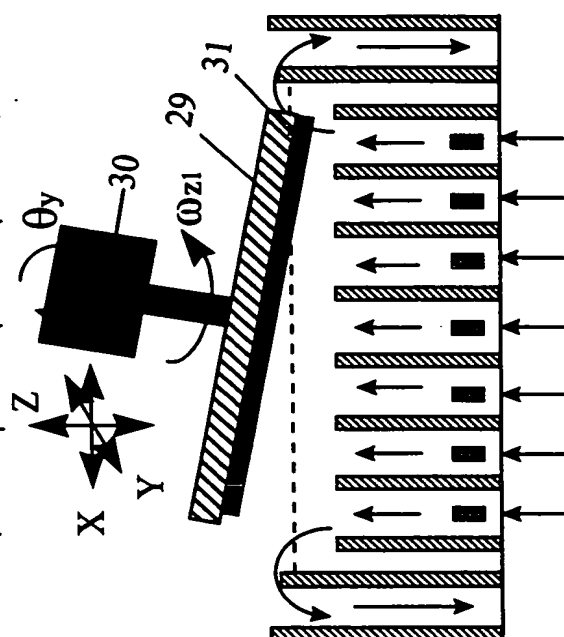
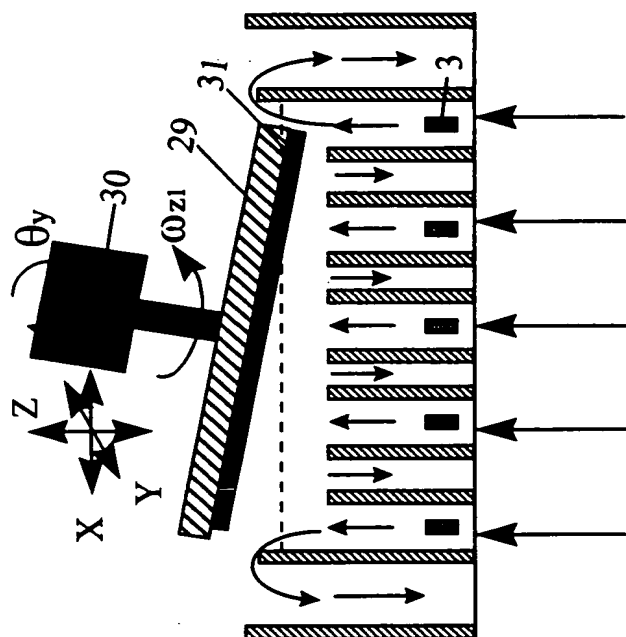


Fig. 63

Fig. 66



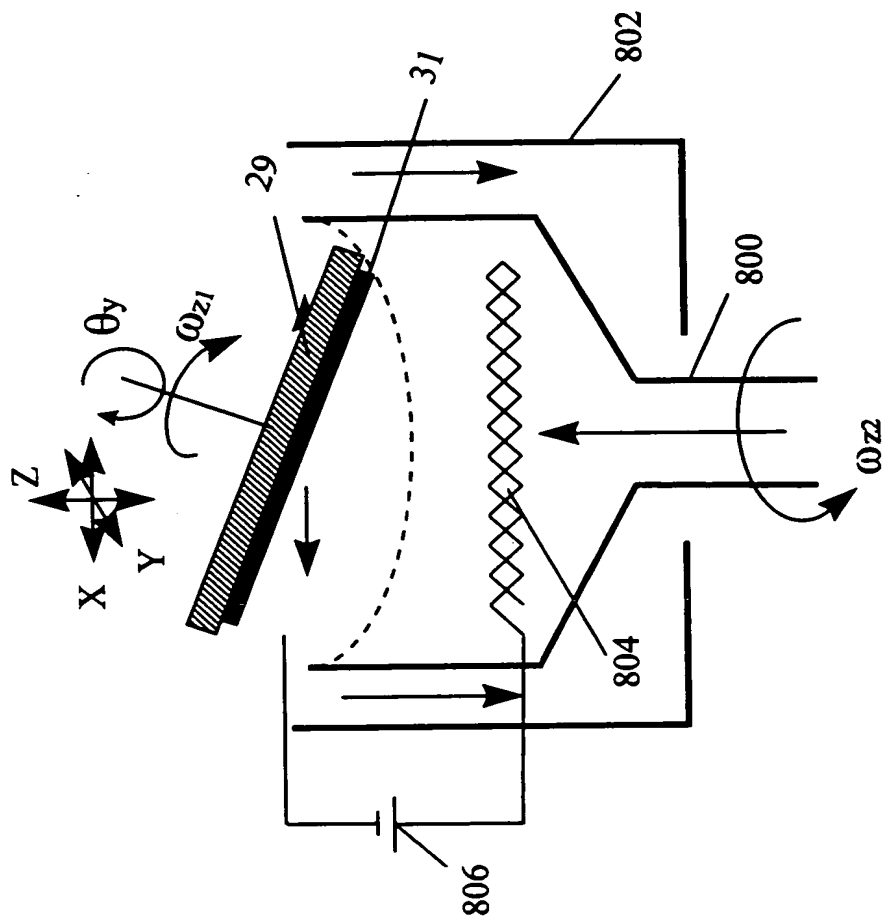


Fig. 69

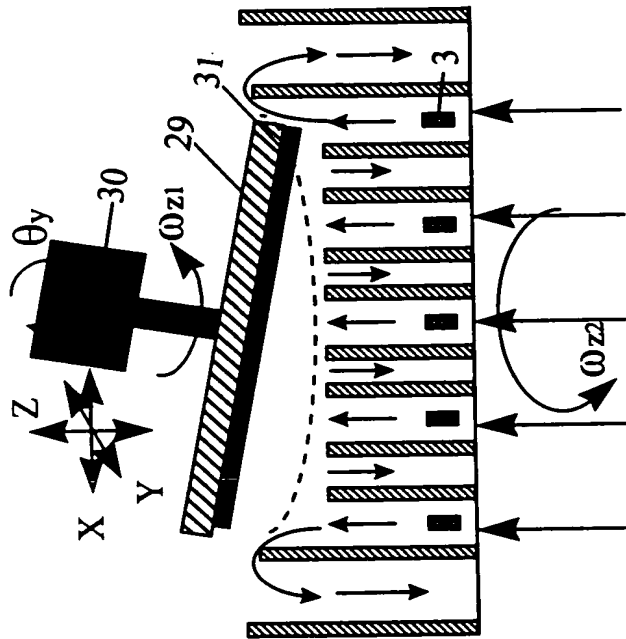


Fig. 70

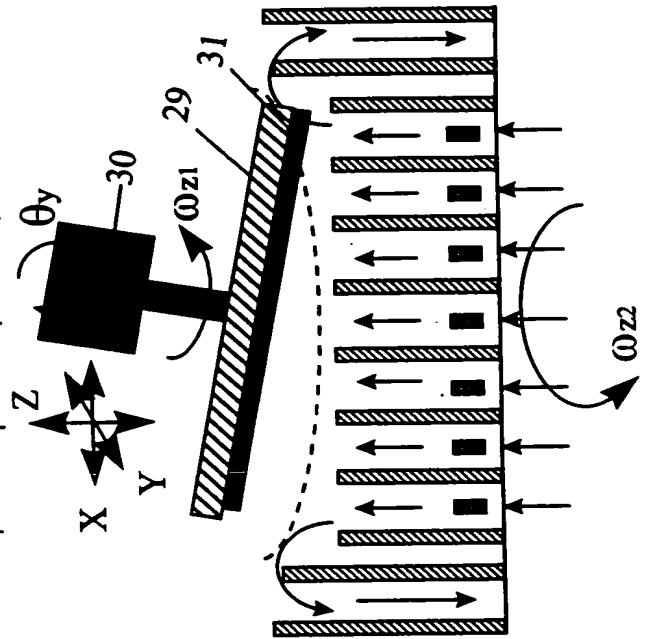


Fig. 71